

資料 6－2

泊発電所 3号炉審査資料	
資料番号	SAE725-9 r. 7.0
提出年月日	令和5年4月11日

泊発電所 3号炉
重大事故等対策の有効性評価
比較表

7.2.5 溶融炉心・コンクリート相互作用

令和5年4月
北海道電力株式会社

[REDACTED] 枠囲みの内容は機密情報に属しますので公開できません。

泊発電所3号炉 有効性評価 比較表

灰色：女川2号炉の記載のうち、BWR固有の設備や対応手段であり、泊3号炉と比較対象とならない記載内容

赤字：設備、運用又は体制の相違（設計方針の相違）
青字：記載箇所又は記載内容の相違（記載方針の相違）
緑字：記載表現、設備名称の相違（実質的な相違なし）

7.2.5 溶融炉心・コンクリート相互作用

大飯発電所3／4号炉	高浜発電所3／4号炉	女川原子力発電所2号炉	泊発電所3号炉	相違理由										
<u>比較結果等をとりまとめた資料</u>														
1. 先行審査実績等を踏まえた泊3号炉まとめ資料の変更状況(2017年3月以降)														
<p>1-1) 設計方針・運用・体制などを変更し、まとめ資料を修正した箇所と理由</p> <ul style="list-style-type: none"> a. 大飯3／4号炉まとめ資料と比較した結果、変更したもの : なし b. 女川2号炉まとめ資料と比較した結果、変更したもの : なし c. 他社審査会合の指摘事項等を確認した結果、変更したもの : なし d. 当社が自主的に変更したもの : なし <p>1-2) 設計方針・運用・体制を変更するものではないが、まとめ資料の記載の充実を行った箇所と理由</p> <ul style="list-style-type: none"> a. 大飯3／4号炉まとめ資料と比較した結果、変更したもの : なし b. 女川2号炉まとめ資料と比較した結果、変更したもの : なし c. 他社審査会合の指摘事項等を確認した結果、変更したもの : なし d. 当社が自主的に変更したもの : なし <p>1-3) バックフィット関連事項</p> <p>なし</p>														
2. 大飯3／4号炉・高浜3／4号炉まとめ資料との比較結果の概要														
<p>2-1) 比較表の構成について</p> <ul style="list-style-type: none"> ・泊と大飯、高浜で記載が異なる箇所は右上凡例に従い色付けをし、「相違理由」欄に相違理由を記載しているプラントを【大飯】【高浜】と記載している <p>2-2) 泊3号炉の特徴について</p> <ul style="list-style-type: none"> ・泊3号は他のPWR3ループプラントに比べて以下の特徴がある（添付資料6.5.8） <ul style="list-style-type: none"> ●補助給水流量が小さい : 「全交流動力電源喪失」では、蒸気発生器保有水量の回復が遅くなる傾向がある ●余熱除去ポンプの注入特性（高圧時の注入流量が若干多い） : 「ECCS注水機能喪失（2インチ破断）」では、燃料が露出せず終始冠水状態となる ●CV関連パラメータ（CV自由体積が若干小さく、格納容器再循環ユニットの除熱特性も若干低い） : 原子炉格納容器圧力及び原子炉格納容器雰囲気温度が高めに推移する傾向がある <p>2-3) 有効性評価の主な項目（1／2）</p> <table border="1"> <thead> <tr> <th>項目</th> <th>大飯発電所3／4号炉</th> <th>高浜発電所3／4号炉</th> <th>泊発電所3号炉</th> <th>相違理由</th> </tr> </thead> <tbody> <tr> <td>格納容器破損モードの特徴</td> <td>LOCA、過渡事象又は全交流動力電源喪失時に格納容器スプレイ注入機能、ECCS再循環機能等の安全機能喪失が重畠して、原子炉容器内の溶融炉心が原子炉下部キャビティへ流出し、緩和措置がとられない場合には、溶融炉心からの崩壊熱や化学反応によって、原子炉下部キャビティのコンクリートが侵食され、原子炉格納容器の構造部材の支持機能が喪失し、原子炉格納容器の破損に至る。</td> <td>LOCA、過渡事象又は全交流動力電源喪失時に格納容器スプレイ機能、ECCS再循環機能等の安全機能喪失が重畠して、原子炉容器内の溶融炉心が原子炉格納容器内の床上へ流出し、緩和措置がとられない場合には、溶融炉心からの崩壊熱や化学反応によって、原子炉格納容器床のコンクリートが侵食され、原子炉格納容器の構造部材の支持機能が喪失し、原子炉格納容器の破損に至る。</td> <td>発電用原子炉の運転中に運転時の異常な過渡変化、原子炉冷却材喪失事故（LOCA）又は全交流動力電源喪失が発生するとともに、格納容器スプレイ注入機能、ECCS再循環機能等の安全機能の喪失が重畠する。このため、緩和措置が取られない場合には、原子炉容器内の溶融炉心が原子炉格納容器内へ流れ出し、溶融炉心からの崩壊熱や化学反応によって、原子炉下部キャビティのコンクリートが侵食され、原子炉格納容器の構造部材の支持機能を喪失し、原子炉格納容器の破損に至る。</td> <td>相違なし (記載表現は異なるが、格納容器破損モードの特徴としては同等)</td> </tr> </tbody> </table>					項目	大飯発電所3／4号炉	高浜発電所3／4号炉	泊発電所3号炉	相違理由	格納容器破損モードの特徴	LOCA、過渡事象又は全交流動力電源喪失時に格納容器スプレイ注入機能、ECCS再循環機能等の安全機能喪失が重畠して、原子炉容器内の溶融炉心が原子炉下部キャビティへ流出し、緩和措置がとられない場合には、溶融炉心からの崩壊熱や化学反応によって、原子炉下部キャビティのコンクリートが侵食され、原子炉格納容器の構造部材の支持機能が喪失し、原子炉格納容器の破損に至る。	LOCA、過渡事象又は全交流動力電源喪失時に格納容器スプレイ機能、ECCS再循環機能等の安全機能喪失が重畠して、原子炉容器内の溶融炉心が原子炉格納容器内の床上へ流出し、緩和措置がとられない場合には、溶融炉心からの崩壊熱や化学反応によって、原子炉格納容器床のコンクリートが侵食され、原子炉格納容器の構造部材の支持機能が喪失し、原子炉格納容器の破損に至る。	発電用原子炉の運転中に運転時の異常な過渡変化、原子炉冷却材喪失事故（LOCA）又は全交流動力電源喪失が発生するとともに、格納容器スプレイ注入機能、ECCS再循環機能等の安全機能の喪失が重畠する。このため、緩和措置が取られない場合には、原子炉容器内の溶融炉心が原子炉格納容器内へ流れ出し、溶融炉心からの崩壊熱や化学反応によって、原子炉下部キャビティのコンクリートが侵食され、原子炉格納容器の構造部材の支持機能を喪失し、原子炉格納容器の破損に至る。	相違なし (記載表現は異なるが、格納容器破損モードの特徴としては同等)
項目	大飯発電所3／4号炉	高浜発電所3／4号炉	泊発電所3号炉	相違理由										
格納容器破損モードの特徴	LOCA、過渡事象又は全交流動力電源喪失時に格納容器スプレイ注入機能、ECCS再循環機能等の安全機能喪失が重畠して、原子炉容器内の溶融炉心が原子炉下部キャビティへ流出し、緩和措置がとられない場合には、溶融炉心からの崩壊熱や化学反応によって、原子炉下部キャビティのコンクリートが侵食され、原子炉格納容器の構造部材の支持機能が喪失し、原子炉格納容器の破損に至る。	LOCA、過渡事象又は全交流動力電源喪失時に格納容器スプレイ機能、ECCS再循環機能等の安全機能喪失が重畠して、原子炉容器内の溶融炉心が原子炉格納容器内の床上へ流出し、緩和措置がとられない場合には、溶融炉心からの崩壊熱や化学反応によって、原子炉格納容器床のコンクリートが侵食され、原子炉格納容器の構造部材の支持機能が喪失し、原子炉格納容器の破損に至る。	発電用原子炉の運転中に運転時の異常な過渡変化、原子炉冷却材喪失事故（LOCA）又は全交流動力電源喪失が発生するとともに、格納容器スプレイ注入機能、ECCS再循環機能等の安全機能の喪失が重畠する。このため、緩和措置が取られない場合には、原子炉容器内の溶融炉心が原子炉格納容器内へ流れ出し、溶融炉心からの崩壊熱や化学反応によって、原子炉下部キャビティのコンクリートが侵食され、原子炉格納容器の構造部材の支持機能を喪失し、原子炉格納容器の破損に至る。	相違なし (記載表現は異なるが、格納容器破損モードの特徴としては同等)										

泊発電所3号炉 有効性評価 比較表

灰色：女川2号炉の記載のうち、BWR固有の設備や対応手段であり、泊3号炉と比較対象とならない記載内容

赤字：設備、運用又は体制の相違（設計方針の相違）
青字：記載箇所又は記載内容の相違（記載方針の相違）
緑字：記載表現、設備名称の相違（実質的な相違なし）

7.2.5 溶融炉心・コンクリート相互作用

大飯発電所3／4号炉	高浜発電所3／4号炉	女川原子力発電所2号炉	泊発電所3号炉	相違理由

2-3) 有効性評価の主な項目（2／2）

項目	大飯発電所3／4号炉	高浜発電所3／4号炉	泊発電所3号炉	相違理由
格納容器破損防止対策	<p>原子炉格納容器の破損を防止し、かつ、放射性物質が異常な水準で敷地外へ放出されることを防止するため、原子炉下部キャビティのコンクリート侵食及びこれに伴う非凝縮性ガスを抑制する観点から、恒設代替低圧注水ポンプを用いた代替格納容器スプレイにより原子炉下部キャビティへ注水する対策を整備する。</p> <p>また、その後の原子炉格納容器圧力及び温度の上昇を抑制する観点から、恒設代替低圧注水ポンプ及び可搬式代替低圧注水ポンプによる代替格納容器スプレイ、並びに格納容器再循環ユニットによる格納容器内自然対流冷却を整備する。</p>	<p>原子炉格納容器の破損を防止し、かつ、放射性物質が異常な水準で敷地外へ放出されることを防止するため、原子炉格納容器床のコンクリート侵食及びこれに伴う非凝縮性ガスを抑制する観点から、恒設代替低圧注水ポンプを用いた代替格納容器スプレイによって原子炉下部キャビティへ注水する対策を整備する。</p> <p>また、その後の原子炉格納容器圧力及び温度の上昇を抑制する観点から、恒設代替低圧注水ポンプ及び可搬式代替低圧注水ポンプによる代替格納容器スプレイ、並びに格納容器再循環ユニットによる格納容器内自然対流冷却を整備する。</p>	<p>原子炉格納容器の破損を防止し、かつ、放射性物質が異常な水準で敷地外へ放出されることを防止するため、原子炉下部キャビティのコンクリート侵食及びこれに伴う非凝縮性ガスの発生を抑制する観点から、代替格納容器スプレイポンプを用いた代替格納容器スプレイにより原子炉下部キャビティへ注水する対策を整備する。</p> <p>また、その後の原子炉格納容器圧力及び温度の上昇を抑制する観点から、代替格納容器スプレイポンプによる代替格納容器スプレイ及び格納容器再循環ユニットによる格納容器内自然対流冷却を整備する。</p>	<p>設計の相違</p> <ul style="list-style-type: none"> 代替格納容器スプレイに関しては、大飯、高浜は燃料取替用水タンク（ピット）と海水を水源とする2種類のポンプを使用するが、泊は燃料取替用水ピットを水源とする代替格納容器スプレイポンプを使用し、燃料取替用水ピットが枯渇する前までに海水を補給することでスプレイを継続する
評価事故シーケンス	「大破断LOCA時に低圧注入機能、高圧注入機能及び格納容器スプレイ注入機能が喪失する事故」			相違なし
有効性評価の結果 (評価項目等)	<p>ベースマット侵食深さ：代替格納容器スプレイにより原子炉下部キャビティに落下した溶融炉心を冷却することで、ベースマット侵食深さは約5mmにとどまることから、ベースマットに有意な侵食は発生していない。</p>	<p>ベースマット侵食深さ：代替格納容器スプレイによる原子炉下部キャビティに落下した溶融炉心を冷却することで、ベースマットに有意な侵食は発生していない。</p>	<p>ベースマット侵食深さ：代替格納容器スプレイにより原子炉下部キャビティに落下した溶融炉心を冷却することで、ベースマット侵食深さは床面で約3mm、壁面で約3mmにとどまることから、ベースマットに有意な侵食は発生していない。</p>	<p>解析結果の相違</p> <ul style="list-style-type: none"> 高浜は具体的な評価値は記載していないが同程度の侵食深さ 泊は女川同様壁面の侵食深さも記載

2-4) 主な相違

- 泊、大飯、高浜のプラント設備の相違以外で、上記2-3)に記載した事項以外の主な相違はない

2-5) 相違理由の省略

相違理由	大飯発電所3／4号炉	高浜発電所3／4号炉	泊発電所3号炉	相違が生じている理由
設備名称の相違	静的触媒式水素再結合装置	静的触媒式水素再結合装置	原子炉格納容器内水素処理装置	—
	原子炉格納容器水素燃焼装置	原子炉格納容器水素燃焼装置	格納容器水素イグナイタ	—
	恒設代替低圧注水ポンプ	恒設代替低圧注水ポンプ	代替格納容器スプレイポンプ	—
	大容量ポンプ	大容量ポンプ	可搬型大型送水ポンプ車	—
記載表現の相違	原子炉下部キャビティ	原子炉格納容器床	原子炉下部キャビティ	(大飯と同様)

泊発電所3号炉 有効性評価 比較表

灰色：女川2号炉の記載のうち、BWR固有の設備や対応手段であり、泊3号炉と比較対象とならない記載内容

赤字：設備、運用又は体制の相違（設計方針の相違）
青字：記載箇所又は記載内容の相違（記載方針の相違）
緑字：記載表現、設備名称の相違（実質的な相違なし）

7.2.5 溶融炉心・コンクリート相互作用

大飯発電所3／4号炉	高浜発電所3／4号炉	女川原子力発電所2号炉	泊発電所3号炉	相違理由
<p>3.5 溶融炉心・コンクリート相互作用</p> <p>3.5.1 格納容器破損モードの特徴、格納容器破損防止対策</p> <p>(1) 格納容器破損モード内のプラント損傷状態</p> <p>格納容器破損モード「溶融炉心・コンクリート相互作用」に至る可能性のあるプラント損傷状態は、「1.2 評価対象の整理及び評価項目の設定」に示すとおり、TEI、TED、SED、TEW、AEI、SEI、AED、SLI、SLW、AEW及びSEWがある。</p> <p>(2) 格納容器破損モードの特徴及び格納容器破損防止対策の基本的考え方</p> <p>格納容器破損モード「溶融炉心・コンクリート相互作用」では、LOCA、過渡事象又は全交流動力電源喪失時に格納容器スプレイ注入機能、ECCS再循環機能等の安全機能喪失が重畳して、原子炉容器内の溶融炉心が原子炉下部キャビティへ流出し、緩和措置がとられない場合には、溶融炉心からの崩壊熱や化学反応によって、原子炉下部キャビティのコンクリートが侵食され、原子炉格納容器の構造部材の支持機能が喪失し、原子炉格納容器の破損に至る。</p> <p>したがって、本格納容器破損モードでは、原子炉下部キャビティへ注水し原子炉下部キャビティに落下した溶融炉心を冷却することにより、原子炉格納容器の破損を防止する。</p>	<p>3.5 溶融炉心・コンクリート相互作用</p> <p>3.5.1 格納容器破損モードの特徴、格納容器破損防止対策</p> <p>(1) 格納容器破損モード内のプラント損傷状態</p> <p>格納容器破損モード「溶融炉心・コンクリート相互作用」に至る可能性のあるプラント損傷状態は、「1.2 評価対象の整理及び評価項目の設定」に示すとおり、TEI、TED、SED、TEW、AEI、SEI、AED、SLI、SLW、AEW及びSEWがある。</p> <p>(2) 格納容器破損モードの特徴及び格納容器破損防止対策の基本的考え方</p> <p>格納容器破損モード「溶融炉心・コンクリート相互作用」では、LOCA、過渡事象又は全交流動力電源喪失時に格納容器スプレイ機能、ECCS再循環機能等の安全機能喪失が重畳して、原子炉容器内の溶融炉心が原子炉格納容器内の床上へ流出し、緩和措置がとられない場合には、溶融炉心からの崩壊熱や化学反応によって、原子炉格納容器床のコンクリートが侵食され、原子炉格納容器の構造部材の支持機能が喪失し、原子炉格納容器の破損に至る。</p> <p>したがって、本格納容器破損モードでは、原子炉格納容器床へ注水し原子炉格納容器床に落下した溶融炉心を冷却することにより、原子炉格納容器の破損を防止する。</p>	<p>3.5 溶融炉心・コンクリート相互作用</p> <p>3.5.1 格納容器破損モードの特徴、格納容器破損防止対策</p> <p>(1) 格納容器破損モード内のプラント損傷状態</p> <p>格納容器破損モード「溶融炉心・コンクリート相互作用」に至る可能性のあるプラント損傷状態は、「1.2 評価対象の整理及び評価項目の設定」に示すとおり、TQUV、TQUX、長期TB、TBD、TBU、TBP、AE、S1E及びS2Eである。</p> <p>(2) 格納容器破損モードの特徴及び格納容器破損防止対策の基本的考え方</p> <p>格納容器破損モード「溶融炉心・コンクリート相互作用」では、発電用原子炉の運転中に運転時の異常な過渡変化、原子炉冷却材喪失事故（LOCA）又は全交流動力電源喪失が発生するとともに、ECCS等の安全機能の喪失が重畳する。このため、緩和措置がとられない場合には、原子炉圧力容器内の溶融炉心が格納容器内へ流れ出し、溶融炉心からの崩壊熱や化学反応によって、格納容器下部のコンクリートが侵食され、格納容器の構造材の支持機能を喪失し、格納容器の破損に至る。</p> <p>したがって、本格納容器破損モードでは、原子炉圧力容器の下部から溶融炉心が落下する時点で、格納容器下部に溶融炉心の冷却に必要な水位及び水量を確保し、かつ、溶融炉心の落下後は、原子炉格納容器下部注水系（常設）（復水移送ポンプ）によって溶融炉心を冷却することにより、格納容器の破損を防止する</p>	<p>7.2.5 溶融炉心・コンクリート相互作用</p> <p>7.2.5.1 格納容器破損モードの特徴、格納容器破損防止対策</p> <p>(1) 格納容器破損モード内のプラント損傷状態</p> <p>格納容器破損モード「溶融炉心・コンクリート相互作用」に至る可能性のあるプラント損傷状態は、「6.2 評価対象の整理及び評価項目の設定」に示すとおり、TEI、TED、SED、TEW、AED、AEI、SEI、SLW、AEW、SLI及びSEWがある。</p> <p>(2) 格納容器破損モードの特徴及び格納容器破損防止対策の基本的考え方</p> <p>格納容器破損モード「溶融炉心・コンクリート相互作用」では、発電用原子炉の運転中に運転時の異常な過渡変化、原子炉冷却材喪失事故（LOCA）又は全交流動力電源喪失が発生するとともに、格納容器スプレイ注入機能、ECCS再循環機能等の安全機能の喪失が重畳する。このため、緩和措置が取られない場合には、原子炉圧力容器内の溶融炉心が格納容器内へ流れ出し、溶融炉心からの崩壊熱や化学反応によって、格納容器下部のコンクリートが侵食され、格納容器の構造材の支持機能を喪失し、格納容器の破損に至る。</p> <p>したがって、本格納容器破損モードでは、原子炉容器の下部から溶融炉心が落下する時点で、原子炉下部キャビティに溶融炉心の冷却に必要な水位及び水量を確保し、かつ、溶融炉心の落下後は、代替格納容器スプレイによって溶融炉心を冷却することにより、原子炉格納容器の破損を防止するとともに、溶融炉心を冷却することにより、原子炉格納容器の破損を防止する</p>	<p>【大飯、高浜】記載順の相違</p> <p>【大飯、高浜】記載表現の相違（女川実績の反映）</p> <p>【大飯、高浜】記載方針の相違（女川実績の反映）</p>

泊発電所3号炉 有効性評価 比較表

灰色：女川2号炉の記載のうち、BWR固有の設備や対応手段であり、泊3号炉と比較対象とならない記載内容

赤字：設備、運用又は体制の相違（設計方針の相違）
青字：記載箇所又は記載内容の相違（記載方針の相違）
緑字：記載表現、設備名称の相違（実質的な相違なし）

7.2.5 溶融炉心・コンクリート相互作用

大飯発電所3／4号炉	高浜発電所3／4号炉	女川原子力発電所2号炉	泊発電所3号炉	相違理由
<p>また、その後の原子炉格納容器圧力及び温度が緩慢に上昇することから、原子炉格納容器雰囲気を冷却及び除熱し、原子炉格納容器圧力及び温度の上昇を抑制することにより、原子炉格納容器の破損を防止する。さらに、継続的に発生する水素を処理する。</p> <p>(3) 格納容器破損防止対策 格納容器破損モード「溶融炉心・コンクリート相互作用」で想定される事故シーケンスに対して、原子炉格納容器の破損を防止し、かつ、放射性物質が異常な水準で敷地外へ放出されることを防止するため、原子炉下部キャビティのコンクリート侵食及びこれに伴う非凝縮性</p>	<p>また、その後の原子炉格納容器圧力及び温度が緩慢に上昇することから、原子炉格納容器雰囲気を冷却及び除熱し、原子炉格納容器圧力及び温度の上昇を抑制することにより、原子炉格納容器の破損を防止する。さらに、継続的に発生する水素を処理する。</p> <p>(3) 格納容器破損防止対策 格納容器破損モード「溶融炉心・コンクリート相互作用」で想定される事故シーケンスに対して、原子炉格納容器の破損を防止し、かつ、放射性物質が異常な水準で敷地外へ放出されることを防止するため、原子炉下部キャビティのコンクリート侵食及びこれに伴う非凝縮性ガス</p>	<p>とともに、溶融炉心・コンクリート相互作用による水素発生を抑制する。また、溶融炉心の落下後は、原子炉格納容器下部注水系（常設）（復水移送ポンプ）によって溶融炉心を冷却するとともに、原子炉格納容器代替スプレイ冷却系（可搬型）による格納容器冷却を実施する。その後、代替循環冷却系又は原子炉格納容器フィルタベント系によって格納容器の圧力及び温度を低下させる。</p> <p>なお、本格納容器破損モードの有効性評価を実施する上では、原子炉圧力容器破損までは重大事故等対処設備による原子炉注水機能についても使用できないものと仮定し、原子炉圧力容器破損に至るものとする。一方、本格納容器破損モードに対しては、原子炉圧力容器破損後の格納容器破損防止のための重大事故等対策の有効性についても評価するため、原子炉圧力容器破損後は重大事故等対策に係る手順に基づきプラント状態を評価することとする。</p> <p>したがって、本評価では原子炉圧力容器破損後も原子炉圧力容器内に残存する放射性物質の冷却のために原子炉に注水する対策及び手順を整備することから、これを考慮した有効性評価を実施することとする。</p> <p>(3) 格納容器破損防止対策 格納容器破損モード「溶融炉心・コンクリート相互作用」で想定される事故シーケンスに対して、格納容器下部のコンクリートの侵食による原子炉圧力容器の支持機能喪失を防止するため、原子炉格納容器代替スプレイ冷却系（常設）及び原子炉格納容器下部注水系（常設）（復</p>	<p>心・コンクリート相互作用による水素発生を抑制する。また、溶融炉心の落下後は、代替格納容器スプレイによって溶融炉心を冷却する。</p> <p>また、その後の原子炉格納容器圧力及び温度が緩慢に上昇することから、代替格納容器スプレイポンプ及びC、D一格納容器再循環ユニットによって原子炉格納容器雰囲気を冷却及び除熱し、原子炉格納容器圧力及び温度の上昇を抑制することにより、原子炉格納容器の破損を防止する。さらに、原子炉格納容器内水素処理装置によって継続的に発生する水素を処理、低減させるとともに最終的な熱の逃がし場へ熱の輸送を行うことにより原子炉格納容器雰囲気の除熱を行う。</p> <p>(3) 格納容器破損防止対策 格納容器破損モード「溶融炉心・コンクリート相互作用」で想定される事故シーケンスに対して、原子炉格納容器の破損を防止し、かつ、放射性物質が異常な水準で敷地外へ放出されることを防止するため、原子炉下部キャビティのコンクリート侵食及びこれに伴う非凝縮性ガス</p>	<p>【大飯・高岡】記載方法の相違（女川） ・女川に合せて具体的な措置及び用語記載 【大飯・高岡】記載方法の相違 ・他事例に合わせてO&I欄に記載を追加（伊方と同様）</p>

泊発電所3号炉 有効性評価 比較表

灰色：女川2号炉の記載のうち、BWR固有の設備や対応手段であり、泊3号炉と比較対象とならない記載内容

赤字：設備、運用又は体制の相違（設計方針の相違）
青字：記載箇所又は記載内容の相違（記載方針の相違）
緑字：記載表現、設備名称の相違（実質的な相違なし）

7.2.5 溶融炉心・コンクリート相互作用

大飯発電所3／4号炉	高浜発電所3／4号炉	女川原子力発電所2号炉	泊発電所3号炉	相違理由
<p>ガスを抑制する観点から、恒設代替低圧注水ポンプを用いた代替格納容器スプレイにより原子炉下部キャビティへ注水する対策を整備する。</p> <p>また、その後の原子炉格納容器圧力及び温度の上昇を抑制する観点から、恒設代替低圧注水ポンプ及び可搬式代替低圧注水ポンプによる代替格納容器スプレイ、並びに格納容器再循環ユニットによる格納容器内自然対流冷却を整備する。</p> <p>さらに、継続的に発生する水素を処理するため、静的触媒式水素再結合装置を設置するとともに、より一層の水素濃度低減を図るために設備として原子炉格納容器水素燃焼装置を設置する。</p> <p>したがって、本格納容器破損モードに対応する手順及び重大事故等対策は「3.1.1 格納容器過圧破損」と同様である。</p>	<p>を抑制する観点から、恒設代替低圧注水ポンプを用いた代替格納容器スプレイによって原子炉下部キャビティへ注水する対策を整備する。</p> <p>また、その後の原子炉格納容器圧力及び温度の上昇を抑制する観点から、恒設代替低圧注水ポンプ及び可搬式代替低圧注水ポンプによる代替格納容器スプレイ、並びに格納容器再循環ユニットによる格納容器内自然対流冷却を整備する。</p> <p>さらに、継続的に発生する水素を処理するため、静的触媒式水素再結合装置を設置するとともに、より一層の水素濃度低減を図るために設備として原子炉格納容器水素燃焼装置を設置する。</p> <p>したがって、本格納容器破損モードに対応する手順及び重大事故等対策は「3.1.1 格納容器過圧破損」と同様である。</p>	<p>水移送ポンプ)による格納容器下部注水手段を整備する。</p> <p>また、その後の格納容器圧力及び温度の上昇を抑制する観点から、原子炉格納容器代替スプレイ冷却系(可搬型)による格納容器冷却手段及び代替循環冷却系による格納容器除熱手段又は原子炉格納容器フィルタベント系による格納容器除熱手段を整備する。</p> <p>なお、これらの原子炉圧力容器破損以降の格納容器過圧・過温に対応する手順及び重大事故等対策は「3.1 雰囲気圧力・温度による静的負荷(格納容器過圧・過温破損)」と同じである。</p> <p>本格納容器破損モードに至るまでの事象進展への対応、本格納容器破損モードによる格納容器の破損防止及び格納容器の破損を防止した以降の対応を含めた一連の重大事故等対策の概要は、「3.2 高圧溶融物放出／格納容器雰囲気直接加熱」の3.2.1(3)のa.からj.に示している。このうち、本格納容器破損モードに対する重大事故等対策は、「3.2 高圧溶融物放出／格納容器雰囲気直接加熱」の3.2.1(3)に示すf.からj.である。</p> <p>本格納容器破損モードに至るまでの事象進展への対応、本格納容器破損モードによる格納容器の破損防止及び格納容器の破損を防止した以降の対応を含めた一連の重大事故等対策の概略系統図は「3.2 高圧溶融物放出／格納容器雰囲気直接加熱」に示す第3.2.1図から第3.2.4図である。このうち、本格納容器破損モードに対する重大事故等対策の</p>	<p>ガスの発生を抑制する観点から、代替格納容器スプレイポンプを用いた代替格納容器スプレイにより原子炉下部キャビティへ注水する対策を整備する。</p> <p>また、その後の原子炉格納容器圧力及び温度の上昇を抑制する観点から、代替格納容器スプレイポンプによる代替格納容器スプレイ及び格納容器再循環ユニットによる格納容器内自然対流冷却を整備する。</p> <p>さらに、継続的に発生する水素を処理するため、原子炉格納容器内水素処理装置を設置するとともに、より一層の水素濃度低減を図るために設備として格納容器水素イグナイタを設置する。</p> <p>したがって、本格納容器破損モードに対応する手順及び重大事故等対策は「7.2.1.1 格納容器過圧破損」と同様である。</p>	<p>【大飯、高浜】 ・代替格納容器スプレイに関しては、大飯、高浜は燃料取替用水タップ(ピッカ)と海水を水源とする2種類のポンプを使用するが、泊は燃料取替用水ピットを水源とするポンプを使用するが、水ピットが枯渇する前まで海水を補給することアリを継続する(1台のポンプでスプレーを継続する点では伊方と同様)</p>

泊発電所 3 号炉 有効性評価 比較表

7.2.5 溶融炉心・コンクリート相互作用

灰色：女川 2 号炉の記載のうち、BWR
固有の設備や対応手段であり、泊 3
号炉と比較対象とならない記載内容

赤字：設備、運用又は体制の相違（設計方針の相違）
青字：記載箇所又は記載内容の相違（記載方針の相違）
緑字：記載表現、設備名称の相違（実質的な相違なし）

大飯発電所 3 / 4 号炉	高浜発電所 3 / 4 号炉	女川原子力発電所 2 号炉	泊発電所 3 号炉	相違理由
		<p>概略系統図は第 3.2.2 図及び第 3.2.4 図である。本格納容器破損モードに対応 する手順及び必要な要員と作業項目は 「3.2 高圧溶融物放出／格納容器雰囲 気直接加熱」と同じである。</p>		

泊発電所3号炉 有効性評価 比較表

灰色：女川2号炉の記載のうち、BWR固有の設備や対応手段であり、泊3号炉と比較対象とならない記載内容

赤字：設備、運用又は体制の相違（設計方針の相違）
青字：記載箇所又は記載内容の相違（記載方針の相違）
緑字：記載表現、設備名称の相違（実質的な相違なし）

7.2.5 溶融炉心・コンクリート相互作用

大飯発電所3／4号炉	高浜発電所3／4号炉	女川原子力発電所2号炉	泊発電所3号炉	相違理由
<p>3.5.2 格納容器破損防止対策の有効性評価</p> <p>(1) 有効性評価の方法</p> <p>プラント損傷状態の選定結果については、「1.2 評価対象の整理及び評価項目の設定」に示すとおり、本格納容器破損モードに含まれるプラント損傷状態のうち、破断規模の大きい「A**」が、事故進展が早く原子炉容器破損時の炉心崩壊熱が高いため、溶融炉心によるコンクリート侵食の発生の観点で厳しい。また、ECCS又は格納容器スプレイにより原子炉格納容器内へ注水されない「**D」が、コンクリート侵食が抑制されないという観点からより厳しい。したがって、本格納容器破損モードにおいて最も厳しいプラント損傷状態は、破断規模が大きく、ECCS注水機能及び格納容器スプレイ注入機能が喪失する「AED」である。</p> <p>このプラント損傷状態には、以下の事故シーケンスが想定される。</p> <ul style="list-style-type: none"> 大破断LOCA時に高圧注入機能、低圧注入機能及び格納容器スプレイ注入機能が喪失する事故 中破断LOCA時に高圧注入機能、低圧注入機能及び格納容器スプレイ注入機能が喪失する事故 <p>上記事故シーケンスのうち、評価事故シーケンスは中破断LOCAに比べ破断口径が大きく事象進展が早くなり原子炉容器破損時の炉心崩壊熱が高い大破断LOCAを起因とした「大破断LOCA時に高圧注入機能、低圧注入機能及び格納容器スプレイ注入機能が喪失する事故」である。</p> <p>なお、本評価事故シーケンスにおいては、恒設代替低圧注水ポンプ及び可搬式</p>	<p>3.5.2 格納容器破損防止対策の有効性評価</p> <p>(1) 有効性評価の方法</p> <p>プラント損傷状態の選定結果については、「1.2 評価対象の整理及び評価項目の設定」に示すとおり、本格納容器破損モードに含まれるプラント損傷状態のうち、破断規模の大きい「A**」が、事象進展が早く原子炉容器破損時の炉心崩壊熱が高いため、溶融炉心によるコンクリート侵食の発生の観点で厳しい。また、ECCS又は格納容器スプレイにより原子炉格納容器内へ注水されない「**D」が、コンクリート侵食が抑制されないという観点からより厳しい。したがって、本格納容器破損モードにおいて最も厳しいプラント損傷状態は、破断規模が大きく、ECCS注水機能喪失及び格納容器スプレイ注入機能が喪失する「AED」である。</p> <p>このプラント損傷状態には、以下の事故シーケンスが想定される。</p> <ul style="list-style-type: none"> 大破断LOCA時に低圧注入機能、高圧注入機能及び格納容器スプレイ注入機能が喪失する事故 中破断LOCA時に低圧注入機能、高圧注入機能及び格納容器スプレイ注入機能が喪失する事故 <p>上記事故シーケンスのうち、評価事故シーケンスは中破断LOCAに比べ破断口径が大きく事象進展が早くなり原子炉容器破損時の炉心崩壊熱が高い大破断LOCAを起因とした「大破断LOCA時に低圧注入機能、高圧注入機能及び格納容器スプレイ注入機能が喪失する事故」である。</p> <p>なお、本評価事故シーケンスにおいては、恒設代替低圧注水ポンプ及び可搬式</p>	<p>3.5.2 格納容器破損防止対策の有効性評価</p> <p>(1) 有効性評価の方法</p> <p>本格納容器破損モードを評価する上で選定した評価事故シーケンスは、「1.2 評価対象の整理及び評価項目の設定」に示すとおり、プラント損傷状態を TQUV とし、事象進展が早く炉心損傷までの時間余裕の観点で厳しい過渡事象を起因事象とし、逃がし安全弁再閉失敗を含まない「過渡事象+高圧注水失敗+低圧ECCS失敗+損傷炉心冷却失敗（+デブリ冷却失敗）」である。ここで、逃がし安全弁再閉失敗を含まない事故シーケンスとした理由は、プラント損傷状態がTQUVであるため、事故対応に及ぼす逃がし安全弁再閉の成否の影響は小さいと考え、発生頻度の観点で大きい事故シーケンスを選定したためである。</p> <p>また、「1.2.2.1(3) e. 溶融炉心・コンクリート相互作用」に示すとおり、プラント損傷状態の選定では、LOCAとTQUVを比較し、LOCAの場合は格納容器下部に原子炉冷却材が流入することで溶融炉心・コンクリート相互作用が緩和される可能性等を考慮し、より厳しいと考えられるTQUVを選定した。</p>	<p>7.2.5.2 格納容器破損防止対策の有効性評価</p> <p>(1) 有効性評価の方法</p> <p>プラント損傷状態の選定結果については、「6.2 評価対象の整理及び評価項目の設定」に示すとおり、本格納容器破損モードに含まれるプラント損傷状態のうち、破断規模の大きい「A**」が、事象進展が早く原子炉容器破損時の炉心崩壊熱が高いため、溶融炉心によるコンクリート損傷状態の中から評価事故シーケンスを選定する過程を記載する。また、ECCS又は格納容器スプレイにより原子炉格納容器内へ注水されない「**D」が、コンクリート侵食が抑制されないという観点からより厳しい。したがって、本格納容器破損モードにおいて最も厳しいプラント損傷状態は、破断規模が大きく、ECCS注水機能及び格納容器スプレイ注入機能が喪失する「AED」である。</p>	<p>【女川】 記載方針の相違 ・PWRは初めに厳しいプラント損傷状態を選定し、その後、選定されたプラント損傷状態の中から評価事故シーケンスを選定する過程を記載</p> <p>【高浜】 記載表現の相違</p>

泊発電所3号炉 有効性評価 比較表

灰色：女川2号炉の記載のうち、BWR固有の設備や対応手段であり、泊3号炉と比較対象とならない記載内容

赤字：設備、運用又は体制の相違（設計方針の相違）
青字：記載箇所又は記載内容の相違（記載方針の相違）
緑字：記載表現、設備名称の相違（実質的な相違なし）

7.2.5 溶融炉心・コンクリート相互作用

大飯発電所3／4号炉	高浜発電所3／4号炉	女川原子力発電所2号炉	泊発電所3号炉	相違理由
<p>代替低圧注水ポンプによる代替格納容器スプレイ、並びに大容量ポンプを用いた格納容器再循環ユニットへの海水通水による格納容器内自然対流冷却の有効性を確認する観点から、全交流動力電源喪失及び原子炉補機冷却機能喪失の重畠を考慮する。</p> <p>したがって、本評価事故シーケンスは「3.1.1 格納容器過圧破損」と同様のシーケンスとなる。</p> <p>本評価事故シーケンスにおいて、溶融炉心・コンクリート相互作用に係る重要な現象は以下のとおりである。</p> <ul style="list-style-type: none"> a. 炉心における重要現象 <ul style="list-style-type: none"> ・崩壊熱 ・燃料棒内温度変化 	<p>代替低圧注水ポンプによる代替格納容器スプレイ、並びに大容量ポンプを用いた格納容器再循環ユニットへの海水通水による格納容器内自然対流冷却の有効性を確認する観点から、全交流動力電源喪失及び原子炉補機冷却機能喪失の重畠を考慮する。</p> <p>したがって、本評価事故シーケンスは「3.1.1 格納容器過圧破損」と同様のシーケンスとなる。</p> <p>本評価事故シーケンスにおいて、溶融炉心・コンクリート相互作用に係る重要な現象は以下のとおりである。</p> <ul style="list-style-type: none"> a. 炉心における重要現象 <ul style="list-style-type: none"> ・崩壊熱 ・燃料棒内温度変化 	<p>なお、本評価事故シーケンスは、「3.2 高圧溶融物放出／格納容器雰囲気直接加熱」及び「3.3 原子炉圧力容器外の溶融燃料－冷却材相互作用」において有効性を評価したシーケンスと同様のシーケンスである。本格納容器破損モード及び「3.3 原子炉圧力容器外の溶融燃料－冷却材相互作用」ではプラント損傷状態をT Q U Vとし、「3.2 高圧溶融物放出／格納容器雰囲気直接加熱」ではプラント損傷状態をT Q U Xとしており、異なるプラント損傷状態を選定している。しかししながら、どちらのプラント損傷状態であっても原子炉水位が有効燃料棒底部から燃料棒有効長さの20%上の位置に到達した時点で逃がし安全弁（自動減圧機能）の手動開操作によって原子炉減圧する手順であり、原子炉減圧以降も、溶融炉心の挙動に従って一連の流れで生じる各格納容器破損モードを、定められた一連の手順に従って防止することとなる。このことから、これらの格納容器破損モードについては同様のシーケンスで評価する。</p> <p>本評価事故シーケンスでは、炉心における崩壊熱、燃料棒内温度変化、燃料棒表面熱伝達、燃料被覆管酸化、燃料被覆管変形、沸騰・ボイド率変化及び気液分離（水位変化）・対向流、炉心損傷後の原子炉圧力容器におけるリロケーション</p>	<p>代替格納容器スプレイ及び可搬型大型送水ポンプ車を用いた格納容器再循環ユニットへの海水通水による格納容器内自然対流冷却の有効性を確認する観点から、全交流動力電源喪失及び原子炉補機冷却機能喪失の重畠を考慮する。</p> <p>したがって、本評価事故シーケンスは、「7.2.1.1 格納容器過圧破損」において有効性を評価したシーケンスと同様のシーケンスである。</p> <p>本評価事故シーケンスにおいて、溶融炉心・コンクリート相互作用に係る重要な現象は以下のとおりである。</p> <ul style="list-style-type: none"> a. 炉心における重要現象 <ul style="list-style-type: none"> ・崩壊熱 ・燃料棒内温度変化 	<p>設計の相違 ・差異理由は前述どおり（3ページ参照）</p> <p>【大飯、高浜】記載表現の相違（女川実績の反映）</p> <p>【女川】記載方針の相違 ・PWRは炉心や原子炉容器などの分類の重要な現象を箇条書きにし</p>

泊発電所3号炉 有効性評価 比較表

灰色：女川2号炉の記載のうち、BWR固有の設備や対応手段であり、泊3号炉と比較対象とならない記載内容

赤字：設備、運用又は体制の相違（設計方針の相違）
青字：記載箇所又は記載内容の相違（記載方針の相違）
緑字：記載表現、設備名称の相違（実質的な相違なし）

7.2.5 溶融炉心・コンクリート相互作用

大飯発電所3／4号炉	高浜発電所3／4号炉	女川原子力発電所2号炉	泊発電所3号炉	相違理由
<ul style="list-style-type: none"> 燃料棒表面熱伝達 燃料被覆管酸化 燃料被覆管変形 沸騰・ボイド率変化 気液分離・対向流 <p>b. 原子炉容器、1次冷却系、加圧器及び蒸気発生器における重要現象</p> <ul style="list-style-type: none"> 炉心損傷後の原子炉容器におけるリロケーション 炉心損傷後の原子炉容器における下部プレナムでの溶融炉心の熱伝達 炉心損傷後の原子炉容器における原子炉容器破損・溶融 炉心損傷後の原子炉容器における1次系内核分裂生成物挙動 <p>c. 原子炉格納容器における重要現象</p> <ul style="list-style-type: none"> 区画間の流動 スプレイ冷却 水素濃度変化 炉心損傷後の原子炉容器外における溶融燃料－冷却材相互作用 炉心損傷後の原子炉下部キャビティ床面での溶融炉心の拡がり 炉心損傷後の溶融炉心と原子炉下部キャビティ水の伝熱 炉心損傷後の溶融炉心とコンクリートの伝熱 炉心損傷後のコンクリート分解及び非凝縮性ガス発生 炉心損傷後の原子炉格納容器内核分裂生成物挙動 <p>本評価事故シーケンスにおける有効性評価は、炉心損傷後のプラント挙動を適切に模擬することが目的であることから、これらの現象を適切に評価することが可能な、原子炉系、原子炉格納容器</p>	<ul style="list-style-type: none"> 燃料棒表面熱伝達 燃料被覆管酸化 燃料被覆管変形 沸騰・ボイド率変化 気液分離・対向流 <p>b. 原子炉容器、1次冷却系、加圧器及び蒸気発生器における重要現象</p> <ul style="list-style-type: none"> 炉心損傷後の原子炉容器におけるリロケーション 炉心損傷後の原子炉容器における下部プレナムでの溶融炉心の熱伝達 原子炉容器破損、溶融 炉心損傷後の原子炉容器における1次系内核分裂生成物挙動 <p>c. 原子炉格納容器における重要現象</p> <ul style="list-style-type: none"> 区画間・区画内の流動 スプレイ冷却 水素濃度 炉心損傷後の原子炉容器外における溶融燃料－冷却材相互作用 炉心損傷後の原子炉下部キャビティ床面での溶融炉心の拡がり 炉心損傷後の溶融炉心と原子炉下部キャビティ水の伝熱 炉心損傷後の溶融炉心とコンクリートの伝熱 炉心損傷後のコンクリート分解及び非凝縮性ガス発生 炉心損傷後の原子炉格納容器内核分裂生成物挙動 <p>本評価事故シーケンスにおける有効性評価は、炉心損傷後のプラント挙動を適切に模擬することが目的であることから、これらの現象を適切に評価することが可能な、原子炉系、原子炉格納容器</p>	<p>ン、構造材との熱伝達、下部プレナムでの溶融炉心の熱伝達、原子炉圧力容器破損及び原子炉圧力容器内F P挙動並びに炉心損傷後の原子炉格納容器における原子炉格納容器下部床面での溶融炉心の拡がり、原子炉圧力容器外FC I（溶融炉心細粒化）、原子炉圧力容器外FC I（デブリ粒子熱伝達）、溶融炉心と原子炉格納容器下部プール水との伝熱、溶融炉心とコンクリートの伝熱並びにコンクリート分解及び非凝縮性ガス発生が重要現象となる。</p> <p>よって、これらの現象を適切に評価することが可能であり、原子炉圧力容器内及び格納容器内の熱水力モデルを備え、かつ、炉心損傷後のシビアアクシデント特有の溶融炉心の挙動に関するモデル</p>	<ul style="list-style-type: none"> 燃料棒表面熱伝達 燃料被覆管酸化 燃料被覆管変形 沸騰・ボイド率変化 気液分離・対向流 <p>b. 原子炉容器、1次冷却系、加圧器及び蒸気発生器における重要現象</p> <ul style="list-style-type: none"> 炉心損傷後の原子炉容器におけるリロケーション 炉心損傷後の原子炉容器における下部プレナムでの溶融炉心の熱伝達 炉心損傷後の原子炉容器破損、溶融 炉心損傷後の原子炉容器における1次系内核分裂生成物挙動 <p>c. 原子炉格納容器における重要現象</p> <ul style="list-style-type: none"> 区画間の流動 スプレイ冷却 水素濃度変化 炉心損傷後の原子炉容器外における溶融燃料－冷却材相互作用 炉心損傷後の原子炉下部キャビティ床面での溶融炉心の拡がり 炉心損傷後の溶融炉心と原子炉下部キャビティ水の伝熱 炉心損傷後の溶融炉心とコンクリートの伝熱 炉心損傷後のコンクリート分解及び非凝縮性ガス発生 炉心損傷後の原子炉格納容器内核分裂生成物挙動 <p>本評価事故シーケンスにおける有効性評価は、炉心損傷後のプラント挙動を適切に模擬することが目的であることから、これらの現象を適切に評価することが可能であり、原子炉系、原子炉格納</p>	<p>ている</p> <p>【大飯、高浜】記載表現の相違</p> <p>【高浜】記載表現の相違</p>

泊発電所3号炉 有効性評価 比較表

灰色：女川2号炉の記載のうち、BWR固有の設備や対応手段であり、泊3号炉と比較対象とならない記載内容

赤字：設備、運用又は体制の相違（設計方針の相違）
青字：記載箇所又は記載内容の相違（記載方針の相違）
緑字：記載表現、設備名称の相違（実質的な相違なし）

7.2.5 溶融炉心・コンクリート相互作用

大飯発電所3／4号炉	高浜発電所3／4号炉	女川原子力発電所2号炉	泊発電所3号炉	相違理由
系の熱水力モデルを備え、かつ、炉心損傷後のシビアアクシデント特有の溶融炉心挙動に関するモデルを有する解析コードとしてMAAPを使用する。	系の熱水力モデルを備え、かつ、炉心損傷後のシビアアクシデント特有の溶融炉心挙動に関するモデルを有する解析コードとしてMAAPを使用する。	を有するシビアアクシデント総合解析コードMAAPにより格納容器下部の床面及び壁面のコンクリート侵食量等の過渡応答を求める。	容器系の熱水力モデルを備え、かつ、炉心損傷後のシビアアクシデント特有の溶融炉心挙動に関するモデルを有するシビアアクシデント総合解析コードMAAPによりベースマット侵食深さ等の過渡応答を求める。	【大飯、高浜】記載方針の相違（女川実績の反映）
なお、MAAPは、大破断LOCA事象初期の原子炉格納容器雰囲気温度評価への適用性が低いことから、事象初期については設計基準事故時の評価結果により確認している。	なお、MAAPは、大破断LOCA事象初期の原子炉格納容器雰囲気温度評価への適用性が低いことから、事象初期については設計基準事故時の評価結果により確認している。	(添付資料2.7.3、3.1.1.4、3.1.1.5) また、解析コード及び解析条件の不確かさの影響評価の範囲として、本評価事故シーケンスにおける運転員等操作時間に与える影響、要員の配置による他の操作に与える影響、評価項目となるパラメータに与える影響及び操作時間余裕を評価する。	(添付資料2.7.3、3.1.1.4、3.1.1.5) また、解析コード及び解析条件の不確かさの影響評価の範囲として、本評価事故シーケンスにおける運転員等操作時間に与える影響、要員の配置による他の操作に与える影響、評価項目となるパラメータに与える影響及び操作時間余裕を評価する。	【大飯、高浜】記載表現の相違（女川実績の反映）
(添付資料2.7.3、3.1.1.4、3.1.1.5) また、解析コード及び解析条件の不確かさの影響評価の範囲として、本評価事故シーケンスにおける運転員等操作時間に与える影響、要員の配置による他の操作に与える影響、評価項目となるパラメータに与える影響及び操作時間余裕を評価する。	(添付資料2.7.3、3.1.1.4、3.1.1.5) また、解析コード及び解析条件の不確かさの影響評価の範囲として、本評価事故シーケンスにおける運転員等操作時間に与える影響、要員の配置による他の操作に与える影響、評価項目となるパラメータに与える影響及び操作時間余裕を評価する。	(添付資料2.7.3、3.1.1.4、3.1.1.5) また、解析コード及び解析条件の不確かさの影響評価の範囲として、本評価事故シーケンスにおける運転員等操作時間に与える影響、評価項目となるパラメータに与える影響及び操作時間余裕を評価する。	(添付資料2.7.3、3.1.1.4、3.1.1.5) また、解析コード及び解析条件の不確かさの影響評価の範囲として、本評価事故シーケンスにおける運転員等操作時間に与える影響、評価項目となるパラメータに与える影響及び操作時間余裕を評価する。	【大飯、高浜】記載方針の相違（女川実績の反映）
(2) 有効性評価の条件 本評価事故シーケンスの有効性評価の条件については、「3.1.1 格納容器過圧破損」の条件と同様である。なお、以下に示すとおり、本評価事故シーケンスに対する影響を考慮した条件となっており、初期条件も含めた主要な解析条件を第3.5.2.1表に示す。 (添付資料3.1.1.6)	(2) 有効性評価の条件 本評価事故シーケンスの有効性評価の条件については、「3.1.1 格納容器過圧破損」の条件と同様である。なお、以下に示すとおり、本評価事故シーケンスに対する影響を考慮した条件となっており、初期条件も含めた主要な解析条件を第3.5.2.1表に示す。 (添付資料3.1.1.6)	(2) 有効性評価の条件 本評価事故シーケンスの有効性評価の条件は、「3.2 高圧溶融物放出／格納容器雰囲気直接加熱」の条件と同じである。また、初期条件の酸素濃度並びに事故条件の水素及び酸素の発生については、「3.4 水素燃焼」と同じである。	(2) 有効性評価の条件 本評価事故シーケンスの有効性評価の条件は、「7.2.1.1 格納容器過圧破損」の条件と同じである。なお、以下に示すとおり、本評価事故シーケンスに対する影響を考慮した条件となっており、初期条件も含めた主要な解析条件を第7.2.5.1表に示す。 (添付資料7.2.1.1.6)	【大飯、高浜】評価方針の相違（女川実績の反映）
a. 重大事故等対策に関する機器条件 (a) 溶融炉心の原子炉下部キャビティ床面での拡がり 原子炉下部キャビティ床底面の全面に拡がるものとする。	a. 重大事故等対策に関する機器条件 (a) 溶融炉心の原子炉下部キャビティ床面での拡がり 原子炉下部キャビティ床底面の全面に拡がるものとする。	a. 重大事故等対策に関する機器条件 (a) 溶融炉心の原子炉下部キャビティ床面での拡がり 原子炉下部キャビティ床底面の全面に拡がるものとする。	a. 重大事故等対策に関する機器条件 (a) 溶融炉心の原子炉下部キャビティ床面での拡がり 原子炉下部キャビティ床底面の全面に拡がるものとする。	

泊発電所3号炉 有効性評価 比較表

灰色：女川2号炉の記載のうち、BWR固有の設備や対応手段であり、泊3号炉と比較対象とならない記載内容

赤字：設備、運用又は体制の相違（設計方針の相違）
青字：記載箇所又は記載内容の相違（記載方針の相違）
緑字：記載表現、設備名称の相違（実質的な相違なし）

7.2.5 溶融炉心・コンクリート相互作用

大飯発電所3／4号炉	高浜発電所3／4号炉	女川原子力発電所2号炉	泊発電所3号炉	相違理由
<p>(b) 溶融炉心から原子炉下部キャビティ水への熱流束の上限 大気圧条件で 0.8MW/m^2 相当とする。</p> <p>(c) 溶融炉心とコンクリートの伝熱 溶融炉心とコンクリートの伝熱抵抗を考慮せず、溶融炉心の表面温度とコンクリート表面温度が同等となるよう設定する。</p> <p>(3) 有効性評価の結果 本評価事故シーケンスの事象進展は、「3.1.1 格納容器過圧破損」の第3.1.1.4図及び第3.1.1.5図と同様である。溶融炉心・コンクリート相互作用における原子炉格納容器破損防止対策の有効性を評価するパラメータである原子炉下部キャビティ水量及びベースマット侵食深さの原子炉格納容器パラメータの変化を第3.5.1図及び第3.5.2図に示す。</p> <p>a. 事象進展 「3.1.1.2(4) 有効性評価の結果」に示すとおり、事象発生の約21分後に炉心溶融に至り、約51分後に恒設代替低圧注水ポンプによる代替格納容器スプレイを開始することで、原子炉下部キャビティに注水される。 その後、事象発生の約1.4時間後に原子炉容器破損に至り、溶融炉心が断続的に原子炉下部キャビティに落下</p>	<p>(b) 溶融炉心から原子炉下部キャビティ水への熱流束の上限 大気圧条件で 0.8MW/m^2 相当とする。</p> <p>(c) 溶融炉心とコンクリートの伝熱 溶融炉心とコンクリートの伝熱抵抗を考慮せず、溶融炉心の表面温度とコンクリート表面温度が同等となるよう設定する。</p> <p>(3) 有効性評価の結果 本評価事故シーケンスの事象進展は、「3.1.1.2(4) 有効性評価の結果」に示すとおり、事象発生の約19分後に炉心溶融に至り、約49分後に恒設代替低圧注水ポンプによる代替格納容器スプレイを開始することで、原子炉下部キャビティに注水される。 その後、事象発生の約1.5時間後に原子炉容器破損に至り、溶融炉心が断続的に原子炉下部キャビティに落下</p>	<p>(3) 有効性評価の結果 本評価事故シーケンスにおける原子炉圧力及び原子炉水位（シュラウド内外水位）の推移を第3.5.1図及び第3.5.2図に、格納容器圧力、格納容器温度、ドライウェル及びサブレッシュションチャンバの気相濃度（ウェット条件、ドライ条件）、サブレッシュションプール水位、サブレッシュションプール水温、格納容器下部水位並びに溶融炉心・コンクリート相互作用による格納容器下部床面及び壁面のコンクリート侵食量の推移を第3.5.3図から第3.5.12図に示す。</p> <p>a. 事象進展 事象進展は「3.2 高圧溶融物放出／格納容器雰囲気直接加熱」と同じである。</p>	<p>(b) 溶融炉心から原子炉下部キャビティ水への熱流束の上限 大気圧条件で 0.8MW/m^2 相当とする。</p> <p>(c) 溶融炉心とコンクリートの伝熱 溶融炉心とコンクリートの伝熱抵抗を考慮せず、溶融炉心の表面温度とコンクリート表面温度が同等となるよう設定する。</p> <p>(3) 有効性評価の結果 本評価事故シーケンスの事象進展は、「7.2.1.1.4 格納容器過圧破損」の第7.2.1.1.4図及び第7.2.1.1.5図と同様である。溶融炉心・コンクリート相互作用における格納容器破損防止対策の有効性を評価するパラメータである原子炉下部キャビティ水量及びベースマット侵食深さの原子炉格納容器パラメータの推移を第7.2.5.1図及び第7.2.5.2図に示す。</p> <p>a. 事象進展 「7.2.1.1.2(4) 有効性評価の結果」に示すとおり、事象発生の約19分後に炉心溶融に至り、約49分後に代替格納容器スプレイによる代替格納容器スプレイを開始することで、原子炉下部キャビティに注水される。 その後、事象発生の約1.6時間後に原子炉容器破損に至り、溶融炉心が断続的に原子炉下部キャビティに落下</p>	<p>灰色：女川2号炉の記載のうち、BWR固有の設備や対応手段であり、泊3号炉と比較対象とならない記載内容</p> <p>赤字：設備、運用又は体制の相違（設計方針の相違） 青字：記載箇所又は記載内容の相違（記載方針の相違） 緑字：記載表現、設備名称の相違（実質的な相違なし）</p> <p>【大飯、高浜】記載表現の相違</p>

泊発電所3号炉 有効性評価 比較表

灰色：女川2号炉の記載のうち、BWR固有の設備や対応手段であり、泊3号炉と比較対象とならない記載内容

赤字：設備、運用又は体制の相違（設計方針の相違）
青字：記載箇所又は記載内容の相違（記載方針の相違）
緑字：記載表現、設備名称の相違（実質的な相違なし）

7.2.5 溶融炉心・コンクリート相互作用

大飯発電所3／4号炉	高浜発電所3／4号炉	女川原子力発電所2号炉	泊発電所3号炉	相違理由
<p>することで、原子炉下部キャビティ水位が変動する。溶融炉心が原子炉下部キャビティに落下する時点では原子炉下部キャビティには十分な水量が確保されており、溶融炉心からの崩壊熱は除去され、ベースマットに有意な侵食は発生しない。</p> <p>(添付資料 3.1.1.14、3.5.1)</p> <p>b. 評価項目等</p> <p>ベースマット侵食深さは第3.5.2図に示すとおり、代替格納容器スプレイにより原子炉下部キャビティに落下した溶融炉心を冷却することで、ベースマット侵食深さは約5mmにとどまることから、ベースマットに有意な侵食は発生していない。</p>	<p>することで、原子炉下部キャビティ水位が変動する。溶融炉心が原子炉下部キャビティに落下する時点では原子炉下部キャビティには十分な水量が確保されており、溶融炉心からの崩壊熱は除去され、ベースマットに有意な侵食は発生しない。</p> <p>(添付資料 3.1.1.14、3.5.1)</p> <p>b. 評価項目等</p> <p>ベースマット侵食深さは第3.5.2.2図に示すとおり、代替格納容器スプレイによる原子炉下部キャビティに落下した溶融炉心を冷却することで、ベースマットに有意な侵食は発生していない。</p>	<p>溶融炉心落下前の格納容器下部への水張り及び溶融炉心落下後の格納容器下部への注水の継続によって、コンクリート侵食量は格納容器下部の床面で約2cm、壁面で約2cmに抑えられ、格納容器下部の溶融炉心は適切に冷却される。</p> <p>格納容器下部壁面のコンクリート侵食に対しては、コンクリート侵食が内側鋼板及び厚さ約1.7mのコンクリート部を貫通して外側鋼板まで到達しない限り、原子炉圧力容器の支持機能を維持できる。評価の結果、格納容器下部壁面のコンクリート侵食量は約2cmに抑えられ、原子炉圧力容器の支持機能を維持できる。</p> <p>格納容器下部床面コンクリート侵食に対しては、格納容器下部の床面以下のコンクリート厚さが約4.3mであり、格納容器下部床面のコンクリート侵食量が約2cmであるため、原子炉圧力容器の支持機能を維持できる。</p> <p>また、溶融炉心・コンクリート相互作用による可燃性ガスの発生は、格納容器下部についてはコンクリート侵食量が約2cmであるため、約11kgの可燃性ガス及びその他の非凝縮性ガ</p>	<p>することで、原子炉下部キャビティ水位が変動する。溶融炉心が原子炉下部キャビティに落下する時点では原子炉下部キャビティには十分な水量が確保されており、溶融炉心からの崩壊熱は除去され、ベースマットに有意な侵食は発生しない。</p> <p>(添付資料7.2.1.1.13、7.2.5.1)</p> <p>b. 評価項目等</p> <p>ベースマット侵食深さは第7.2.5.2図に示すとおり、代替格納容器スプレイにより原子炉下部キャビティに落下した溶融炉心を冷却することで、ベースマット侵食深さは床面で約3mm、壁面で約3mmにとどまることから、ベースマットに有意な侵食は発生していない。</p>	<p>間が早くなっている ・原子炉容器破損時間に關しては、泊の蒸気冷却が小さいため水位の低下が遅く、その後の事象進展も遅くなり、結果として原子炉容器被損時間が遅くなっている</p> <p>【高浜】 記載方針の相違 【大飯、高浜】 解析結果の相違 ・高浜は具体的な評価値は記載していない ・泊は女川同様壁面の侵食深さも記載</p>

泊発電所3号炉 有効性評価 比較表

灰色：女川2号炉の記載のうち、BWR
固有の設備や対応手段であり、泊3
号炉と比較対象とならない記載内容

赤字：設備、運用又は体制の相違（設計方針の相違）
青字：記載箇所又は記載内容の相違（記載方針の相違）
緑字：記載表現、設備名称の相違（実質的な相違なし）

7.2.5 溶融炉心・コンクリート相互作用

大飯発電所3／4号炉	高浜発電所3／4号炉	女川原子力発電所2号炉	泊発電所3号炉	相違理由
		<p>スが発生するが、ジルコニウム－水反応によって約487kgの水素が発生することを考慮すると、溶融炉心・コンクリート相互作用による可燃性ガス及びその他の非凝縮性ガスの発生が格納容器圧力に与える影響は小さい。このため、溶融炉心・コンクリート相互作用による可燃性ガスの発生が格納容器圧力に与える影響は小さい。</p> <p>なお、格納容器下部への溶融炉心落下後の本評価における水素濃度は、ウェット条件、ドライ条件とともに13vol%を上回る。一方、ウェット条件における酸素濃度は、酸素の蓄積が最も進む事象発生から7日後においても約2.1vol%であり、可燃限界を下回る。ドライ条件では、事象発生の約7時間後から約23時間後までの間、ドライウェルにおける酸素濃度が可燃限界である5vol%を上回る。この間、ウェット条件では、格納容器下部への溶融炉心落下に伴う水蒸気発生によって、ドライウェルに存在する非凝縮性ガスが水蒸気とともにサブレッシュ・エンパンパに送り込まれ、供給される水蒸気でドライウェル内が満たされるため、ドライウェル内のほぼ100%が水蒸気となっている。そのため、この間のドライ条件でのドライウェル内の気体組成は、ほぼ水の放射線分解によって生じる水素及び酸素の割合となり、そのウェット条件での酸素濃度は1vol%未満（約0.004vol%）である。また、ドライウェル内の非凝縮性ガス（水素、酸素及び窒素）の分圧の和は大気圧よりも低く、0.01MPa[abs]未満（水素及び酸素の分</p>		

泊発電所3号炉 有効性評価 比較表

灰色：女川2号炉の記載のうち、BWR固有の設備や対応手段であり、泊3号炉と比較対象とならない記載内容

赤字：設備、運用又は体制の相違（設計方針の相違）
青字：記載箇所又は記載内容の相違（記載方針の相違）
緑字：記載表現、設備名称の相違（実質的な相違なし）

7.2.5 溶融炉心・コンクリート相互作用

大飯発電所3／4号炉	高浜発電所3／4号炉	女川原子力発電所2号炉	泊発電所3号炉	相違理由
		<p>圧の和は 0.01MPa[abs]未満) である。この間のサプレッションチャンバ内のウェット条件での水蒸気の濃度は約 8.5vol%であり、サプレッションチャンバ内の全圧が 0.56MPa[abs]以上であることから、非凝縮性ガス(水素、酸素及び窒素)の分圧は少なくとも 0.51MPa[abs]以上である。このため、仮にドライウェル内の水蒸気が凝縮してドライウェル内の圧力が低下し、相対的に水素濃度及び酸素濃度が上昇しても、ドライウェル内の水素濃度及び酸素濃度が可燃限界を上回る前に、サプレッションチャンバから酸素濃度が 5.0vol%未満の気体が流入する。このため、この間においてドライウェルの酸素濃度が現実に可燃限界である 5 vol%を上回ることはない。事象発生の約 23 時間後以降は、ドライ条件を仮定しても酸素濃度は 5.0vol%未満で推移し、事象発生から 7 日後の酸素濃度はドライウェルにおいて約 2.3vol%，サプレッションチャンバにおいて約 3.2vol%である。したがって、格納容器スプレイの誤動作等により水蒸気量が低下しても、可燃限界である 5 vol%に達することはない。</p> <p>その後は、格納容器下部に 50m³/h の注水を行い、また、代替循環冷却系による格納容器除熱を継続して行うことで、安定状態を維持できる。</p> <p>(添付資料 3.5.1)</p> <p>本評価では、「1.2.2.2 有効性を確認するための評価項目の設定」に示す(8)の評価項目について、格納容器下部床面及び壁面のコンクリート侵食</p>	<p>本評価では、「6.2.2.2 有効性を確認するための評価項目の設定」に示す(8)の評価項目について、原子炉下部キャビティ床面及び壁面のベースマ</p> <p>【大飯、高浜】 記載方針の相違(女川実績の反映)</p>	

泊発電所3号炉 有効性評価 比較表

灰色：女川2号炉の記載のうち、BWR固有の設備や対応手段であり、泊3号炉と比較対象とならない記載内容

赤字：設備、運用又は体制の相違（設計方針の相違）
青字：記載箇所又は記載内容の相違（記載方針の相違）
緑字：記載表現、設備名称の相違（実質的な相違なし）

7.2.5 溶融炉心・コンクリート相互作用

大飯発電所3／4号炉	高浜発電所3／4号炉	女川原子力発電所2号炉	泊発電所3号炉	相違理由
<p>「1.2.2.2 有効性を確認するための評価項目の設定」の(1)、(2)、(3)、(4)、(5)及び(7)に示す評価項目については、「3.1.1 格納容器過圧破損」と「3.3 原子炉圧力容器外の溶融燃料一冷却材相互作用」の評価事故シーケンスと同一であることから、それぞれにおいて、評価項目を満足することを確認する。</p> <p>（添付資料 3.5.2）</p>	<p>「1.2.2.2(2) 有効性を確認するための評価項目の設定」の a., b., c., d., e. 及び g. に示す評価項目について、 「3.1.1 格納容器過圧破損」及び「3.3 原子炉圧力容器外の溶融燃料一冷却材相互作用」の評価事故シーケンスと同一であることから、それぞれにおいて、評価項目を満足することを確認する。</p> <p>f. に示す評価項目については、格納容器スプレイが作動することで本シーケンスよりも水蒸気が凝縮され水素濃度が高くなり、また、全炉心内のジルコニウム量の 75%が水と反応して水素が発生することを想定した「3.4 水素燃焼」において評価項目を満足することを確認する。</p>	<p>量^{※1}をパラメータとして対策の有効性を確認した。</p> <p>なお、「1.2.2.2 有効性を確認するための評価項目の設定」に示す(4)及び(5)の評価項目の評価結果については「3.2 高圧溶融物放出／格納容器雰囲気直接加熱」及び「3.3 原子炉圧力容器外の溶融燃料一冷却材相互作用」にて評価項目を満足することを確認している。</p> <p>※1 溶融炉心が適切に冷却されることについても、格納容器の構造部材の支持機能が維持される範囲で格納容器下部床面及び壁面のコンクリートの侵食が停止することで確認した。</p> <p>なお、「1.2.2.2 有効性を確認するための評価項目の設定」に示す(6)の評価項目については「3.4 水素燃焼」において、(7)の評価項目については「3.1 雰囲気圧力・温度による静的負荷（格納容器過圧・過温破損）」において、それぞれ選定された評価事故シーケンスに対して対策の有効性を確認しているが、溶融炉心が格納容器下部に落下した場合については、本評価において、「1.2.2.2 有効性を確認するための評価項目の設定」に示す(6)及び(7)の評価項目について対策の有効性を確認できる。</p>	<p>ソト侵食深さをパラメータとして対策の有効性を確認した。</p> <p>「1.2.2.2 有効性を確認するための評価項目の設定」に示す(1), (2), (3), (4), (5)及び(7)の評価項目については、「7.2.1.1 格納容器過圧破損」と「7.2.3 原子炉圧力容器外の溶融燃料一冷却材相互作用」の評価事故シーケンスと同一であることから、それぞれにおいて、評価項目を満足することを確認している。</p> <p>「6.2.2.2 有効性を確認するための評価項目の設定」に示す(6)の評価項目については、格納容器スプレイが作動することで本シーケンスよりも水蒸気が凝縮され水素濃度が高くなり、また、全炉心内のジルコニウム量の 75%が水と反応して水素が発生することを想定した「7.2.4 水素燃焼」において評価項目を満足することを確認している。</p>	<p>【大飯、高浜】 記載表現の相違（女川実績の反映）</p> <p>【高浜】 記載表現の相違</p> <p>【大飯】 添付資料の相違 ・大飯のCVはPCCV であり、鋼製CV である泊、高浜とはMCCIによる影響、対策が異なるため添付資料が追加となっている</p>

泊発電所3号炉 有効性評価 比較表

灰色：女川2号炉の記載のうち、BWR固有の設備や対応手段であり、泊3号炉と比較対象とならない記載内容

赤字：設備、運用又は体制の相違（設計方針の相違）
青字：記載箇所又は記載内容の相違（記載方針の相違）
緑字：記載表現、設備名称の相違（実質的な相違なし）

7.2.5 溶融炉心・コンクリート相互作用

大飯発電所3／4号炉	高浜発電所3／4号炉	女川原子力発電所2号炉	泊発電所3号炉	相違理由
<p>3.5.3 解析コード及び解析条件の不確かさの影響評価</p> <p>解析コード及び解析条件の不確かさの影響評価の範囲として、運転員等操作時間に与える影響、評価項目となるパラメータに与える影響及び要員の配置による他の操作に与える影響及び操作時間余裕を評価する。</p> <p>本評価事故シーケンスは、事象進展が緩やかであり、運転員等操作である恒設代替低圧注水ポンプを用いた代替格納容器スプレイにより、原子炉格納容器内部に注水することで溶融炉心によるコンクリート侵食を抑制することが特徴である。</p> <p>また、不確かさの影響を確認する運転員等操作は、炉心損傷を起点とする恒設代替低圧注水ポンプによる代替格納容器スプレイの開始操作とする。</p>	<p>3.5.3 解析コード及び解析条件の不確かさの影響評価</p> <p>解析コード及び解析条件の不確かさの影響評価の範囲として、運転員等操作時間に与える影響、評価項目となるパラメータに与える影響及び要員の配置による他の操作に与える影響及び操作時間余裕を評価する。</p> <p>本評価事故シーケンスは、事象進展が緩やかであり、運転員等操作である恒設代替低圧注水ポンプを用いた代替格納容器スプレイにより、原子炉格納容器内部に注水することで溶融炉心によるコンクリート侵食を抑制することが特徴である。</p> <p>また、不確かさの影響を確認する運転員等操作は、炉心損傷を起点とする恒設代替低圧注水ポンプによる代替格納容器スプレイの開始操作とする。</p>	<p>3.5.3 解析コード及び解析条件の不確かさの影響評価</p> <p>解析コード及び解析条件の不確かさの影響評価の範囲として、運転員等操作時間に与える影響、評価項目となるパラメータに与える影響及び操作時間余裕を評価するものとする。</p> <p>格納容器破損モード「溶融炉心・コンクリート相互作用」では、重大事故等対処設備を含む全ての原子炉注水機能が喪失して炉心損傷及び原子炉圧力容器の破損に至り、溶融炉心が格納容器下部へ落下してコンクリートを侵食することが特徴である。</p> <p>また、不確かさの影響を確認する運転員等操作は、事象発生から12時間程度までの短時間に期待する操作及び事象進展に有意な影響を与えると考えられる操作として、溶融炉心落下前の原子炉格納容器代替スプレイ冷却系（常設）による水張り操作及び溶融炉心落下後の原子炉格納容器下部注水系（常設）（復水移送ポンプ）による格納容器下部への注水操作とする。</p> <p>本評価事故シーケンスの有効性評価における現象の不確かさとしては、溶融炉心の粒子化、溶融炉心の拡がり、デブリから水への熱伝達及びコンクリート種類が挙げられる。</p> <p>本評価事故シーケンスの評価では、水による拡がり抑制に対して溶融炉心の拡がりを抑制した場合及びデブリ上面の性状に対して上面熱流束を変化させた場合の影響評価を実施する。</p> <p>なお、溶融炉心の粒子化の不確かさに対してエントレインメント係数を変化させた場合及びコンクリート種類に対して壁</p>	<p>7.2.5.3 解析コード及び解析条件の不確かさの影響評価</p> <p>解析コード及び解析条件の不確かさの影響評価の範囲として、運転員等操作時間に与える影響、評価項目となるパラメータに与える影響及び操作時間余裕を評価するものとする。</p> <p>格納容器破損モード「溶融炉心・コンクリート相互作用」では、格納容器スプレイ注入機能、ECCS再循環機能等の安全機能が喪失して炉心損傷及び原子炉容器の破損に至り、溶融炉心が原子炉下部キヤビティへ落下してコンクリートを侵食することが特徴である。</p> <p>また、不確かさの影響を確認する運転員等操作は、事象発生から12時間程度までの短時間に期待する操作及び事象進展に有意な影響を与えると考えられる操作として、炉心損傷を起点とする代替格納容器スプレイポンプによる代替格納容器スプレイの開始操作とする。</p>	<p>【大飯、高浜】評価方針の相違（女川実績の反映）</p> <p>【大飯、高浜】記載方針の相違（女川実績の反映）</p> <p>・操作の特徴ではなく事故の特徴について記載</p> <p>【大飯、高浜】記載方針の相違（女川実績の反映）</p>

泊発電所3号炉 有効性評価 比較表

灰色：女川2号炉の記載のうち、BWR固有の設備や対応手段であり、泊3号炉と比較対象とならない記載内容

赤字：設備、運用又は体制の相違（設計方針の相違）
青字：記載箇所又は記載内容の相違（記載方針の相違）
緑字：記載表現、設備名称の相違（実質的な相違なし）

7.2.5 溶融炉心・コンクリート相互作用

大飯発電所3／4号炉	高浜発電所3／4号炉	女川原子力発電所2号炉	泊発電所3号炉	相違理由
<p>(1) 解析コードにおける重要現象の不確かさの影響評価 本評価事故シーケンスにおいて不確かさの影響評価を行う重要現象とは、「1.7 解析コード及び解析条件の不確かさの影響評価方針」に示すとおりであり、それらの不確かさの影響評価は以下のとおりである。</p> <p>a. 運転員等操作時間に与える影響 炉心における燃料棒内温度変化、燃料棒表面熱伝達、燃料被覆管酸化及び燃料被覆管変形に係る解析コードの</p>	<p>(1) 解析コードにおける重要現象の不確かさの影響評価 本評価事故シーケンスにおいて不確かさの影響評価を行う重要現象とは、「1.7 解析コード及び解析条件の不確かさの影響評価方針」に示すとおりであり、それらの不確かさの影響評価は以下のとおりである。</p> <p>a. 運転員等操作時間に与える影響 炉心における燃料棒内温度変化、燃料棒表面熱伝達、燃料被覆管酸化及び燃料被覆管変形に係る解析コードの</p>	<p>方向と床方向の熱分配を変化させた場合の本格納容器破損モードに対する影響は小さいことを確認している。これらの影響評価に加え、溶融炉心落下時の崩壊熱の影響を確認する観点から原子炉圧力容器破損時の崩壊熱が大きくなるよう起因事象を大破断LOCAとした場合の影響評価を実施する。 これらの影響評価の結果、運転員等操作時間に与える影響はなく、評価項目となるパラメータに与える影響として、原子炉圧力容器の支持機能を維持できることを確認している。 また、原子炉圧力容器下鏡部温度を監視し、300°Cに到達した時点（事象発生から約2.5時間後）で格納容器下部への初期水張りを行い、格納容器下部への溶融炉心の落下に対しては、ドライウェル水位を監視することによって、ドライウェル水位が0.02mまで低下したことを確認し、格納容器下部への注水を行うといった対応によって、溶融炉心を確実に冷却できることを確認している。</p> <p>(1) 解析コードにおける重要現象の不確かさの影響評価 本評価事故シーケンスにおいて不確かさの影響評価を行う重要現象とは、「1.7 解析コード及び解析条件の不確かさの影響評価方針」に示すとおりであり、それらの不確かさの影響評価は以下のとおりである。</p> <p>a. 運転員等操作時間に与える影響 炉心における燃料棒内温度変化、燃料棒表面熱伝達、燃料被覆管酸化及び燃料被覆管変形の不確かさとして、炉</p>	<p>(1) 解析コードにおける重要現象の不確かさの影響評価 本評価事故シーケンスにおいて不確かさの影響評価を行う重要現象とは、「6.7 解析コード及び解析条件の不確かさの影響評価方針」に示すとおりであり、それらの不確かさの影響評価は以下のとおりである。</p> <p>a. 運転員等操作時間に与える影響 炉心における燃料棒内温度変化、燃料棒表面熱伝達、燃料被覆管酸化及び燃料被覆管変形に係る解析コードの</p>	

泊発電所3号炉 有効性評価 比較表

灰色：女川2号炉の記載のうち、BWR固有の設備や対応手段であり、泊3号炉と比較対象とならない記載内容

赤字：設備、運用又は体制の相違（設計方針の相違）
青字：記載箇所又は記載内容の相違（記載方針の相違）
緑字：記載表現、設備名称の相違（実質的な相違なし）

7.2.5 溶融炉心・コンクリート相互作用

大飯発電所3／4号炉	高浜発電所3／4号炉	女川原子力発電所2号炉	泊発電所3号炉	相違理由
<p>炉心ヒートアップモデルは、TMI事故についての再現性が確認されており、炉心ヒートアップに係る感度解析では、炉心溶融時間に対する感度は小さく、また、炉心がヒートアップする状態では炉心出口温度の上昇が急峻であることから、炉心溶融開始の30分後に開始するものとしている恒設代替低圧注水ポンプによる代替格納容器スプレイ操作に与える影響は小さい。</p> <p>原子炉格納容器における区画間の流動の不確かさとして、原子炉格納容器の形状に基づく静水頭による流動が主であるが、原子炉格納容器圧力及び温度を起点とする運転員等操作はないことから、運転員等操作時間に与える影響はない。</p>	<p>炉心ヒートアップモデルは、TMI事故についての再現性が確認されており、炉心ヒートアップに係る感度解析では、炉心溶融時間に対する感度は小さく、また、炉心がヒートアップする状態では炉心出口温度の上昇が急峻であることから、炉心溶融開始の30分後に開始するものとしている恒設代替低圧注水ポンプによる代替格納容器スプレイ操作に与える影響は小さい。</p> <p>原子炉格納容器における区画間・区内の流動の不確かさとして、原子炉格納容器の形状に基づく静水頭による流動が主であるが、原子炉格納容器圧力及び温度を起点とする運転員等操作はないことから、運転員等操作時間に与える影響はない。</p>	<p>心ヒートアップに関するモデルは、TMI事故についての再現性及びCOR実験についての再現性を確認している。炉心ヒートアップの感度解析（ジルコニウム-水反応速度の係数についての感度解析）では、炉心溶融開始時間及び炉心下部ブレナムへの溶融炉心移行の開始時間に対する感度は数分程度であり、影響は小さいことを確認している。本評価事故シケンでは、原子炉圧力容器下鏡部温度が300°Cに到達した時点で格納容器下部への初期水張り操作及び原子炉圧力容器破損後、ドライウェル水位が0.02mまで低下を確認した時点で格納容器下部への注水を実施するが、炉心下部ブレナムへの溶融炉心移行の開始時間の不確かさは小さく、炉心下部ブレナムへ溶融炉心が移行した際の原子炉圧力容器下鏡部温度の上昇は急峻であること及び原子炉圧力容器破損時間の不確かさは小さいことから、原子炉圧力容器下鏡部温度及び原子炉圧力容器破損後のドライウェル水位を操作開始の起点としている格納容器下部への初期水張り操作及び原子炉圧力容器破損時の格納容器下部への注水操作に係る運転員等操作時間に与える影響は小さい。</p> <p>炉心における沸騰・ボイド率変化及び気液分離（水位変化）・対向流の不確かさとして、炉心モデル（炉心水位計算モデル）は原子炉水位挙動について原子炉圧力容器内のモデルが精緻である解析コードSAFEの評価結果との比較により、水位低下幅は解析コードMAPの評価結果の方が</p>	<p>炉心ヒートアップモデルは、TMI事故についての再現性が確認されており、炉心ヒートアップに係る感度解析では、炉心溶融時間に対する感度は小さく、また、炉心がヒートアップする状態では炉心出口温度の上昇が急峻であることから、炉心溶融開始の30分後に開始するものとしている代替格納容器スプレイポンプによる代替格納容器スプレイ操作に与える影響は小さい。</p> <p>原子炉格納容器における区画間の流動の不確かさとして、原子炉格納容器の形状に基づく静水頭による流動が主であるが、原子炉格納容器圧力及び温度を起点とする運転員等操作はないことから、運転員等操作時間に与える影響はない。</p>	<p>【高浜】記載表現の相違</p>

泊発電所3号炉 有効性評価 比較表

灰色：女川2号炉の記載のうち、BWR固有の設備や対応手段であり、泊3号炉と比較対象とならない記載内容

赤字：設備、運用又は体制の相違（設計方針の相違）
青字：記載箇所又は記載内容の相違（記載方針の相違）
緑字：記載表現、設備名称の相違（実質的な相違なし）

7.2.5 溶融炉心・コンクリート相互作用

大飯発電所3／4号炉	高浜発電所3／4号炉	女川原子力発電所2号炉	泊発電所3号炉	相違理由
<p>炉心損傷後の原子炉容器におけるリロケーションに係る解析コードの溶融炉心挙動モデルは、TMI事故についての再現性が確認されており、炉心崩壊に至る温度の感度解析により、原子炉容器破損がわずかに早まる場合があることが確認されているが、原子炉容器破損を起点とする運転員等操作はないことから、運転員等操作時間に与える影響はない。</p> <p>炉心損傷後の原子炉容器におけるリロケーションに係る解析コードの溶融炉心挙動モデルは、TMI事故についての再現性が確認されており、炉心崩壊に至る温度の感度解析により、原子炉容器破損がわずかに早まる場合があることが確認されているが、原子炉容器破損を起点とする運転員等操作はないことから、運転員等操作時間に与える影響はない。</p> <p>炉心損傷後の原子炉容器におけるリロケーションに係る解析コードの溶融炉心挙動モデルは、TMI事故についての再現性が確認されており、炉心崩壊に至る温度の感度解析により、原子炉容器破損がわずかに早まる場合があることが確認されているが、原子炉容器破損を起点とする運転員等操作はないことから、運転員等操作時間に与える影響はない。</p> <p>炉心損傷後の原子炉容器におけるリロケーションに係る解析コードの溶融炉心挙動モデルは、TMI事故についての再現性が確認されており、炉心崩壊に至る温度の感度解析により、原子炉容器破損がわずかに早まる場合があることが確認されているが、原子炉容器破損を起点とする運転員等操作はないことから、運転員等操作時間に与える影響はない。</p>	<p>炉心損傷後の原子炉容器におけるリロケーションに係る解析コードの溶融炉心挙動モデルは、TMI事故についての再現性が確認されており、炉心崩壊に至る温度の感度解析により、原子炉容器破損がわずかに早まる場合があることが確認されているが、原子炉容器破損を起点とする運転員等操作はないことから、運転員等操作時間に与える影響はない。</p> <p>炉心損傷後の原子炉容器におけるリロケーションに係る解析コードの溶融炉心挙動モデルは、TMI事故についての再現性が確認されている。また、炉心ノード崩壊のパラメータを低下させた感度解析により原子炉圧力容器破損時間に与える影響は小さいことを確認している。リロケーションの影響を受ける可能性がある操作としては、原子炉圧力容器下鏡部温度が300°Cに到達した時点で格納容器下部への初期水張り操作があるが、炉心下部プレナムへの溶融炉心移行の開始時間の不確かさは小さく、炉心下部プレナムへ溶融炉心が移行した際の原子炉圧力容器下鏡部温度の上昇は急峻であることから、原子炉圧力容器下鏡部温度を操作開始の起点としている格納容器下部への初期水張り操作に係る運転員等操作時間に与える影響は小さい。原子炉圧力容器の破損の影響を受ける可能性がある操作としては、溶融炉心落下後の格納容器下部への注水操作があるが、原子炉圧力容器破損時間の不確かさは小さいことから、原子炉圧力容器破損後のドライウェル水位を起点としている格納容器下部への注水操作に係る運転員等操作時間に与える影響は小さい。</p> <p>炉心損傷後の原子炉圧力容器における炉心下部プレナムでの溶融炉心の熱伝達</p>	<p>大きく、解析コードSAFE-Rに対し て保守的であるものの、その差異は小 さいことを確認していることから、運 転員等操作時間に与える影響は小さ い。</p> <p>炉心損傷後の原子炉圧力容器にお けるリロケーション及び構造材との 熱伝達の不確かさとして、溶融炉心の 挙動モデルはTMI事故についての 再現性を確認している。また、炉心ノ ード崩壊のパラメータを低下させた 感度解析により原子炉圧力容器破損 時間に与える影響は小さいことを確 認している。リロケーションの影響を 受ける可能性がある操作としては、原 子炉圧力容器下鏡部温度が300°Cに到 達した時点で格納容器下部への初期 水張り操作があるが、炉心下部プレナ ムへの溶融炉心移行の開始時間の不 確かさは小さく、炉心下部プレナムへ 溶融炉心が移行した際の原子炉圧力 容器下鏡部温度の上昇は急峻である ことから、原子炉圧力容器下鏡部温度 を操作開始の起点としている格納容 器下部への初期水張り操作に係る運 転員等操作時間に与える影響は小 さい。原子炉圧力容器の破損の影響を受 ける可能性がある操作としては、溶融 炉心落下後の格納容器下部への注水 操作があるが、原子炉圧力容器破損時 間の不確かさは小さいことから、原子 炉圧力容器破損後のドライウェル水 位を起点としている格納容器下部へ の注水操作に係る運転員等操作時間 に与える影響は小さい。</p> <p>炉心損傷後の原子炉圧力容器にお ける炉心下部プレナムでの溶融炉心</p>	<p>炉心損傷後の原子炉容器における リロケーションに係る解析コードの 溶融炉心挙動モデルは、TMI事故につ いての再現性が確認されており、炉心 崩壊に至る温度の感度解析により、原 子炉容器破損がわずかに早まる場合 があることが確認されているが、原子 炉容器破損を起点とする運転員等操 作はないことから、運転員等操作時 間に与える影響はない。</p>	

泊発電所3号炉 有効性評価 比較表

灰色：女川2号炉の記載のうち、BWR固有の設備や対応手段であり、泊3号炉と比較対象とならない記載内容

赤字：設備、運用又は体制の相違（設計方針の相違）
青字：記載箇所又は記載内容の相違（記載方針の相違）
緑字：記載表現、設備名称の相違（実質的な相違なし）

7.2.5 溶融炉心・コンクリート相互作用

大飯発電所3／4号炉	高浜発電所3／4号炉	女川原子力発電所2号炉	泊発電所3号炉	相違理由
<p>に係る解析コードの溶融炉心挙動モデルは、TMI事故についての再現性が確認されており、下部プレナムでの溶融炉心の熱伝達に係る感度解析により、原子炉容器破損時間に対する感度が小さいことが確認されていること、また、原子炉容器破損を起点とする運転員等操作はないとから、運転員等操作時間に与える影響はない。</p> <p>炉心損傷後の原子炉容器における原子炉容器破損・溶融に係る解析コードの溶融炉心挙動モデルは、原子炉容器破損の判定に用いる計装用案内管溶接部の最大歪みを低下させた条件における感度解析により、原子炉容器破損がわずかに早まることが確認されているが、原子炉容器破損を起点とする運転員等操作はないとから、運転員等操作時間に与える影響はない。</p>	<p>に係る解析コードの溶融炉心挙動モデルは、TMI事故についての再現性が確認されており、下部プレナムでの溶融炉心の熱伝達に係る感度解析により、原子炉容器破損時間に対する感度が小さいことが確認されていること、また、原子炉容器破損を起点とする運転員等操作はないとから、運転員等操作時間に与える影響はない。</p> <p>炉心損傷後の原子炉容器破損及び溶融に係る解析コードの溶融炉心挙動モデルは、原子炉容器破損の判定に用いる計装用案内管溶接部の最大歪みを低下させた条件における感度解析により、原子炉容器破損がわずかに早まることが確認されているが、原子炉容器破損を起点とする運転員等操作はないとから、運転員等操作時間に与える影響はない。</p>	<p>の熱伝達の不確かさとして、溶融炉心の挙動モデルはTMI事故についての再現性を確認している。また、炉心下部プレナムと溶融炉心の熱伝達に関する感度解析により原子炉圧力容器破損時間に与える影響は小さいことを確認している。炉心下部プレナムでの溶融炉心の熱伝達の不確かさの影響を受ける可能性がある操作としては、原子炉圧力容器下鏡部温度が300°Cに到達した時点で格納容器下部への初期水張り操作があるが、炉心下部プレナムでの溶融炉心の熱伝達の不確かさは小さいことから、原子炉圧力容器下鏡部温度を操作開始の起点としている格納容器下部への初期水張り操作に係る運転員等操作時間に与える影響は小さい。原子炉圧力容器破損の影響を受ける可能性がある操作としては、溶融炉心落下後の格納容器下部への注水操作があるが、原子炉圧力容器破損時間の不確かさは小さいことから、原子炉圧力容器破損後のドライウェル水位を起点としている格納容器下部への注水操作に係る運転員等操作時間に与える影響は小さい。</p> <p>炉心損傷後の原子炉圧力容器における原子炉圧力容器破損の不確かさとして、制御棒駆動機構ハウジング溶接部の破損判定に用いる最大ひずみ（しきい値）に関する感度解析により最大ひずみを低下させた場合に原子炉圧力容器破損時間が早まることが確認しているが、原子炉圧力容器破損（事象発生から約4.3時間後）に対して、十数分早まる程度であり、格納容</p>	<p>に係る解析コードの溶融炉心挙動モデルは、TMI事故についての再現性が確認されており、下部プレナムでの溶融炉心の熱伝達に係る感度解析により、原子炉容器破損時間に対する感度が小さいことが確認されていること、また、原子炉容器破損を起点とする運転員等操作はないとから、運転員等操作時間に与える影響はない。</p> <p>炉心損傷後の原子炉容器破損及び溶融に係る解析コードの溶融炉心挙動モデルは、原子炉容器破損の判定に用いる計装用案内管溶接部の最大歪みを低下させた条件における感度解析により、原子炉容器破損がわずかに早まることが確認されているが、原子炉容器破損を起点とする運転員等操作はないとから、運転員等操作時間に与える影響はない。</p>	<p>【大飯】記載表現の相違</p>

泊発電所3号炉 有効性評価 比較表

灰色：女川2号炉の記載のうち、BWR
固有の設備や対応手段であり、泊3
号炉と比較対象とならない記載内容

赤字：設備、運用又は体制の相違（設計方針の相違）
青字：記載箇所又は記載内容の相違（記載方針の相違）
緑字：記載表現、設備名称の相違（実質的な相違なし）

7.2.5 溶融炉心・コンクリート相互作用

大飯発電所3／4号炉	高浜発電所3／4号炉	女川原子力発電所2号炉	泊発電所3号炉	相違理由
炉心損傷後の原子炉容器外の溶融燃料－冷却材相互作用に係る解析コードの溶融炉心挙動モデルは、原子炉下部キャビティ水深等の感度解析により、原子炉容器外の溶融燃料－冷却材相互作用による圧力スパイクに対する感度が小さいことが確認されていること、また、原子炉容器外の溶融燃料－冷却材相互作用に対する運転員等操作はないことから、運転員等操作時間に与える影響はない。	炉心損傷後の原子炉容器外の溶融燃料－冷却材相互作用に係る解析コードの溶融炉心挙動モデルは、原子炉下部キャビティ水深等の感度解析により、原子炉容器外の溶融燃料－冷却材相互作用による圧力スパイクに対する感度が小さいことが確認されていること、また、原子炉容器外の溶融燃料－冷却材相互作用に対する運転員等操作はないことから、運転員等操作時間に与える影響はない。	<p>器下部への注水は中央制御室から速やかに実施可能な操作であることから、原子炉圧力容器破損後のドライウェル水位を操作開始の起点としている格納容器下部への注水操作に係る運転員等操作時間に与える影響は小さい。</p> <p>炉心損傷後の原子炉圧力容器における原子炉圧力容器内FP挙動の不確かさとして、核分裂生成物(FP)挙動モデルはPHEBUS-FP実験解析により原子炉圧力容器内へのFP放出の開始時間を適切に再現できることを確認している。PHEBUS-FP実験解析では、燃料被覆管破裂後のFP放出について実験結果より急激な放出を示す結果が確認されたが、小規模体系の模擬性が原因と推測され、実機の大規模な体系においてこの種の不確かさは小さくなると推定される。本評価事故シーケンスでは、炉心損傷後の原子炉圧力容器内FP放出を操作開始の起点としている運転員等操作はないことから、運転員等操作時間に与える影響はない。</p> <p>炉心損傷後の原子炉格納容器における溶融燃料－冷却材相互作用の不確かさとして、溶融炉心の細粒化モデルにおけるエントレインメント係数及びデブリ粒子径の感度解析により、原子炉圧力容器外の溶融燃料－冷却材相互作用による圧力スパイクに与える影響は小さいことを確認している。本評価事故シーケンスでは、原子炉圧力容器外の溶融燃料－冷却材相互作用による圧力スパイクを起点とした運転員等操作はないことから、運</p>	炉心損傷後の原子炉容器外の溶融燃料－冷却材相互作用に係る解析コードの溶融炉心挙動モデルは、原子炉下部キャビティ水深等の感度解析により、原子炉容器外の溶融燃料－冷却材相互作用による圧力スパイクに対する感度が小さいことが確認されていること、また、原子炉容器外の溶融燃料－冷却材相互作用に対する運転員等操作はないことから、運転員等操作時間に与える影響はない。	

泊発電所3号炉 有効性評価 比較表

灰色：女川2号炉の記載のうち、BWR固有の設備や対応手段であり、泊3号炉と比較対象とならない記載内容

赤字：設備、運用又は体制の相違（設計方針の相違）
青字：記載箇所又は記載内容の相違（記載方針の相違）
緑字：記載表現、設備名称の相違（実質的な相違なし）

7.2.5 溶融炉心・コンクリート相互作用

大飯発電所3／4号炉	高浜発電所3／4号炉	女川原子力発電所2号炉	泊発電所3号炉	相違理由
<p>炉心損傷後の原子炉下部キャビティ床面での溶融炉心の拡がり及び溶融炉心と原子炉下部キャビティ水の伝熱に係る解析コードの溶融炉心挙動モデルは、溶融炉心と原子炉下部キャビティ水の伝熱と原子炉下部キャビティ床面での溶融炉心の拡がりに係る感度解析により、感度解析ケースの組合せのうち、原子炉下部キャビティ床面での溶融炉心の拡がりを小さくした場合に、有意なコンクリート侵食が発生することが確認されているが、原子炉下部キャビティ床面での溶融炉心の拡がり又は溶融炉心と原子炉下部キャビティ水の伝熱に対する運転員等操作はないことから、運転員等操作時間に与える影響はない。</p> <p>炉心損傷後の溶融炉心とコンクリートの伝熱及びコンクリート分解及び非凝縮性ガス発生に係る解析コードの溶融炉心挙動モデルは、ACE及びSURC 実験解析により溶融炉心のコンクリートの伝熱及びそれに伴うコンクリート侵食挙動について妥当に評価できることが確認されていること、また、溶融炉心とコンクリートの伝熱及び非凝縮性ガス発生に対する運転員等操作はないことから、運転員等操作時間に与える影響はない。</p> <p>b. 評価項目となるパラメータに与える影響</p> <p>炉心における燃料棒内温度変化、燃料棒表面熱伝達、燃料被覆管酸化及び燃料被覆管変形に係る解析コードの炉心ヒートアップモデルは、TMI 事</p>	<p>炉心損傷後の原子炉下部キャビティ床面での溶融炉心の拡がり及び溶融炉心と原子炉下部キャビティ水の伝熱に係る解析コードの溶融炉心挙動モデルは、溶融炉心と原子炉下部キャビティ水の伝熱と原子炉下部キャビティ床面での溶融炉心の拡がりに係る感度解析により、感度解析ケースの組合せのうち、原子炉下部キャビティ床面での溶融炉心の拡がりを小さくした場合に、有意なコンクリート侵食が発生することが確認されているが、原子炉下部キャビティ床面での溶融炉心の拡がり又は溶融炉心と原子炉下部キャビティ水の伝熱に対する運転員等操作はないことから、運転員等操作時間に与える影響はない。</p> <p>炉心損傷後の溶融炉心とコンクリートの伝熱及びコンクリート分解及び非凝縮性ガス発生に係る解析コードの溶融炉心挙動モデルは、ACE及びSURC 実験解析により溶融炉心のコンクリートの伝熱及びそれに伴うコンクリート侵食挙動について妥当に評価できることが確認されていること、また、溶融炉心とコンクリートの伝熱及び非凝縮性ガス発生に対する運転員等操作はないことから、運転員等操作時間に与える影響はない。</p> <p>b. 評価項目となるパラメータに与える影響</p> <p>炉心における燃料棒内温度変化、燃料棒表面熱伝達、燃料被覆管酸化及び燃料被覆管変形に係る解析コードの炉心ヒートアップに関するモデルは、T</p>	<p>転員等操作時間に与える影響はない。</p> <p>炉心損傷後の原子炉格納容器における格納容器下部床面での溶融炉心の拡がり及び溶融炉心と格納容器下部のプール水の伝熱の不確かさとして、エントレインメント係数、溶融炉心からプール水への熱流束及び溶融プールークラスト間の熱伝達係数がコンクリート侵食量に影響を与えることを確認している。本評価事故シーケンスでは、コンクリート侵食を操作開始の起点としている運転員等操作はないことから、運転員等操作時間に与える影響はない。</p> <p>炉心損傷後の原子炉格納容器における溶融炉心とコンクリート伝熱、コンクリート分解及び非凝縮性ガス発生の不確かさとして、実験解析によりコンクリート侵食量を適切に評価できることを確認している。本評価事故シーケンスでは、コンクリート侵食量を操作開始の起点としている運転員等操作はないことから、運転員等操作時間に与える影響はない。</p> <p>(添付資料 3.5.2)</p>	<p>炉心損傷後の原子炉下部キャビティ床面での溶融炉心の拡がり及び溶融炉心と原子炉下部キャビティ水の伝熱に係る解析コードの溶融炉心挙動モデルは、溶融炉心と原子炉下部キャビティ水の伝熱と原子炉下部キャビティ床面での溶融炉心の拡がりに係る感度解析により、感度解析ケースの組合せのうち、原子炉下部キャビティ床面での溶融炉心の拡がりを小さくした場合に、有意なコンクリート侵食が発生することが確認されているが、原子炉下部キャビティ床面での溶融炉心の拡がり又は溶融炉心と原子炉下部キャビティ水の伝熱に対する運転員等操作はないことから、運転員等操作時間に与える影響はない。</p> <p>炉心損傷後の溶融炉心とコンクリートの伝熱及びコンクリート分解及び非凝縮性ガス発生に係る解析コードの溶融炉心挙動モデルは、ACE及びSURC 実験解析により溶融炉心のコンクリートの伝熱及びそれに伴うコンクリート侵食挙動について妥当に評価できることが確認されていること、また、溶融炉心とコンクリートの伝熱及び非凝縮性ガス発生に対する運転員等操作はないことから、運転員等操作時間に与える影響はない。</p> <p>b. 評価項目となるパラメータに与える影響</p> <p>炉心における燃料棒内温度変化、燃料棒表面熱伝達、燃料被覆管酸化及び燃料被覆管変形に係る解析コードの炉心ヒートアップモデルは、TMI 事</p>	

泊発電所3号炉 有効性評価 比較表

灰色：女川2号炉の記載のうち、BWR固有の設備や対応手段であり、泊3号炉と比較対象とならない記載内容

赤字：設備、運用又は体制の相違（設計方針の相違）
青字：記載箇所又は記載内容の相違（記載方針の相違）
緑字：記載表現、設備名称の相違（実質的な相違なし）

7.2.5 溶融炉心・コンクリート相互作用

大飯発電所3／4号炉	高浜発電所3／4号炉	女川原子力発電所2号炉	泊発電所3号炉	相違理由
<p>故についての再現性が確認されており、炉心ヒートアップに係る感度解析では、下部プレナムへのリロケーション開始時間が30秒程度早まるが、原子炉容器破損時点で原子炉下部キャビティに十分に注水されていることから、解析コードの不確かさが評価項目となるパラメータに与える影響は小さい。</p> <p>原子炉格納容器における区画間の流動の不確かさとして、原子炉格納容器の形状に基づく静水頭による流動が主であることから、評価項目となるパラメータに与える影響は小さい。</p> <p>炉心損傷後の原子炉容器におけるリロケーションに係る解析コードにおける溶融炉心挙動モデルは、TMI事故についての再現性が確認されており、炉心崩壊に至る温度の感度解析により、原子炉容器破損がわずかに早まる場合があることが確認されているが、原子炉下部キャビティに十分に注水されており、解析コードの不確かさ</p>	<p>についての再現性が確認されており、炉心ヒートアップに係る感度解析では、下部プレナムへのリロケーション開始時間が30秒程度早まるが、原子炉容器破損時点で原子炉下部キャビティに十分に注水されていることから、解析コードの不確かさが評価項目となるパラメータに与える影響は小さい。</p> <p>原子炉格納容器における区画間・区内の流動の不確かさとして、原子炉格納容器の形状に基づく静水頭による流動が主であることから、評価項目となるパラメータに与える影響は小さい。</p> <p>炉心損傷後の原子炉容器におけるリロケーションに係る解析コードにおける溶融炉心挙動モデルは、TMI事故についての再現性が確認されており、炉心崩壊に至る温度の感度解析により、原子炉容器破損がわずかに早まる場合があることが確認されているが、原子炉下部キャビティに十分に注水されており、解析コードの不確かさ</p>	<p>M I事故についての再現性及びCO R A実験についての再現性を確認している。炉心ヒートアップの感度解析（ジルコニウム-水反応速度の係数についての感度解析）では、炉心溶融開始時間及び炉心下部プレナムへの溶融炉心移行の開始時間に対する感度は数分程度であり、影響は小さいことを確認している。本評価事故シーケンスでは、原子炉圧力容器破損時点で格納容器下部に初期水張りが実施されていることから、評価項目となるパラメータに与える影響は小さい。</p> <p>炉心における沸騰・ボイド率変化及び気液分離（水位変化）・対向流の不確かさとして、炉心モデル（炉心水位計算モデル）は原子炉水位挙動について原子炉圧力容器内のモデルが精緻である解析コードSAFE Rの評価結果との比較により、水位低下幅は解析コードMAPの評価結果の方が大きく、解析コードSAFE Rに対して保守的であるものの、その差異は小さいことを確認している。また、原子炉圧力容器破損時点で格納容器下部に初期水張りが実施されていることから、評価項目となるパラメータに与える影響は小さい。</p> <p>炉心損傷後の原子炉圧力容器におけるリロケーション及び構造材との熱伝達の不確かさとして、溶融炉心の挙動モデルはTMI事故についての再現性を確認している。また、炉心ノード崩壊のパラメータを低下させた感度解析により、原子炉圧力容器破損時間に与える影響は小さいことを確認している。本評価事故シーケンスで</p>	<p>についての再現性が確認されており、炉心ヒートアップに係る感度解析では、下部プレナムへのリロケーション開始時間が30秒程度早まるが、原子炉容器破損時点で原子炉下部キャビティに十分に注水されていることから、解析コードの不確かさが評価項目となるパラメータに与える影響は小さい。</p> <p>原子炉格納容器における区画間の流動の不確かさとして、原子炉格納容器の形状に基づく静水頭による流動が主であることから、評価項目となるパラメータに与える影響は小さい。</p> <p>炉心損傷後の原子炉容器におけるリロケーションに係る解析コードにおける溶融炉心挙動モデルは、TMI事故についての再現性が確認されており、炉心崩壊に至る温度の感度解析により、原子炉容器破損がわずかに早まる場合があることが確認されているが、原子炉下部キャビティに十分に注水されており、解析コードの不確かさ</p>	<p>【高浜】記載表現の相違</p>

泊発電所3号炉 有効性評価 比較表

灰色：女川2号炉の記載のうち、BWR固有の設備や対応手段であり、泊3号炉と比較対象とならない記載内容

赤字：設備、運用又は体制の相違（設計方針の相違）
青字：記載箇所又は記載内容の相違（記載方針の相違）
緑字：記載表現、設備名称の相違（実質的な相違なし）

7.2.5 溶融炉心・コンクリート相互作用

大飯発電所3／4号炉	高浜発電所3／4号炉	女川原子力発電所2号炉	泊発電所3号炉	相違理由
<p>さが評価項目となるパラメータに与える影響は小さい。</p> <p>炉心損傷後の原子炉容器における下部プレナムでの溶融炉心の熱伝達に係る解析コードの溶融炉心挙動モデルは、TMI事故についての再現性が確認されており、下部プレナムでの溶融炉心の熱伝達に係る感度解析により、原子炉容器破損時間に対する感度が小さいことが確認されていることから、評価項目となるパラメータに与える影響は小さい。</p> <p>炉心損傷後の原子炉容器における下部プレナムでの溶融炉心の熱伝達に係る解析コードの溶融炉心挙動モデルは、TMI事故についての再現性が確認されており、下部プレナムでの溶融炉心の熱伝達に係る感度解析により、原子炉容器破損時間に対する感度が小さいことが確認されていることから、評価項目となるパラメータに与える影響は小さい。</p> <p>炉心損傷後の原子炉容器における下部プレナムでの溶融炉心の熱伝達に係る解析コードの溶融炉心挙動モデルは、TMI事故についての再現性が確認されており、下部プレナムでの溶融炉心の熱伝達に係る感度解析により、原子炉容器破損時間に対する感度が小さいことが確認されていることから、評価項目となるパラメータに与える影響は小さい。</p>	<p>が評価項目となるパラメータに与える影響は小さい。</p> <p>炉心損傷後の原子炉容器における下部プレナムでの溶融炉心の熱伝達に係る解析コードの溶融炉心挙動モデルは、TMI事故についての再現性が確認されており、下部プレナムでの溶融炉心の熱伝達に係る感度解析により、原子炉容器破損時間に対する感度が小さいことが確認されていることから、評価項目となるパラメータに与える影響は小さい。</p> <p>炉心損傷後の原子炉容器における下部プレナムでの溶融炉心の熱伝達に係る解析コードの溶融炉心挙動モデルは、TMI事故についての再現性が確認されており、下部プレナムでの溶融炉心の熱伝達に係る感度解析により、原子炉容器破損時間に対する感度が小さいことが確認されていることから、評価項目となるパラメータに与える影響は小さい。</p> <p>炉心損傷後の原子炉容器における下部プレナムでの溶融炉心の熱伝達に係る解析コードの溶融炉心挙動モデルは、TMI事故についての再現性が確認されており、下部プレナムでの溶融炉心の熱伝達に係る感度解析により、原子炉容器破損時間に対する感度が小さいことが確認されていることから、評価項目となるパラメータに与える影響は小さい。</p>	<p>は、原子炉圧力容器破損時点で格納容器下部に初期水張りが実施されていることから、評価項目となるパラメータに与える影響は小さい。</p> <p>炉心損傷後の原子炉圧力容器における炉心下部プレナムでの溶融炉心の熱伝達の不確かさとして、溶融炉心の挙動モデルはTMI事故についての再現性を確認している。また、炉心下部プレナムと溶融炉心の熱伝達に関する感度解析により、原子炉圧力容器破損時間に与える影響は小さいことを確認している。本評価事故シケンでは、原子炉圧力容器破損時点で格納容器下部に初期水張りが実施されていることから、評価項目となるパラメータに与える影響は小さい。</p> <p>炉心損傷後の原子炉圧力容器における原子炉圧力容器破損の不確かさとして、制御棒駆動機構ハウジング溶接部の破損判定に用いる最大ひずみ（しきい値）に関する感度解析により最大ひずみを低下させた場合に原子炉圧力容器破損時間が早まることが確認しているが、原子炉圧力容器破損（事象発生から約4.3時間後）に対して、早まる時間は僅かであり、破損時間が僅かに早まった場合においても、格納容器下部に初期水張りが実施されていることから、評価項目となるパラメータに与える影響は小さい。</p> <p>炉心損傷後の原子炉圧力容器における原子炉圧力容器内F.P.挙動の不確かさとして、原子炉圧力容器内F.P.挙動と溶融炉心・コンクリート相互作用による侵食量に関連はないことから、評価項目となるパラメータに与え</p>	<p>が評価項目となるパラメータに与える影響は小さい。</p> <p>炉心損傷後の原子炉容器における下部プレナムでの溶融炉心の熱伝達に係る解析コードの溶融炉心挙動モデルは、TMI事故についての再現性が確認されており、下部プレナムでの溶融炉心の熱伝達に係る感度解析により、原子炉容器破損時間に対する感度が小さいことが確認されていることから、評価項目となるパラメータに与える影響は小さい。</p>	
<p>炉心損傷後の原子炉容器における原子炉容器破損・溶融に係る解析コードの溶融炉心挙動モデルは、原子炉容器破損の判定に用いる計装用案内管溶接部の最大歪みを低下させた条件における感度解析により、原子炉容器破損がわずかに早まることが確認されているが、原子炉容器破損時点で原子炉下部キャビティに十分に注水されており、解析コードの不確かさが評価項目となるパラメータに与える影響は小さい。</p>	<p>炉心損傷後の原子炉容器破損及び溶融に係る解析コードの溶融炉心挙動モデルは、原子炉容器破損の判定に用いる計装用案内管溶接部の最大歪みを低下させた条件における感度解析により、原子炉容器破損がわずかに早まることが確認されているが、原子炉容器破損時点で原子炉下部キャビティに十分に注水されており、解析コードの不確かさが評価項目となるパラメータに与える影響は小さい。</p>	<p>炉心損傷後の原子炉圧力容器における原子炉圧力容器破損の不確かさとして、制御棒駆動機構ハウジング溶接部の破損判定に用いる最大ひずみ（しきい値）に関する感度解析により最大ひずみを低下させた場合に原子炉圧力容器破損時間が早まることが確認しているが、原子炉圧力容器破損（事象発生から約4.3時間後）に対して、早まる時間は僅かであり、破損時間が僅かに早まった場合においても、格納容器下部に初期水張りが実施されていることから、評価項目となるパラメータに与える影響は小さい。</p> <p>炉心損傷後の原子炉圧力容器における原子炉圧力容器内F.P.挙動の不確かさとして、原子炉圧力容器内F.P.挙動と溶融炉心・コンクリート相互作用による侵食量に関連はないことから、評価項目となるパラメータに与え</p>	<p>炉心損傷後の原子炉容器破損及び溶融に係る解析コードの溶融炉心挙動モデルは、原子炉容器破損の判定に用いる計装用案内管溶接部の最大歪みを低下させた条件における感度解析により、原子炉容器破損がわずかに早まることが確認されているが、原子炉容器破損時点で原子炉下部キャビティに十分に注水されており、解析コードの不確かさが評価項目となるパラメータに与える影響は小さい。</p>	【大飯】 記載表現の相違

泊発電所3号炉 有効性評価 比較表

灰色：女川2号炉の記載のうち、BWR固有の設備や対応手段であり、泊3号炉と比較対象とならない記載内容

赤字：設備、運用又は体制の相違（設計方針の相違）
青字：記載箇所又は記載内容の相違（記載方針の相違）
緑字：記載表現、設備名称の相違（実質的な相違なし）

7.2.5 溶融炉心・コンクリート相互作用

大飯発電所3／4号炉	高浜発電所3／4号炉	女川原子力発電所2号炉	泊発電所3号炉	相違理由
<p>炉心損傷後の原子炉容器外における溶融燃料－冷却材相互作用の不確かさとして、原子炉下部キャビティ水深等の感度解析により、細粒化された溶融炉心の冷却状態のコンクリート侵食に対する感度が小さいことが確認されていることから、解析コードの不確かさが評価項目となるパラメータに与える影響は小さい。</p> <p>炉心損傷後の原子炉下部キャビティ床面での溶融炉心の拡がり及び溶融炉心と原子炉下部キャビティ水の伝熱の不確かさとして、溶融炉心と原子炉下部キャビティ水の伝熱と原子炉下部キャビティ床面での溶融炉心の拡がりの感度解析を踏まえ、不確かさに関する感度解析パラメータを組合せたケースについて感度解析を行った。なお、水中での溶融物の拡がり挙動は、知見も少なく複雑であることから、解析条件として極端な設定とした。</p> <p>落下時に細粒化などにより溶融炉心の冷却が進み、原子炉下部キャビティ床面での溶融炉心の拡がりが小さい場合の感度解析では約17cmのコンクリート侵食が発生するが、その後は原子炉下部キャビティ水により冷却されることでコンクリート侵食は停止し、原子炉下部キャビティ床面のコンクリート厚さと比較して侵食深さは十分小さい。コンクリート侵食により発生する水素は、すべてジルコニウムに起因するものであり、反応割合は全炉心内のジルコニウム量の約6%である。また、溶融炉心の拡がりが小さ</p>	<p>炉心損傷後の原子炉容器外における溶融燃料－冷却材相互作用の不確かさとして、原子炉下部キャビティ水深等の感度解析により、細粒化された溶融炉心の冷却状態のコンクリート侵食に対する感度が小さいことが確認されていることから、解析コードの不確かさが評価項目となるパラメータに与える影響は小さい。</p> <p>炉心損傷後の原子炉下部キャビティ床面での溶融炉心の拡がり及び溶融炉心と原子炉下部キャビティ水の伝熱の不確かさとして、溶融炉心と原子炉下部キャビティ水の伝熱と原子炉下部キャビティ床面での溶融炉心の拡がりの感度解析を踏まえ、不確かさに関する感度解析パラメータを組合せたケースについて感度解析を行った。なお、水中での溶融物の拡がり挙動は、知見も少なく複雑であることから、解析条件として極端な設定とした。</p> <p>落下時に細粒化などにより溶融炉心の冷却が進み、原子炉下部キャビティ床面での溶融炉心の拡がりが小さい場合の感度解析では約19cmのコンクリート侵食が発生するが、その後は原子炉下部キャビティ水により冷却されることでコンクリート侵食は停止し、原子炉下部キャビティ床面のコンクリート厚さと比較して侵食深さは十分小さい。コンクリート侵食により発生する水素は、すべてジルコニウムに起因するものであり、反応割合は全炉心内のジルコニウム量の約6%である。また、溶融炉心の拡がりが小さ</p>	<p>る影響はない。</p> <p>炉心損傷後の原子炉格納容器における溶融燃料－冷却材相互作用の不確かさとして、エントレインメント係数の感度解析により溶融炉心の細粒化割合がコンクリート侵食に与える感度は小さいことを確認していることから、評価項目となるパラメータに与える影響は小さい。</p> <p>炉心損傷後の原子炉格納容器における格納容器下部床面での溶融炉心の拡がりについて、「付録3 重大事故等対策の有効性評価に係るシニアクシデント解析コードについて 第5部 MAAP 添付3 溶融炉心とコンクリートの相互作用について」において、代表的な1100MWe BWR-5 Mark-I改相当のプラントに対して、均一堆積形状（円柱）と種々の不均一な堆積形状の場合の水への伝熱面積を比較している。その結果、ベースケースで想定している均一堆積形状（円柱）が、最も水への伝熱面積が小さいことを確認している。格納容器下部床面での溶融炉心の拡がりを抑制する場合、ベースケースより除熱量が大きくなりコンクリート侵食量は小さくなることから、評価項目となるパラメータに対する余裕は大きくなる。</p> <p>また、溶融炉心と格納容器下部のブル水の伝熱の不確かさとして、エントレインメント係数、溶融炉心からブル水への熱流束及び溶融ブルーカラスト間の熱伝達係数の感度解析を踏まえ、コンクリート侵食量につい</p>	<p>炉心損傷後の原子炉容器外における溶融燃料－冷却材相互作用の不確かさとして、原子炉下部キャビティ水深等の感度解析により、細粒化された溶融炉心の冷却状態のコンクリート侵食に対する感度が小さいことが確認されていることから、解析コードの不確かさが評価項目となるパラメータに与える影響は小さい。</p> <p>炉心損傷後の原子炉下部キャビティ床面での溶融炉心の拡がり及び溶融炉心と原子炉下部キャビティ水の伝熱の不確かさとして、溶融炉心と原子炉下部キャビティ水の伝熱と原子炉下部キャビティ床面での溶融炉心の拡がりの感度解析を踏まえ、不確かさに関する感度解析パラメータを組合せたケースについて感度解析を行った。なお、水中での溶融物の拡がり挙動は、知見も少なく複雑であることから、解析条件として極端な設定とした。</p> <p>落下時に細粒化などにより溶融炉心の冷却が進み、原子炉下部キャビティ床面での溶融炉心の拡がりが小さい場合の感度解析では約18cmのコンクリート侵食が発生するが、その後は原子炉下部キャビティ水により冷却されることでコンクリート侵食は停止し、原子炉下部キャビティ床面のコンクリート厚さと比較して侵食深さは十分小さい。コンクリート侵食により発生する水素は、すべてジルコニウムに起因するものであり、反応割合は全炉心内のジルコニウム量の約6%である。また、溶融炉心の拡がりが小</p>	<p>【大飯、高浜】 解析結果の相違</p>

泊発電所3号炉 有効性評価 比較表

灰色：女川2号炉の記載のうち、BWR固有の設備や対応手段であり、泊3号炉と比較対象とならない記載内容

赤字：設備、運用又は体制の相違（設計方針の相違）
青字：記載箇所又は記載内容の相違（記載方針の相違）
緑字：記載表現、設備名称の相違（実質的な相違なし）

7.2.5 溶融炉心・コンクリート相互作用

大飯発電所3／4号炉	高浜発電所3／4号炉	女川原子力発電所2号炉	泊発電所3号炉	相違理由
<p>い場合の拡がり面積は約 14.5m²となり、原子炉容器破損位置が原子炉下部キャビティ側面に近いと、溶融炉心が原子炉下部キャビティ側面に接触する場合がある。解析上では、側面クラスト全体がコンクリートと接触するよう取り扱っているため、原子炉下部キャビティ側面は約 17cm のコンクリート侵食が発生するが、コンクリート厚さより小さい。</p> <p>（添付資料 3.4.12）</p> <p>一方、落下時に冷却されず、高温のまま床に到達する場合の感度解析では、溶融炉心は原子炉下部キャビティ床全面に拡がると考えられるため、基本ケースと同様に有意なコンクリート侵食は発生しない。</p> <p>なお、上記の場合を想定した炉心損傷後の原子炉容器外における溶融燃料－冷却材相互作用の不確かさ及び溶融炉心と原子炉下部キャビティ水の伝熱の不確かさに関する感度解析パラメータを組み合わせた感度解析では有意なコンクリート侵食が発生しないことが確認されている。</p> <p>いずれのケースにおいても、実機では溶融炉心が拡がる過程で先端から冷却が進むこと、実験等の知見において、側面コンクリートが侵食されてギャップが形成されたことで溶融物の冷却が促進し、コンクリート侵食が抑制されることから、原子炉下部キャビティ側面への侵食はさらに小さく抑えられると考えられる。</p> <p>以上のことから、コンクリート侵食が原子炉格納容器の構造部材の支持</p>	<p>い場合の拡がり面積は約 11m²となり、原子炉容器破損位置が原子炉下部キャビティ側面に近いと、溶融炉心が原子炉下部キャビティ側面に接触する場合がある。解析上では、側面クラスト全体がコンクリートと接触するよう取り扱っているため、原子炉下部キャビティ側面は約 19cm のコンクリート侵食が発生するが、コンクリート厚さより小さい。</p> <p>（添付資料 3.4.10）</p> <p>一方、落下時に冷却されず、高温のまま床に到達する場合の感度解析では、溶融炉心は原子炉下部キャビティ床全面に拡がると考えられるため、原子炉下部キャビティ床面、側面とも、約 4mm のコンクリート侵食が発生する。</p> <p>いずれのケースにおいても実機では溶融炉心が拡がる過程で先端から冷却が進むこと、実験等の知見において、側面コンクリートが侵食されてギャップが形成されたことで溶融物の冷却が促進し、コンクリート侵食が抑制されることから、原子炉下部キャビティ側面への侵食はさらに小さく抑えられると考えられる。</p> <p>以上のことから、コンクリート侵食が原子炉格納容器の構造部材の支持</p>	<p>て支配的な溶融炉心からプール水への熱流束についての感度解析を実施した。感度解析の結果、第 3.5.13 図に示すとおり、コンクリート侵食量は格納容器下部の床面で約 18cm、壁面で約 18cm に抑えられ、原子炉圧力容器の支持機能を維持できる。</p> <p>なお、本感度解析では、格納容器下部での溶融炉心・コンクリート相互作用によって約 124kg の可燃性ガス及びその他の非凝縮性ガスが発生するが、本評価においてもジルコニウム－水反応によって約 487kg の水素が発生することを考慮すると、溶融炉心・コンクリート相互作用による可燃性ガス及びその他の非凝縮性ガスの発生が格納容器圧力に与える影響は小さい。</p> <p>溶融炉心・コンクリート相互作用による可燃性ガスの発生が、可燃性ガスの燃焼の可能性に及ぼす影響について、本評価における格納容器下部への溶融炉心落下後の格納容器内の水素濃度は、ウェット条件、ドライ条件とともに 13vol% を上回る。このことから、本感度解析の溶融炉心・コンクリート相互作用に伴って発生する可燃性ガスの発生量を、本評価の結果に加えて気相濃度を評価しても、格納容器内の可燃性ガスの燃焼の可能性には影響しない。</p> <p>なお、溶融炉心・コンクリート相互作用によって生じる約 124kg の気体の内訳は、可燃性ガスである水素が約 111kg、一酸化炭素が約 14kg、その他の中の非凝縮性ガスである二酸化炭素が 1kg 未満である。ジルコニウム－水反応によって発生する水素も考慮する</p>	<p>さい場合の拡がり面積は約 11m²となり、原子炉容器破損位置が原子炉下部キャビティ壁面に近いと、溶融炉心が原子炉下部キャビティ壁面に接触する場合がある。解析上では、壁面クラスト全体がコンクリートと接触するよう取り扱っているため、原子炉下部キャビティ壁面は約 18cm のコンクリート侵食が発生するが、コンクリート厚さより小さい。</p> <p>（添付資料 7.2.4.11）</p> <p>一方、落下時に冷却されず、高温のまま床に到達する場合の感度解析では、溶融炉心は原子炉下部キャビティ床全面に拡がると考えられるため、基本ケースと同様に有意なコンクリート侵食は発生しない。</p> <p>なお、上記の場合を想定した炉心損傷後の原子炉容器外における溶融燃料－冷却材相互作用の不確かさ及び溶融炉心と原子炉下部キャビティ水の伝熱の不確かさに関する感度解析パラメータを組み合わせた感度解析では有意なコンクリート侵食が発生しないことが確認されている。</p> <p>いずれのケースにおいても実機では溶融炉心が拡がる過程で先端から冷却が進むこと、実験等の知見において、壁面コンクリートが侵食されてギャップが形成されたことで溶融物の冷却が促進し、コンクリート侵食が抑制されることから、原子炉下部キャビティ壁面への侵食はさらに小さく抑えられると考えられる。</p> <p>以上のことから、コンクリート侵食が原子炉格納容器の構造部材の支持</p>	<p>【大飯】 解析結果の相違</p> <p>【大飯、高浜】 解析結果の相違</p> <p>【高浜】 記載表現の相違</p> <p>【高浜】 記載方針の相違</p>

泊発電所3号炉 有効性評価 比較表

灰色：女川2号炉の記載のうち、BWR固有の設備や対応手段であり、泊3号炉と比較対象とならない記載内容

赤字：設備、運用又は体制の相違（設計方針の相違）
青字：記載箇所又は記載内容の相違（記載方針の相違）
緑字：記載表現、設備名称の相違（実質的な相違なし）

7.2.5 溶融炉心・コンクリート相互作用

大飯発電所3／4号炉	高浜発電所3／4号炉	女川原子力発電所2号炉	泊発電所3号炉	相違理由
<p>機能に影響を与えることはない。</p> <p>炉心損傷後の原子炉格納容器における溶融炉心とコンクリートの伝熱及びコンクリート分解及び非凝縮性ガス発生に係る解析コードの溶融炉心挙動モデルは、ACE及びSURC実験解析より溶融炉心とコンクリートの伝熱及びそれに伴うコンクリート侵食挙動について妥当に評価できることが確認されていることから、解析コードの不確かさが評価項目となるパラメータに与える影響はない。</p> <p>(2) 解析条件の不確かさの影響評価</p> <p>a. 初期条件、事故条件及び重大事故等対策に関する機器条件</p> <p>初期条件、事故条件及び重大事故等対策に関する機器条件は、第3.5.1表に示すとおりであり、それらの条件設定を設計値等、最確値とした場合の影響を評価する。また、解析条件の設定にあたっては、原則、評価項目となるパラメータに対する余裕が小さくなるような設定としていることから、その中で有意な影響を与えると考えられる炉心崩壊熱及び1次冷却材の</p>	<p>機能に影響を与えることはない。</p> <p>炉心損傷後の原子炉格納容器における溶融炉心とコンクリートの伝熱及びコンクリート分解及び非凝縮性ガス発生に係る解析コードの溶融炉心挙動モデルは、ACE及びSURC実験解析より溶融炉心とコンクリートの伝熱及びそれに伴うコンクリート侵食挙動について妥当に評価できることが確認されていることから、解析コードの不確かさが評価項目となるパラメータに与える影響はない。</p> <p>(2) 解析条件の不確かさの影響評価</p> <p>a. 初期条件、事故条件及び重大事故等対策に関する機器条件</p> <p>初期条件、事故条件及び重大事故等対策に関する機器条件は、第3.5.2.1表に示すとおりであり、それらの条件設定を設計値等、最確値とした場合の影響を評価する。また、解析条件の設定にあたっては、原則、評価項目となるパラメータに対する余裕が小さくなるような設定としていることから、その中で事象進展に有意な影響を与えると考えられる炉心崩壊熱 (標準値)</p>	<p>と、格納容器内に存在する可燃性ガスとしては水素が支配的であり、一酸化炭素の影響は無視できる。</p> <p>一方、格納容器内の酸素濃度については、溶融炉心・コンクリート相互作用では酸素は発生しないため、溶融炉心・コンクリート相互作用により発生する可燃性ガス及びその他の非凝縮性ガスを考慮することは格納容器内の酸素濃度を下げる要因となる。このため、本感度解析ケースの溶融炉心・コンクリート相互作用に伴って発生する可燃性ガス及びその他の非凝縮性ガスの発生量を本評価の結果に加えて気相濃度を評価する場合、格納容器内の酸素濃度は「3.5.2(3) b. 評価項目等」にて示した酸素濃度（事象発生から7日後においてウェット条件下約2.1vol%，ドライ条件下約3.2vol%）以下になるものと考えられる。このため、格納容器内での可燃性ガスの燃焼が発生するおそれはない。</p> <p>(添付資料3.5.2, 3.5.3)</p> <p>(2) 解析条件の不確かさの影響評価</p> <p>a. 初期条件、事故条件及び重大事故等対策に関する機器条件</p> <p>初期条件、事故条件及び重大事故等対策に関する機器条件は、第3.2.2表に示すとおりであり、それらの条件設定を設計値等、最確条件とした場合の影響を評価する。また、解析条件の設定にあたっては、評価項目となるパラメータに対する余裕が小さくなるような設定があることから、その中で事象進展に有意な影響を与えると考えられる項目に関する影響評価の結</p>	<p>機能に影響を与えることはない。</p> <p>炉心損傷後の原子炉格納容器における溶融炉心とコンクリートの伝熱及びコンクリート分解及び非凝縮性ガス発生に係る解析コードの溶融炉心挙動モデルは、ACE及びSURC実験解析より溶融炉心とコンクリートの伝熱及びそれに伴うコンクリート侵食挙動について妥当に評価できることが確認されていることから、解析コードの不確かさが評価項目となるパラメータに与える影響はない。</p> <p>(2) 解析条件の不確かさの影響評価</p> <p>a. 初期条件、事故条件及び重大事故等対策に関する機器条件</p> <p>初期条件、事故条件及び重大事故等対策に関する機器条件は、第7.2.5.1表に示すとおりであり、それらの条件設定を設計値等、最確条件とした場合の影響を評価する。また、解析条件の設定にあたっては、評価項目となるパラメータに対する余裕が小さくなるような設定があることから、その中で事象進展に有意な影響を与えると考えられる炉心崩壊熱及び1次冷却材の</p>	<p>【大阪 高司】 記載表現の相違（女川実績の反映）</p>

泊発電所3号炉 有効性評価 比較表

灰色：女川2号炉の記載のうち、BWR固有の設備や対応手段であり、泊3号炉と比較対象とならない記載内容

赤字：設備、運用又は体制の相違（設計方針の相違）
青字：記載箇所又は記載内容の相違（記載方針の相違）
緑字：記載表現、設備名称の相違（実質的な相違なし）

7.2.5 溶融炉心・コンクリート相互作用

大飯発電所3／4号炉	高浜発電所3／4号炉	女川原子力発電所2号炉	泊発電所3号炉	相違理由
流出流量に関する影響評価の結果を以下に示す。	及び1次冷却材の流出流量、並びに標準値として設定しているヒートシンク、蒸気発生器2次側保有水量及び格納容器再循環ユニットの除熱特性に関する影響評価の結果を以下に示す。 (a) 運転員等操作時間に与える影響 炉心崩壊熱を最確値とした場合、解析条件で設定している炉心崩壊熱より小さくなるため、炉心損傷開始が遅くなり、炉心損傷を起点とする恒設代替低圧注水ポンプによる代替格納容器スプレイ操作の開始が遅くなる。 また、炉心崩壊熱を最確値とした場合、解析条件で設定している炉心崩壊熱より小さくなるため、原子炉格納容器への放出エネルギーが小さくなり、原子炉格納容器の圧力上昇が緩和される。しかしながら、原子炉格納容器圧力を起点とする運転員等操作ではなく、運転員等操作時間に与える影響はない。 蒸気発生器2次側保有水量を最確値とした場合、解析条件で設定している保有水量より多くなるが、本評価事故シーケンスは大破断LOCAを想定しており、2次系からの冷却効果はわずかであることから、運転	果を以下に示す。	次冷却材の流出流量に関する影響評価の結果を以下に示す。	記載内容の相違 ・泊は個別解析のため、標準値に係る記載をしない（大飯と同様）
	(a) 運転員等操作時間に与える影響 炉心崩壊熱を最確値とした場合、解析条件で設定している炉心崩壊熱より小さくなるため、炉心損傷開始が遅くなり、炉心損傷を起点とする恒設代替低圧注水ポンプによる代替格納容器スプレイ操作の開始が遅くなる。 また、炉心崩壊熱を最確値とした場合、解析条件で設定している炉心崩壊熱より小さくなるため、原子炉格納容器への放出エネルギーが小さくなり、原子炉格納容器の圧力上昇が緩和される。しかしながら、原子炉格納容器圧力を起点とする運転員等操作ではなく、運転員等操作時間に与える影響はない。 蒸気発生器2次側保有水量を最確値とした場合、解析条件で設定している保有水量より多くなるが、本評価事故シーケンスは大破断LOCAを想定しており、2次系からの冷却効果はわずかであることから、運転	(a) 運転員等操作時間に与える影響 初期条件の原子炉停止後の崩壊熱は、解析条件の燃焼度33GWd/tに対応したものとしており、その最確条件は平均的燃焼度約31GWd/tであり、解析条件の不確かさとして、最確条件とした場合は、解析条件で設定している崩壊熱よりも小さくなるため、発生する蒸気量は少なくなり、原子炉圧力容器の破損に至るまでの事象進展は緩和されるが、操作手順（原子炉圧力容器下鏡部温度に応じて格納容器下部への初期水張り操作を実施すること及び原子炉圧力容器破損後のドライウェル水位に応じて格納容器下部への注水操作を開始すること）に変わりはないことから、運転員等操作時間に与える影響はない。 初期条件の溶融炉心からプール水への熱流束は、解析条件の800kW/m ² 相当（圧力依存あり）に対して最確条件は解析条件の800kW/m ² 相当（圧力依存あり）であり、最確条件とした場合は、解析条件と同様であるため、事象進展に与える影響はないことから、運転員等操作時間に与える影響はない。 初期条件のコンクリート以外の構造材の扱いは、解析条件の内側鋼板、外側鋼板及びリブ鋼板は考慮し	(a) 運転員等操作時間に与える影響 初期条件の原子炉停止後の炉心崩壊熱を最確条件とした場合、解析条件で設定している炉心崩壊熱より小さくなるため、炉心損傷開始が遅くなり、炉心損傷を起点とする代替格納容器スプレイポンプによる代替格納容器スプレイ操作の開始が遅くなるが、操作手順（炉心損傷の判断後、準備が完了した段階でスプレイ実施）に変わりはないことから、運転員等操作時間に与える影響について詳細に記載 また、炉心崩壊熱を最確条件とした場合、解析条件で設定している炉心崩壊熱より小さくなるため、原子炉格納容器への放出エネルギーが小さくなり、原子炉格納容器の圧力上昇が緩和される。しかしながら、原子炉格納容器圧力を起点とする運転員等操作ではなく、運転員等操作時間に与える影響はない。 【高浜】評価方針の相違 ・泊は個別解析のため不確かさの影響評価の対象外（大飯と同様）	

泊発電所3号炉 有効性評価 比較表

灰色：女川2号炉の記載のうち、BWR固有の設備や対応手段であり、泊3号炉と比較対象とならない記載内容

赤字：設備、運用又は体制の相違（設計方針の相違）
青字：記載箇所又は記載内容の相違（記載方針の相違）
緑字：記載表現、設備名称の相違（実質的な相違なし）

7.2.5 溶融炉心・コンクリート相互作用

大飯発電所3／4号炉	高浜発電所3／4号炉	女川原子力発電所2号炉	泊発電所3号炉	相違理由
地震により Excess LOCA が発生した場合、1次冷却材の流出流量の増加により、炉心損傷が早まる。	員等操作時間に与える影響は小さい。	<p>ないことに対して最確条件はコンクリート以外の構造材を考慮することであり、解析条件の不確かさとして、最確条件とした場合は、コンクリートより融点が高い内側鋼板、外側鋼板及びリブ鋼板の耐熱の効果により、溶融炉心・コンクリート相互作用によるコンクリート侵食が抑制されるが、コンクリート侵食量を操作開始の起点としている運転員等操作はないことから、運転員等操作時間に与える影響はない。</p> <p>初期条件の原子炉圧力容器下部の構造物の扱いは、解析条件の格納容器下部に落下する溶融物とは扱わないことに対して、最確条件は部分的な溶融が生じ、格納容器下部に落下する可能性があり、解析条件の不確かさとして、最確条件とした場合は、溶融物の発熱密度が下がるため、溶融炉心・コンクリート相互作用によるコンクリート侵食は抑制されるが、コンクリート侵食量を操作開始の起点としている運転員等操作はないことから、運転員等操作時間に与える影響はない。</p> <p>初期条件の原子炉水位、炉心流量、サプレッションプール水位及び格納容器圧力は、解析条件の不確かさとして、ゆらぎにより解析条件に対して変動を与え得るが、事象進展に与える影響は小さいことから、運転員等操作時間に与える影響は小さい。</p> <p>事故条件の起因事象は、原子炉圧力容器への給水はできないものとして給水流量の全喪失を設定して</p>	事故条件の起因事象は、解析条件の不確かさとして、地震により Excess LOCA が発生した場合、1次	

泊発電所3号炉 有効性評価 比較表

灰色：女川2号炉の記載のうち、BWR固有の設備や対応手段であり、泊3号炉と比較対象とならない記載内容

赤字：設備、運用又は体制の相違（設計方針の相違）
青字：記載箇所又は記載内容の相違（記載方針の相違）
緑字：記載表現、設備名称の相違（実質的な相違なし）

7.2.5 溶融炉心・コンクリート相互作用

大飯発電所3／4号炉	高浜発電所3／4号炉	女川原子力発電所2号炉	泊発電所3号炉	相違理由
<p>まる。その結果、炉心溶融開始の30分後に開始するものとしている恒設代替低圧注水ポンプによる代替格納容器スプレイの開始は早まるが、解析条件と同様に事象発生の約51分後に代替格納容器スプレイを開始したとしても、評価項目となるパラメータに与える影響は小さいことを「3.5.3(2)a. (b) 評価項目となるパラメータに与える影響」におけるExcess LOCAの感度解析により確認していることから、操作時間を早める必要はなく、運転員等操作時間に与える影響はない。</p> <p>(b) 評価項目となるパラメータに与える影響 炉心崩壊熱を最確値とした場合、解析条件で設定している炉心崩壊</p>	<p>結果、炉心溶融開始の30分後に開始するものとしている恒設代替低圧注水ポンプによる代替格納容器スプレイの開始は早まるが、解析条件と同様に事象発生の約49分後に代替格納容器スプレイを開始したとしても、評価項目となるパラメータに与える影響は小さいことを「(b) 評価項目となるパラメータに与える影響」における Excess LOCA の感度解析により確認していることから、運転員等操作時間に与える影響はない。</p> <p>(b) 評価項目となるパラメータに与える影響 炉心崩壊熱を最確値とした場合、解析条件で設定している炉心崩壊</p>	<p>いるが、起因事象の違いによって操作手順（原子炉圧力容器下鏡部温度に応じて格納容器下部への初期水張り操作を実施すること及び原子炉圧力容器破損後のドライウェル水位に応じて格納容器下部への注水操作を開始すること）に変わりはないことから、運転員等操作時間に与える影響はない。 (添付資料 3.5.2)</p>	<p>冷却材の流出流量の増加により、炉心損傷が早まる。その結果、炉心溶融開始の30分後に開始するものとしている代替格納容器スプレイポンプによる代替格納容器スプレイの開始は早まるが、解析条件と同様に事象発生の約49分後に代替格納容器スプレイを開始したとしても、評価項目となるパラメータに与える影響は小さいことを「7.2.5.3(2)a. (b) 評価項目となるパラメータに与える影響」における Excess LOCA の感度解析により確認していることから、操作時間を早める必要はなく、運転員等操作時間に与える影響はない。</p> <p>(b) 評価項目となるパラメータに与える影響 初期条件の原子炉停止後の崩壊熱は、解析条件の燃焼度 33GWd/t に</p>	<p>【大飯】 解析結果の相違</p> <p>【高浜】 記載方針の相違</p> <p>【高浜】 評価方針の相違 ・泊は個別解析のため不確かさの影響評価の対象外（大飯と同様）</p>

泊発電所3号炉 有効性評価 比較表

灰色：女川2号炉の記載のうち、BWR固有の設備や対応手段であり、泊3号炉と比較対象とならない記載内容

赤字：設備、運用又は体制の相違（設計方針の相違）
青字：記載箇所又は記載内容の相違（記載方針の相違）
緑字：記載表現、設備名称の相違（実質的な相違なし）

7.2.5 溶融炉心・コンクリート相互作用

大飯発電所3／4号炉	高浜発電所3／4号炉	女川原子力発電所2号炉	泊発電所3号炉	相違理由
<p>熱より小さくなるため、溶融炉心のもつエネルギーが小さくなり、原子炉容器破損が遅くなることから、溶融炉心の原子炉下部キャビティ落下時点での原子炉下部キャビティ水量は多くなり、落下した溶融炉心の熱量も小さくなるため、評価項目となるパラメータに対する余裕は大きくなる。</p> <p>ヒートシンクを最確値とした場合、解析条件で設定しているヒートシンクより大きくなるため、原子炉格納容器圧力及び温度上昇が緩和されるが、原子炉容器破損時点での原子炉下部キャビティ水量に影響しないため、評価項目となるパラメータに与える影響はない。</p> <p>蒸気発生器2次側保有水量を最確値とした場合、解析条件で設定している保有水量より多くなるが、本評価事故シーケンスは大破断LOCAを想定しており、2次系からの冷却効果はわずかであることから、評価項目となるパラメータに与える影響は小さい。</p>	<p>熱より小さくなるため、溶融炉心のもつエネルギーが小さくなり、原子炉容器破損が遅くなることから、溶融炉心の原子炉下部キャビティ落下時点での原子炉下部キャビティ水量は多くなり、落下した溶融炉心の熱量も小さくなるため、評価項目となるパラメータに対する余裕は大きくなる。</p> <p>初期条件の溶融炉心からプール水への熱流束は、解析条件の800kW/m²相当（圧力依存あり）に対して最確条件は800kW/m²相当（圧力依存あり）であり、最確条件とした場合は、解析条件と同様であるため、事象進展に影響はないことから、評価項目となるパラメータに与える影響はない。コンクリート侵食量に対しては、実験で確認されている侵食面における侵食の不均一性等の影響を確認する観点から、コンクリート侵食量への影響が最も大きい溶融炉心からプール水への熱流束について、感度解析を実施した。感度解析の結果、第3.5.13図に示すとおり、コンクリート侵食量は格納容器下部の床面で約18cm、壁面で約18cmに抑えられることから、原子炉圧力容器の支持機能を維持できる。</p> <p>なお、本感度解析では、格納容器下部での溶融炉心・コンクリート相互作用によって約124kgの可燃性ガス及びその他の非凝縮性ガスが発生するが、本評価においてもジルコニウム-水反応によって約487kgの水素が発生することを考慮する</p>	<p>対応したものとしており、その最確条件は平均的燃焼度約31GWd/tであり、解析条件の不確かさとして、最確条件とした場合は、解析条件で設定している崩壊熱よりも小さくなるため、溶融炉心の持つエネルギーが小さくなることから、評価項目となるパラメータに対する余裕は大きくなる。</p>	<p>条件で設定している炉心崩壊熱より小さくなるため、溶融炉心のもつエネルギーが小さくなり、原子炉容器破損が遅くなることから、溶融炉心の原子炉下部キャビティ落下時点での原子炉下部キャビティ水量は多くなり、落下した溶融炉心の熱量も小さくなるため、評価項目となるパラメータに対する余裕は大きくなる。</p>	<p>【高浜】 評価方針の相違 ・泊は個別解析のため不確かさの影響評価の対象外（大飯と同様）</p> <p>【高浜】 評価方針の相違 ・同上</p>

泊発電所3号炉 有効性評価 比較表

灰色：女川2号炉の記載のうち、BWR
固有の設備や対応手段であり、泊3
号炉と比較対象とならない記載内容

赤字：設備、運用又は体制の相違（設計方針の相違）
青字：記載箇所又は記載内容の相違（記載方針の相違）
緑字：記載表現、設備名称の相違（実質的な相違なし）

7.2.5 溶融炉心・コンクリート相互作用

大飯発電所3／4号炉	高浜発電所3／4号炉	女川原子力発電所2号炉	泊発電所3号炉	相違理由
		<p>と、溶融炉心・コンクリート相互作用による可燃性ガス及びその他の非凝縮性ガスの発生が格納容器圧力に与える影響は小さい。</p> <p>溶融炉心・コンクリート相互作用による可燃性ガスの発生が、可燃性ガスの燃焼の可能性に及ぼす影響について、本評価における格納容器下部への溶融炉心落下後の格納容器内の水素濃度は、ウェット条件、ドライ条件ともに 13vol%を上回る。このことから、本感度解析の溶融炉心・コンクリート相互作用によって発生する可燃性ガスの発生量を、本評価の結果に加えて格納容器内の気相濃度を評価しても、格納容器内での可燃性ガスの燃焼の可能性には影響しない。</p> <p>なお、溶融炉心・コンクリート相互作用によって生じる約 124kg の気体の内訳は、可燃性ガスである水素が約 111kg、一酸化炭素が約 14kg、その他の非凝縮性ガスである二酸化炭素が 1 kg 未満である。ジルコニアウム-水反応によって発生する水素も考慮すると、格納容器内に存在する可燃性ガスとしては水素が支配的であり、一酸化炭素の影響は無視できる。</p> <p>一方、格納容器内の酸素濃度については、溶融炉心・コンクリート相互作用では酸素は発生しないため、溶融炉心・コンクリート相互作用により発生する可燃性ガス及びその他の非凝縮性ガスを考慮することは格納容器内の酸素濃度を下げる要因となる。このため、本感度解析</p>		

泊発電所3号炉 有効性評価 比較表

灰色：女川2号炉の記載のうち、BWR固有の設備や対応手段であり、泊3号炉と比較対象とならない記載内容

赤字：設備、運用又は体制の相違（設計方針の相違）
青字：記載箇所又は記載内容の相違（記載方針の相違）
緑字：記載表現、設備名称の相違（実質的な相違なし）

7.2.5 溶融炉心・コンクリート相互作用

大飯発電所3／4号炉	高浜発電所3／4号炉	女川原子力発電所2号炉	泊発電所3号炉	相違理由
		<p>の溶融炉心・コンクリート相互作用によって発生する可燃性ガス及びその他の非凝縮性ガスの発生量を、本評価の結果に加えて気相濃度を評価する場合、格納容器内の酸素濃度は「3.5.2(3) b. 評価項目等」にて示した酸素濃度（事象発生から7日後においてウェット条件で約2.1vol%，ドライ条件で約3.2vol%）以下となる。このため、格納容器内での可燃性ガスの燃焼が発生するおそれはない。</p> <p>初期条件のコンクリート以外の構造材の扱いは、解析条件の内側鋼板、外側鋼板及びリブ鋼板は考慮しないことに対して最確条件はコンクリート以外の構造材を考慮することであり、解析条件の不確かさとして、最確条件とした場合は、コンクリートより融点が高い内側鋼板、外側鋼板及びリブ鋼板の耐熱の効果により、溶融炉心・コンクリート相互作用によるコンクリート侵食が抑制されることから、評価項目となるパラメータに対する余裕は大きくなる。侵食は内側鋼板内に抑えられ、外側鋼板に影響はないことから、原子炉圧力容器の支持機能を維持できる。</p> <p>初期条件の原子炉圧力容器下部の構造物の扱いは、解析条件の格納容器下部に落下する溶融物とは扱わないことに対して最確条件は部分的な溶融が生じ、格納容器下部に落下する可能性があり、解析条件の不確かさとして、最確条件とした場合は、溶融物の発熱密度が下がるた</p>		

泊発電所3号炉 有効性評価 比較表

灰色：女川2号炉の記載のうち、BWR
固有の設備や対応手段であり、泊3
号炉と比較対象とならない記載内容

赤字：設備、運用又は体制の相違（設計方針の相違）
青字：記載箇所又は記載内容の相違（記載方針の相違）
緑字：記載表現、設備名称の相違（実質的な相違なし）

7.2.5 溶融炉心・コンクリート相互作用

大飯発電所3／4号炉	高浜発電所3／4号炉	女川原子力発電所2号炉	泊発電所3号炉	相違理由
<p>地震により Excess LOCA が発生した場合、1次冷却材の流出流量の増加により炉心及び原子炉格納容器への影響が考えられることから、破断規模及び破断箇所について以下のケースの感度解析を実施した。</p> <ul style="list-style-type: none"> ・1次冷却材高温側配管全ループ破断 ・1次冷却材低温側配管全ループ破断 ・原子炉容器下端における破損（開口面積：高温側配管両端破断相当） <p>いずれの感度ケースも 恒設代替低圧注水ポンプによる代替格納容器スプレイの開始時間は基本ケースである大破断LOCA時と同様に事象発生の約 51 分後とした。その結果、第3.5.3図から第3.5.8図に示すとおり、各ケースともに原子炉下部キャビティへの溶融炉心落下時点で原子炉下部キャビティ水が十</p> <p>地震により Excess LOCA が発生した場合、1次冷却材の流出流量の増加により炉心及び原子炉格納容器への影響が考えられることから、破断規模及び破断箇所について以下のケースの感度解析を実施した。</p> <ul style="list-style-type: none"> ・1次冷却材高温側配管 全ループ破断 ・1次冷却材低温側配管 全ループ破断 ・原子炉容器下端における破損（開口面積：高温側配管両端破断相当） <p>いずれの感度ケースも 恒設代替低圧注水ポンプによる代替格納容器スプレイ開始時間は基本ケースである大破断 LOCA 時と同様に事象発生の約 49 分後とした。その結果、第3.5.3.1図から第3.5.3.6図に示すとおり、各ケースともに原子炉下部キャビティへの溶融炉心落下時点で原子炉下部キャビティ水が十</p> <p>め、溶融炉心・コンクリート相互作用によるコンクリート侵食が抑制されることから、評価項目となるパラメータに対する余裕は大きくなる。</p> <p>初期条件の原子炉水位、炉心流量、サブレッショングール水位及び格納容器圧力は、解析条件の不確かさとして、ゆらぎにより解析条件に対して変動を与えるが、事象進展に与える影響は小さいことから、評価項目となるパラメータに与える影響は小さい。</p> <p>事故条件について、溶融炉心・コンクリート相互作用によるコンクリート侵食量を評価するに当たり、溶融炉心落下時の崩壊熱の影響を確認する観点から感度解析を実施した。感度解析は、原子炉水位の以下の観点でより厳しい事象である LOCA 等の原子炉冷却材圧力バウンダリ喪失を仮定し、事故シーケンスを「大破断 LOCA + HPCS 失敗 + 低圧 ECCS 失敗 + 全交流動力電源喪失」とし、本評価事故シーケンスの評価条件と同様、電源の有無に係らず重大事故等対処設備による原子炉注水機能についても原子炉圧力容器破損まで使用できないものと仮定した。その場合、原子炉水位の低下が早く、原子炉圧力容器破損までの時間が約 3.0 時間となる。その結果、第3.5.14 図に示すとおり、コンクリート侵食量は床面で約 3 cm、壁面では約 3 cm に抑えられ、原子炉圧力容器の支持機能を維持できる。また、同様に原子</p> <p>事故条件の起因事象は、解析条件の不確かさとして、地震により Excess LOCA が発生した場合、1次冷却材の流出流量の増加により炉心及び原子炉格納容器への影響が考えられることから、破断規模及び破断箇所について以下のケースの感度解析を実施した。</p> <ul style="list-style-type: none"> ・1次冷却材高温側配管 全ループ破断 ・1次冷却材低温側配管 全ループ破断 ・原子炉容器下端における破損（開口面積：高温側配管両端破断相当） <p>いずれの感度ケースも 代替格納容器スプレイポンプによる代替格納容器スプレイ開始時間は基本ケースである大破断 LOCA 時と同様に事象発生の約 49 分後とした。その結果、第7.2.5.3 図から第7.2.5.11 図に示すとおり、各ケースともに原子炉下部キャビティへの溶融炉心落下時点で原子炉下部キャビティ水が十</p>				

泊発電所3号炉 有効性評価 比較表

灰色：女川2号炉の記載のうち、BWR
固有の設備や対応手段であり、泊3
号炉と比較対象とならない記載内容

赤字：設備、運用又は体制の相違（設計方針の相違）
青字：記載箇所又は記載内容の相違（記載方針の相違）
緑字：記載表現、設備名称の相違（実質的な相違なし）

7.2.5 溶融炉心・コンクリート相互作用

大飯発電所3／4号炉	高浜発電所3／4号炉	女川原子力発電所2号炉	泊発電所3号炉	相違理由
<p>が十分存在するため、ベースマットに有意な侵食は発生せず、評価項目となるパラメータに与える影響は小さいことを確認した。</p> <p>(添付資料 3.1.1.19)</p>	<p>分存在するため、ベースマットに有意な侵食は発生せず、評価項目となるパラメータに与える影響は小さいことを確認した。</p> <p>(添付資料 3.1.1.19)</p> <p>格納容器再循環ユニットの除熱特性を最確値とした場合、解析条件で設定している除熱特性より高くなるため、原子炉格納容器圧力及び温度の上昇は遅くなるが、原子炉容器破損時点での原子炉下部キャビティ水量には影響しないため、評価項目となるパラメータに与える影響はない。</p>	<p>炉圧力容器破損までの時間を約3.0時間とし、仮に溶融炉心のドレンサップへの流入を考慮した場合の感度解析を実施した。その結果、第3.5.15図に示すとおり、ドレンサップのコンクリート侵食量は、床面で約20cm、壁面で約16cmに抑えられ、原子炉格納容器バウンダリ機能及び原子炉圧力容器の支持機能を維持できる。いずれの場合においてもコンクリート侵食量が僅かであることから、本評価における溶融炉心・コンクリート相互作用による可燃性ガスの発生量は格納容器内の気相濃度に影響を与えない。このため、溶融炉心・コンクリート相互作用による可燃性ガスの蓄積及び燃焼による格納容器圧力への影響は無く、格納容器内の気体組成の推移は「3.5.2(3)b. 評価項目等」と同じとなる。</p> <p>なお、ベースケースにおける格納容器下部への溶融炉心落下後の水素濃度は、ウェット条件、ドライ条件とともに13vol%を上回る。一方、ウェット条件における酸素濃度は、酸素の蓄積が最も進む事象発生から7日後においても約2.1vol%であり、可燃限界を下回る。ドライ条件では、事象発生の約7時間後から約23時間後までの間、ドライウェルにおける酸素濃度が可燃限界である5vol%を上回る。この間、ウェット条件では、格納容器下部への溶融炉心落下に伴う水蒸気発生によって、ドライウェルに存在する非凝縮性ガスが水蒸気とともにサブ</p>	<p>水が十分存在するため、ベースマットに有意な侵食は発生せず、評価項目となるパラメータに与える影響は小さいことを確認した。</p> <p>(添付資料7.2.1.1.19)</p>	<p>【高浜】 評価方針の相違 ・泊は個別解析のため不確かさの影響評価の対象外（大飯と同様）</p>

泊発電所3号炉 有効性評価 比較表

灰色：女川2号炉の記載のうち、BWR
固有の設備や対応手段であり、泊3
号炉と比較対象とならない記載内容

赤字：設備、運用又は体制の相違（設計方針の相違）
青字：記載箇所又は記載内容の相違（記載方針の相違）
緑字：記載表現、設備名称の相違（実質的な相違なし）

7.2.5 溶融炉心・コンクリート相互作用

大飯発電所3／4号炉	高浜発電所3／4号炉	女川原子力発電所2号炉	泊発電所3号炉	相違理由
		<p>レッショングレンバに送り込まれ、供給される水蒸気でドライウェル内が満たされるため、ドライウェル内のほぼ100%が水蒸気となってい。そのため、この間のドライ条件でのドライウェル内の気体組成は、ほぼ水の放射線分解によって生じる水素及び酸素の割合となり、そのウェット条件での酸素濃度は1vol%未満（約0.004vol%）である。また、ドライウェル内の非凝縮性ガス（水素、酸素及び窒素）の分圧の和は大気圧よりも低く、0.01MPa[abs]未満（水素及び酸素の分圧の和は0.01MPa[abs]未満）である。この間のサブレッションチャンバ内のウェット条件での水蒸気の濃度は約8.5vol%であり、サブレーションチャンバ内の全圧が0.56MPa[abs]以上であることから、非凝縮性ガス（水素、酸素及び窒素）の分圧は少なくとも0.51MPa[abs]以上である。このため、仮にドライウェル内の水蒸気が凝縮してドライウェル内の圧力が低下し、相対的に水素濃度及び酸素濃度が上昇しても、ドライウェル内の水素濃度及び酸素濃度が可燃限界を上回る前に、サブレーションチャンバから酸素濃度が5.0vol%未満の気体が流入する。このため、この間においてドライウェルの酸素濃度が現実に可燃限界である5vol%を上回ることはない。事象発生の約23時間後以降は、ドライ条件を仮定しても酸素濃度は5.0vol%未満で推移し、事象発生から7日後の酸素濃度はド</p>		

泊発電所3号炉 有効性評価 比較表

灰色：女川2号炉の記載のうち、BWR固有の設備や対応手段であり、泊3号炉と比較対象とならない記載内容

赤字：設備、運用又は体制の相違（設計方針の相違）
青字：記載箇所又は記載内容の相違（記載方針の相違）
緑字：記載表現、設備名称の相違（実質的な相違なし）

7.2.5 溶融炉心・コンクリート相互作用

大飯発電所3／4号炉	高浜発電所3／4号炉	女川原子力発電所2号炉	泊発電所3号炉	相違理由
<p>b. 操作条件</p> <p>操作条件の不確かさとして、解析コード及び解析条件の不確かさが運転員等操作時間に与える影響、並びに解析上の操作開始時間と実際に見込まれる操作開始時間等の操作時間の変動を考慮して、要員の配置による他の操作に与える影響及び評価項目となるパラメータに与える影響を評価する。</p> <p>(a) 要員の配置による他の操作に与える影響 本評価事故シーケンスの要員の配置による他の操作に与える影響については、「3.1.1 格納容器過圧破損」と同様である。</p>	<p>b. 操作条件</p> <p>操作条件の不確かさとして、解析コード及び解析条件の不確かさが運転員等操作時間に与える影響、並びに解析上の操作開始時間と実際に見込まれる操作開始時間等の操作時間の変動を考慮して、要員の配置による他の操作に与える影響及び評価項目となるパラメータに与える影響を評価する。</p> <p>(a) 要員の配置による他の操作に与える影響 本評価事故シーケンスの要員の配置による他の操作に与える影響については、「3.1.1 格納容器過圧破損」と同様である。</p>	<p>ライウェルにおいて約2.3vol%，サプレッションチェンバにおいて約3.2vol%である。したがって、格納容器スプレイの誤動作等により水蒸気量が低下しても、可燃限界である5vol%に達することはない。 (添付資料3.5.2, 3.5.3)</p>	<p>b. 操作条件</p> <p>操作条件の不確かさとして、操作の不確かさを「認知」、「要員配置」、「移動」、「操作所要時間」、「他の並列操作有無」及び「操作の確実さ」の6要因に分類し、これらの要因が、運転員等操作時間に与える影響を評価する。また、運転員等操作時間に与える影響が評価項目となるパラメータに与える影響を評価し、評価結果を以下に示す。</p> <p>(a) 運転員等操作時間に与える影響 操作条件の溶融炉心落下前の原子炉格納容器代替スプレイ冷却系（常設）による水張り操作は、解析上の操作時間として原子炉圧力容器下鏡部温度が300°Cに到達した時点を設定している。運転員等操作時間に与える影響として、原子炉圧力容器下鏡部温度が300°Cに到達するまでには事象発生から約2.5時間の時間余裕があり、原子炉格納容器代替スプレイ冷却系（常設）による格納容器下部への注水操作は、原子炉圧力容器下鏡部温度を監視しながら溶融炉心の炉心下部ブレナムへの移行を判断し、水張り操作を実</p>	<p>b. 操作条件</p> <p>操作条件の不確かさとして、操作の不確かさを「認知」、「要員配置」、「移動」、「操作所要時間」、「他の並列操作有無」及び「操作の確実さ」の6要因に分類し、これらの要因が、運転員等操作時間に与える影響を評価する。また、運転員等操作時間に与える影響が評価項目となるパラメータに与える影響を評価し、評価結果を以下に示す。</p> <p>(a) 運転員等操作時間に与える影響 本評価事故シーケンスの運転員等操作時間に与える影響については、「7.2.1.1 格納容器過圧破損」と同様である。</p>

泊発電所 3 号炉 有効性評価 比較表

灰色：女川 2 号炉の記載のうち、BWR
固有の設備や対応手段であり、泊 3
号炉と比較対象とならない記載内容

赤字：設備、運用又は体制の相違（設計方針の相違）
青字：記載箇所又は記載内容の相違（記載方針の相違）
緑字：記載表現、設備名称の相違（実質的な相違なし）

7.2.5 溶融炉心・コンクリート相互作用

大飯発電所 3 / 4 号炉	高浜発電所 3 / 4 号炉	女川原子力発電所 2 号炉	泊発電所 3 号炉	相違理由
		<p>施すため、実態の操作開始時間は 解析上の設定とほぼ同等であり、操 作開始時間に与える影響は小さい ことから、運転員等操作時間に与え る影響も小さい。当該操作は、解析 コード及び解析条件（操作条件を除 く）の不確かさにより操作開始時間 は遅れる可能性があるが、中央制御 室で行う操作であり、他の操作との 重複もないことから、他の操作に与 える影響はない。</p> <p>操作条件の原子炉格納容器下部 注水系（常設）（復水移送ポンプ） による溶融炉心落下後の格納容器 下部への注水操作は、解析上の操作 時間として原子炉圧力容器破損後、 ドライウェル水位が 0.02m まで低 下した時点（事象発生から約 6.2 時 間後）を設定している。運転員等操 作時間に与える影響として、原子炉 圧力容器破損後、ドライウェル水位 が 0.02m に低下するまで事象発生 から約 6.2 時間の時間余裕があり、 また、溶融炉心落下後に格納容器下 部注水が行われなかった場合でも、 溶融炉心落下前に張られた水が蒸 発するまでには約 0.8 時間の時間 余裕がある。溶融炉心落下後の格納 容器下部への注水操作はドライウ エル水位を監視しながらあらかじ め準備が可能であり、実態の操作開 始時間は解析上の設定とほぼ同等 であるため、操作開始時間に与える 影響は小さいことから、運転員等操 作時間に与える影響も小さい。</p> <p>（添付資料 3.5.2）</p>		

泊発電所3号炉 有効性評価 比較表

灰色：女川2号炉の記載のうち、BWR固有の設備や対応手段であり、泊3号炉と比較対象とならない記載内容

赤字：設備、運用又は体制の相違（設計方針の相違）
青字：記載箇所又は記載内容の相違（記載方針の相違）
緑字：記載表現、設備名称の相違（実質的な相違なし）

7.2.5 溶融炉心・コンクリート相互作用

大飯発電所3／4号炉	高浜発電所3／4号炉	女川原子力発電所2号炉	泊発電所3号炉	相違理由
<p>(b) 評価項目となるパラメータに与える影響 炉心損傷を起点とする恒設代替低圧注水ポンプによる代替格納容器スプレイは、炉心崩壊熱を最確値とした場合、解析条件で設定している炉心崩壊熱より小さくなるため、炉心損傷開始が遅くなることで操作開始が遅くなるが、炉心崩壊熱の減少により原子炉容器破損時間も同様に遅くなる。このため、「2.5.3(3) 操作時間余裕の把握」において、事象発生の60分後に代替格納容器スプレイを開始した場合の感度解析により操作時間余裕を確認しており、同程度の遅れに対して評価項目となるパラメータに与える影響は小さい。</p> <p>(3) 操作時間余裕の把握 操作遅れによる影響度合いを把握する観点から、評価項目となるパラメータに対して、対策の有効性が確認できる範囲内の操作時間余裕を評価する。 恒設代替低圧注水ポンプによる代替格納容器スプレイの操作の時間余裕を確認するため、解析上の開始時間は事象発生の約51分後であるのに対し、事象発生の60分後に開始する場合について、感度解析結果を第3.5.9図及び第3.5.10図に示す。その結果、原子炉容器破損時の原子炉下部キャビティ水位は約0.9mであり、コンクリート侵食を防止できていることから、事象発生から60</p>	<p>(b) 評価項目となるパラメータに与える影響 炉心損傷を起点とする恒設代替低圧注水ポンプによる代替格納容器スプレイ操作は、炉心崩壊熱を最確値とした場合、解析条件で設定している炉心崩壊熱より小さくなるため、炉心損傷開始が遅くなることで操作開始が遅くなるが、炉心崩壊熱の減少により原子炉容器破損時間も同様に遅くなる。このため、「(3) 操作時間余裕の把握」において、事象発生の60分後に代替格納容器スプレイを開始した場合の感度解析により操作時間余裕を確認しており、同程度の遅れに対して評価項目となるパラメータに与える影響は小さい。</p> <p>(3) 操作時間余裕の把握 操作遅れによる影響度合いを把握する観点から、評価項目となるパラメータに対して、対策の有効性が確認できる範囲内の操作時間余裕を評価する。 恒設代替低圧注水ポンプによる代替格納容器スプレイの操作の時間余裕を確認するため、解析上の開始時間は事象発生の約49分後であるのに対し、事象発生の60分後に開始する場合について、感度解析結果を第3.5.3.7図及び第3.5.3.8図に示す。その結果、原子炉容器破損時の原子炉下部キャビティ水位は約1.0mであり、コンクリート侵食を防止できていることから、60分以上の</p>	<p>(b) 評価項目となるパラメータに与える影響 操作条件の溶融炉心落下前の原子炉格納容器代替スプレイ冷却系（常設）による水張り操作は、運転員等操作時間に与える影響として、実態の操作開始時間は解析上の設定とほぼ同等であることから、評価項目となるパラメータに与える影響は小さい。 操作条件の溶融炉心落下後の格納容器下部への原子炉格納容器下部注水系（常設）（復水移送ポンプ）による注水操作は、運転員等操作時間に与える影響として、実態の操作開始時間は解析上の設定とほぼ同等であることから、評価項目となるパラメータに与える影響は小さい。 (添付資料3.5.2)</p> <p>(3) 操作時間余裕の把握 操作開始時間の遅れによる影響度合いを把握する観点から、評価項目となるパラメータに対して、対策の有効性が確認できる範囲内の操作時間余裕を確認し、その結果を以下に示す。 操作条件の溶融炉心落下前の原子炉格納容器代替スプレイ冷却系（常設）による水張り操作については、原子炉圧力容器下鏡部温度が300°Cに到達するまでに事象発生から約2.5時間の時間余裕があり、格納容器下部注水操作は、原子炉圧力容器下鏡部温度の上昇傾向を監視しながらあらかじめ準備が可能であり、操作が遅れる可能性は小さい。また、原子炉圧力容器下鏡部温度300°C到達時点</p>	<p>(b) 評価項目となるパラメータに与える影響 操作条件の炉心損傷を起点とする代替格納容器スプレイポンプによる代替格納容器スプレイ操作は、運転員等操作時間に与える影響として、炉心崩壊熱を最確条件とした場合、解析条件で設定している炉心崩壊熱より小さくなるため、炉心損傷開始が遅くなることで操作開始が遅くなるが、炉心崩壊熱の減少により原子炉容器破損時間が遅くなる。このため、「2.5.3(3) 操作時間余裕の把握」において、事象発生の60分後に代替格納容器スプレイを開始した場合の感度解析により操作時間余裕を確認しており、同程度の遅れに対して評価項目となるパラメータに与える影響は小さい。</p> <p>(3) 操作時間余裕の把握 操作開始時間の遅れによる影響度合いを把握する観点から、評価項目となるパラメータに対して、対策の有効性が確認できる範囲内の操作時間余裕を確認し、その結果を以下に示す。 操作条件の代替格納容器スプレイポンプによる代替格納容器スプレイの操作の時間余裕を確認するため、解析上の開始時間は事象発生の約49分後であるのに対し、事象発生の60分後に開始する場合について、感度解析結果を第7.2.5.12図から第7.2.5.14図に示す。その結果、原子炉容器破損時の原子炉下部キャビティ水位は約1.4mであり、コンクリート侵食を防止できていること</p>	<p>【大飯、高浜】記載表現の相違（女川実績の反映）</p> <p>【高浜】記載表現の相違</p> <p>【大飯、高浜】解析結果の相違</p> <p>【高浜】</p>

泊発電所3号炉 有効性評価 比較表

灰色：女川2号炉の記載のうち、BWR固有の設備や対応手段であり、泊3号炉と比較対象とならない記載内容

赤字：設備、運用又は体制の相違（設計方針の相違）
青字：記載箇所又は記載内容の相違（記載方針の相違）
緑字：記載表現、設備名称の相違（実質的な相違なし）

7.2.5 溶融炉心・コンクリート相互作用

大飯発電所3／4号炉	高浜発電所3／4号炉	女川原子力発電所2号炉	泊発電所3号炉	相違理由
<p>分以上の操作時間余裕があることを確認した。 (添付資料 3.1.1.21)</p>	<p>操作時間余裕があることを確認した。 (添付資料 3.1.1.21)</p>	<p>での中央制御室における格納容器下部への注水操作の操作時間は約10分間である。原子炉圧力容器破損までに格納容器下部に3.67m（ドライウェル水位0.02m）の水位が形成されれば評価項目を満足する結果となり、格納容器下部に3.67mの水位を形成するまで、原子炉格納容器代替スプレイ冷却系（常設）にて約1.2時間で注水可能であり、格納容器下部注水を事象発生から約2.5時間後に開始すると、事象発生から約3.7時間後に水位形成可能である。原子炉圧力容器破損までの時間は約4.3時間後であることから、格納容器下部への注水操作は操作遅れに対して0.6時間程度の時間余裕がある。</p> <p>操作条件の溶融炉心落下後の格納容器下部への原子炉格納容器下部注水系（常設）（復水移送ポンプ）による注水操作については、原子炉圧力容器破損後、ドライウェル水位が0.02mに低下するまでの時間は事象発生から約6.2時間あり、また、溶融炉心落下後に格納容器下部注水が行われなかった場合でも、溶融炉心落下前に張られた水が溶融炉心の崩壊熱及びジルコニウム－水反応による発熱により蒸発するまでには約0.8時間の時間余裕がある。</p>	<p>から、事象発生から60分以上の時間余裕がある。 (添付資料7.2.1.1.21)</p>	記載表現の相違
<p>（4）まとめ 解析コード及び解析条件の不確かさの影響評価の範囲として、運転員等操作時間に与える影響、評価項目となるパラメータに与える影響及び要員の配置による他の操作に与える影響を確認した。その結果、炉心損傷後の原子炉格納容器における原子炉下部キャビティ床面で</p>	<p>（4）まとめ 解析コード及び解析条件の不確かさの影響評価の範囲として、運転員等操作時間に与える影響、評価項目となるパラメータに与える影響及び要員の配置による他の操作に与える影響を確認した。その結果、炉心損傷後の原子炉格納容器における原子炉下部キャビティ床面で</p>	<p>（4）まとめ 解析コード及び解析条件の不確かさの影響評価の範囲として、運転員等操作時間に与える影響、評価項目となるパラメータに与える影響及び操作時間余裕を確認した。その結果、解析コード及び解析条件の不確かさが運転員等操作時間に与える影響等を考慮した場合にお</p>	<p>（4）まとめ 解析コード及び解析条件の不確かさの影響評価の範囲として、運転員等操作時間に与える影響、評価項目となるパラメータに与える影響及び操作時間余裕を確認した。その結果、炉心損傷後の原子炉格納容器における原子炉下部キャビティ床面での溶融炉心の拡がり、溶融</p>	<p>【大飯、高浜】 評価方針の相違（女川実績の反映）</p>

泊発電所3号炉 有効性評価 比較表

灰色：女川2号炉の記載のうち、BWR固有の設備や対応手段であり、泊3号炉と比較対象とならない記載内容

赤字：設備、運用又は体制の相違（設計方針の相違）
青字：記載箇所又は記載内容の相違（記載方針の相違）
緑字：記載表現、設備名称の相違（実質的な相違なし）

7.2.5 溶融炉心・コンクリート相互作用

大飯発電所3／4号炉	高浜発電所3／4号炉	女川原子力発電所2号炉	泊発電所3号炉	相違理由
<p>の溶融炉心の拡がり、溶融炉心と原子炉下部キャビティ水の伝熱の不確かさとして、原子炉下部キャビティ床面での溶融炉心の拡がりを極端に小さくした場合にコンクリート侵食が発生したが、原子炉下部キャビティ床面のコンクリート厚さと比較して侵食深さは十分小さい。なお、本感度解析では解析条件として極端な設定としており、また、溶融炉心は拡がる過程で先端から冷却が進むことや側面コンクリートのギャップにより溶融物の冷却が促進されると考えられることから、実際の侵食はさらに小さく抑えられると考えられる。以上のことから、原子炉格納容器の構造部材の支持機能には影響はない。</p> <p>その他の解析コード及び解析条件の不確かさ、並びにそれらが運転員等操作時間に与える影響を考慮した場合においても、運転員等による恒設代替低圧注水ポンプ及び可搬式代替低圧注水ポンプを用いた代替格納容器スプレイ、並びに格納容器再循環ユニットを用いた格納容器内自然対流冷却により、原子炉下部キャビティに落下した溶融炉心を冷却し、原子炉格納容器雰囲気の冷却及び除熱を行うことにより、評価項目となるパラメータに与える影響は小さいことを確認した。</p> <p>この他、評価項目となるパラメータに対して、対策の有効性が確認できる範囲内において操作時間余裕がある。また、要員の配置による他の操作に与える影響はない。</p> <p>(添付資料 3.5.3、3.5.4)</p>	<p>の溶融炉心の拡がり、溶融炉心と原子炉下部キャビティ水の伝熱の不確かさとして、原子炉下部キャビティ床面での溶融炉心の拡がりを極端に小さくした場合にコンクリート侵食が発生したが、原子炉下部キャビティ床面のコンクリート厚さと比較して侵食深さは十分小さい。なお、本感度解析では解析条件として極端な設定としており、また、溶融炉心は拡がる過程で先端から冷却が進むことや側面コンクリートのギャップにより溶融物の冷却が促進されると考えられることから、実際の侵食はさらに小さく抑えられると考えられる。以上のことから、原子炉格納容器の構造部材の支持機能には影響はない。</p> <p>その他の解析コード及び解析条件の不確かさ、並びにそれらが運転員等操作時間に与える影響を考慮した場合においても、運転員等による恒設代替低圧注水ポンプ及び可搬式代替低圧注水ポンプを用いた代替格納容器スプレイ、並びに格納容器再循環ユニットを用いた格納容器内自然対流冷却により、原子炉下部キャビティに落下した溶融炉心を冷却し、原子炉格納容器雰囲気の冷却及び除熱を行うことにより、評価項目となるパラメータに与える影響は小さいことを確認した。</p> <p>この他、評価項目となるパラメータに対して、対策の有効性が確認できる範囲内において操作時間余裕がある。また、要員の配置による他の操作に与える影響はない。</p> <p>(添付資料 3.5.2)</p>	<p>いても、評価項目となるパラメータに与える影響は小さい。</p> <p>【再掲】</p> <p>解析コード及び解析条件の不確かさの影響評価の範囲として、運転員等操作時間に与える影響、評価項目となるパラメータに与える影響及び操作時間余裕を確認した。その結果、解析コード及び解析条件の不確かさが運転員等操作時間に与える影響等を考慮した場合においても、評価項目となるパラメータに与える影響は小さい。</p> <p>このほか、評価項目となるパラメータに対して、対策の有効性が確認できる範囲内において、操作時間には時間余裕がある。</p>	<p>炉心と原子炉下部キャビティ水の伝熱の不確かさとして、原子炉下部キャビティ床面での溶融炉心の拡がりを極端に小さくした場合にコンクリート侵食が発生したが、原子炉下部キャビティ床面のコンクリート厚さと比較して侵食深さは十分小さい。なお、本感度解析では解析条件として極端な設定としており、また、溶融炉心は拡がる過程で先端から冷却が進むことや壁面コンクリートのギャップにより溶融物の冷却が促進されると考えられることから、実際の侵食はさらに小さく抑えられると考えられる。以上のことから、原子炉格納容器の構造部材の支持機能には影響はない。</p> <p>その他の解析コード及び解析条件の不確かさが運転員等操作時間に与える影響等を考慮した場合においても、運転員等による代替格納容器スプレイポンプを用いた代替格納容器スプレイ及び格納容器再循環ユニットを用いた格納容器内自然対流冷却により、原子炉下部キャビティに落下した溶融炉心を冷却し、原子炉格納容器雰囲気の冷却及び除熱を行うことにより、評価項目となるパラメータに与える影響は小さい。</p> <p>この他、評価項目となるパラメータに対して、対策の有効性が確認できる範囲内において、操作時間には時間余裕がある。</p>	<p>【大飯、高浜】 設計の相違 ・差異理由は前述 どおり（3ページ 参照）</p> <p>【大飯、高浜】 評価方針の相違（女 川実績の反映）</p> <p>(添付資料 7.2.5.2, 7.2.5.3)</p>

泊発電所3号炉 有効性評価 比較表

灰色：女川2号炉の記載のうち、BWR固有の設備や対応手段であり、泊3号炉と比較対象とならない記載内容

赤字：設備、運用又は体制の相違（設計方針の相違）
青字：記載箇所又は記載内容の相違（記載方針の相違）
緑字：記載表現、設備名称の相違（実質的な相違なし）

7.2.5 溶融炉心・コンクリート相互作用

大飯発電所3／4号炉	高浜発電所3／4号炉	女川原子力発電所2号炉	泊発電所3号炉	相違理由
<p>3.5.4 必要な要員及び資源の評価</p> <p>(1) 必要な要員の評価</p> <p>格納容器破損モード「溶融炉心・コンクリート相互作用」において、3号炉及び4号炉同時の重大事故等対策時に必要な要員は、「3.1.1 格納容器過圧破損」と同様である。</p>	<p>3.5.4 必要な要員及び資源の評価</p> <p>(1) 必要な要員の評価</p> <p>格納容器破損モード「溶融炉心・コンクリート相互作用」において、3号炉及び4号炉同時の重大事故等対策に必要な要員の評価については、「3.1.1 格納容器過圧破損」と同様である。</p>	<p>3.5.4 必要な要員及び資源の評価</p> <p>本評価事故シーケンスは、「3.2 高圧溶融物放出／格納容器雰囲気直接加熱」と同じであることから、必要な要員及び資源の評価は「3.2.4 必要な要員及び資源の評価」と同じである。</p>	<p>7.2.5.4 必要な要員及び資源の評価</p> <p>(1) 必要な要員の評価</p> <p>格納容器破損モード「溶融炉心・コンクリート相互作用」において、重大事故等対策時に必要な要員は、「7.2.1.1 格納容器過圧破損」と同様である。</p>	<p>【大飯、高浜】 設計の相違 ・泊はシングルプラント評価のためツインプラントでの評価である大飯、高浜とは評価条件が異なる（女川と同様）</p>
<p>(2) 必要な資源の評価</p> <p>格納容器破損モード「溶融炉心・コンクリート相互作用」において、必要な水源、燃料及び電源は、「3.1.1 格納容器過圧破損」と同様である。</p>	<p>(2) 必要な資源の評価</p> <p>格納容器破損モード「溶融炉心・コンクリート相互作用」において、必要な水源、燃料及び電源は、「3.1.1 格納容器過圧破損」と同様である。</p>		<p>(2) 必要な資源の評価</p> <p>格納容器破損モード「溶融炉心・コンクリート相互作用」において、必要な水源、燃料及び電源は、「7.2.1.1 格納容器過圧破損」と同様である。</p>	

泊発電所3号炉 有効性評価 比較表

灰色：女川2号炉の記載のうち、BWR固有の設備や対応手段であり、泊3号炉と比較対象とならない記載内容

赤字：設備、運用又は体制の相違（設計方針の相違）
青字：記載箇所又は記載内容の相違（記載方針の相違）
緑字：記載表現、設備名称の相違（実質的な相違なし）

7.2.5 溶融炉心・コンクリート相互作用

大飯発電所3／4号炉	高浜発電所3／4号炉	女川原子力発電所2号炉	泊発電所3号炉	相違理由
<p>3.5.5 結論</p> <p>格納容器破損モード「溶融炉心・コンクリート相互作用」では、LOCA、過渡事象又は全交流動力電源喪失時に格納容器スプレイ注入機能、ECCS再循環機能等の安全機能が重畳して、原子炉容器内の溶融炉心が原子炉格納容器内の床上へ流出する。その結果、溶融炉心からの崩壊熱や化学反応によって、原子炉下部キャビティのコンクリートが侵食され、原子炉格納容器の構造部材の支持機能の喪失に至ることが特徴である。</p> <p>格納容器破損モード「溶融炉心・コンクリート相互作用」に対する格納容器破損防止対策としては、恒設代替低圧注水ポンプを用いた代替格納容器スプレイにより原子炉格納容器内部へ注水する対策を整備している。</p> <p>格納容器破損モード「溶融炉心・コンクリート相互作用」の評価事故シーケンス「大破断LOCA時に高圧注入機能、低圧注入機能及び格納容器スプレイ注入機能が喪失する事故」に全交流動力電源喪失及び原子炉補機冷却機能喪失の重畳を考慮して有効性評価を行った。</p> <p>上記の場合においても、運転員等操作である恒設代替低圧注水ポンプ及び可搬式代替低圧注水ポンプによる代替格納容器スプレイ、並びに格納容器再循環ユニットによる格納容器内自然対流冷却を実施することにより、原子炉下部キャビティに落下した溶融炉心の冷却、並びに原子炉格納容器雰囲気の冷却及び除熱が可能である。</p> <p>その結果、ベースマットに有意な侵食は発生せず、評価項目を満足していることを</p>	<p>3.5.5 結論</p> <p>格納容器破損モード「溶融炉心・コンクリート相互作用」では、LOCA、過渡事象又は全交流動力電源喪失時に格納容器スプレイ機能、ECCS再循環機能等の安全機能が重畳して、原子炉容器内の溶融炉心が原子炉格納容器内の床上へ流出する。その結果、溶融炉心からの崩壊熱や化学反応によって、原子炉格納容器床のコンクリートが侵食され、原子炉格納容器の構造部材の支持機能の喪失に至ることが特徴である。</p> <p>格納容器破損モード「溶融炉心・コンクリート相互作用」に対する格納容器破損防止対策としては、恒設代替低圧注水ポンプを用いた代替格納容器スプレイによって原子炉格納容器内部へ注水する対策を整備している。</p> <p>格納容器破損モード「溶融炉心・コンクリート相互作用」の評価事故シーケンス「大破断LOCA時に低圧注入機能、高圧注入機能及び格納容器スプレイ注入機能が喪失する事故」に全交流動力電源喪失及び原子炉補機冷却機能喪失の重畳を考慮して有効性評価を行った。</p> <p>上記の場合においても、原子炉格納容器代替スプレイ冷却系（常設）及び原子炉格納容器下部注水系（常設）（復水移送ポンプ）による格納容器下部注水手段を整備している。</p> <p>格納容器破損モード「溶融炉心・コンクリート相互作用」の評価事故シーケンス「過渡事象+高圧注水失敗+低圧ECCS失敗+損傷炉心冷却失敗（+デブリ冷却失敗）」について、有効性評価を行った。</p> <p>上記の場合においても、原子炉格納容器代替スプレイ冷却系（常設）及び原子炉格納容器下部注水系（常設）（復水移送ポンプ）による格納容器下部注水を実施することにより、溶融炉心の冷却が可能である。</p> <p>その結果、溶融炉心・コンクリート相互作用によってコンクリート侵食量は格納</p>	<p>3.5.5 結論</p> <p>格納容器破損モード「溶融炉心・コンクリート相互作用」では、運転時の異常な過渡変化、原子炉冷却材喪失事故（LOCA）又は全交流動力電源喪失が発生するとともに、ECCS等の安全機能の喪失が重畳する。このため、原子炉圧力容器内の溶融炉心が格納容器内へ流れ出し、溶融炉心からの崩壊熱や化学反応によって、格納容器下部のコンクリートが侵食され、格納容器の構造部材の支持機能を喪失し、格納容器の破損に至ることが特徴である。</p> <p>格納容器破損モード「溶融炉心・コンクリート相互作用」に対する格納容器破損防止対策としては、原子炉格納容器代替スプレイ冷却系（常設）及び原子炉格納容器下部注水系（常設）（復水移送ポンプ）による格納容器下部注水手段を整備している。</p> <p>格納容器破損モード「溶融炉心・コンクリート相互作用」の評価事故シーケンス「過渡事象+高圧注水失敗+低圧ECCS失敗+損傷炉心冷却失敗（+デブリ冷却失敗）」について、有効性評価を行った。</p> <p>上記の場合においても、運転員等操作である代替格納容器スプレイポンプによる代替格納容器スプレイ及び格納容器再循環ユニットによる格納容器内自然対流冷却を実施することにより、原子炉下部キャビティに落下した溶融炉心の冷却、並びに原子炉格納容器雰囲気の冷却及び除熱が可能である。</p> <p>その結果、溶融炉心・コンクリート相互作用によってベースマット侵食深さは原</p>	<p>7.2.5.5 結論</p> <p>格納容器破損モード「溶融炉心・コンクリート相互作用」では、運転時の異常な過渡変化、原子炉冷却材喪失事故（LOCA）又は全交流動力電源喪失が発生するとともに、格納容器スプレイ注入機能、ECCS再循環機能等の安全機能の喪失が重畳する。このため、原子炉容器内の溶融炉心が原子炉格納容器内へ流れ出し、溶融炉心からの崩壊熱や化学反応によって、原子炉下部キャビティのコンクリートが侵食され、原子炉格納容器の構造部材の支持機能を喪失し、原子炉格納容器の破損に至ることが特徴である。</p> <p>格納容器破損モード「溶融炉心・コンクリート相互作用」に対する格納容器破損防止対策としては、代替格納容器スプレイポンプを用いた代替格納容器スプレイにより原子炉格納容器内部へ注水する対策を整備している。</p> <p>格納容器破損モード「溶融炉心・コンクリート相互作用」の評価事故シーケンス「大破断LOCA時に低圧注入機能、高圧注入機能及び格納容器スプレイ注入機能が喪失する事故」に全交流動力電源喪失及び原子炉補機冷却機能喪失の重畳を考慮して有効性評価を行った。</p> <p>上記の場合においても、運転員等操作である代替格納容器スプレイポンプによる代替格納容器スプレイ及び格納容器再循環ユニットによる格納容器内自然対流冷却を実施することにより、原子炉下部キャビティに落下した溶融炉心の冷却、並びに原子炉格納容器雰囲気の冷却及び除熱が可能である。</p> <p>その結果、溶融炉心・コンクリート相互作用によってベースマット侵食深さは原</p>	<p>【大飯、高浜】記載表現の相違（女川実績の反映）</p> <p>【大飯、高浜】設計方針の相違（設計方針の相違）</p> <p>・差異理由は前述どおり（3ページ参照）</p> <p>【大飯、高浜】記載方針の相違（女川実績の反映）</p>

泊発電所3号炉 有効性評価 比較表

灰色：女川2号炉の記載のうち、BWR固有の設備や対応手段であり、泊3号炉と比較対象とならない記載内容

赤字：設備、運用又は体制の相違（設計方針の相違）
青字：記載箇所又は記載内容の相違（記載方針の相違）
緑字：記載表現、設備名称の相違（実質的な相違なし）

7.2.5 溶融炉心・コンクリート相互作用

大飯発電所3／4号炉	高浜発電所3／4号炉	女川原子力発電所2号炉	泊発電所3号炉	相違理由
<p>確認した。長期的には、原子炉下部キャビティに落下した溶融炉心及び原子炉格納容器の安定状態を維持できる。</p> <p>また、原子炉格納容器圧力バウンダリにかかる圧力及び温度、放射性物質の総放出量、原子炉容器破損時の1次冷却材圧力、水素の蓄積を想定した場合の原子炉格納容器バウンダリにかかる圧力については「3.1.1 格納容器過圧破損」、原子炉容器外の溶融燃料－冷却材相互作用による熱的・機械的荷重については「3.3 原子炉圧力容器外の溶融燃料－冷却材相互作用」、原子炉格納容器内の水素濃度については「3.4 水素燃焼」において、それぞれ確認した。</p> <p>解析コードの不確かさのうち、原子炉下部キャビティ床面での溶融炉心の拡がりを極端に小さくした場合にコンクリート侵食が発生したが、原子炉下部キャビティ床面のコンクリート厚さと比較して侵食深さは十分小さい。なお、本感度解析では解析条件として極端な設定としており、また、溶融炉心は拡がる過程で先端から冷却が進むことや側面コンクリートのギャップにより溶融物の冷却が促進されると考えられることから、実際の侵食はさらに小さく抑えられると考えられる。以上のことから、原子炉格納容器の構造部材の支持機能には影響はない。</p> <p>その他の解析コード及び解析条件の不確かさ、並びにそれらが運転員等操作に与える影響を考慮しても、評価項目となるパラメータに与える影響は小さいことを確認した。また、対策の有効性が確認できる範囲内において、操作が遅れた場合でも操作時間余裕があることを確認した。</p>	<p>確認した。長期的には、原子炉下部キャビティに落下した溶融炉心及び原子炉格納容器の安定状態を維持できる。</p> <p>また、原子炉格納容器圧力バウンダリにかかる圧力及び温度、放射性物質の総放出量、原子炉容器破損時の1次冷却材圧力、水素の蓄積を想定した場合の原子炉格納容器バウンダリにかかる圧力については「3.1.1 格納容器過圧破損」、原子炉容器外の溶融燃料－冷却材相互作用による熱的・機械的荷重については「3.3 原子炉圧力容器外の溶融燃料－冷却材相互作用」、原子炉格納容器内の水素濃度については「3.4 水素燃焼」において、それぞれ確認した。</p> <p>解析コードの不確かさのうち、原子炉下部キャビティ床面での溶融炉心の拡がりを極端に小さくした場合にコンクリート侵食が発生したが、原子炉下部キャビティ床面のコンクリート厚さと比較して侵食深さは十分小さい。なお、本感度解析では解析条件として極端な設定としており、また、溶融炉心は拡がる過程で先端から冷却が進むことや側面コンクリートのギャップにより溶融物の冷却が促進されると考えられることから、実際の侵食はさらに小さく抑えられると考えられる。以上のことから、原子炉格納容器の構造部材の支持機能には影響はない。</p> <p>その他の解析コード及び解析条件の不確かさ、並びにそれらが運転員等操作に与える影響を考慮しても、評価項目となるパラメータに与える影響は小さいことを確認した。また、対策の有効性が確認できる範囲内において、操作が遅れた場合でも操作時間余裕があることを確認した。</p>	<p>容器下部の床面で約2cm、壁面で約2cmに抑えられ、原子炉圧力容器の支持機能を維持できる。また、安定状態を維持できる。 (添付資料 3.5.1)</p>	<p>子下部キャビティの床面で約3mm、壁面で約3mmに抑えられ、原子炉格納容器の構造部材の支持機能を維持できる。また、安定状態を維持できる。</p> <p>原子炉格納容器圧力バウンダリにかかる圧力及び温度、放射性物質の総放出量、原子炉容器破損時の1次冷却材圧力、水素の蓄積を想定した場合の原子炉格納容器バウンダリにかかる圧力については「7.2.1.1 格納容器過圧破損」、原子炉容器外の溶融燃料－冷却材相互作用による熱的・機械的荷重については「7.2.3 原子炉圧力容器外の溶融燃料－冷却材相互作用」、原子炉格納容器内の水素濃度については「7.2.4 水素燃焼」において、それぞれ確認した。</p> <p>解析コードの不確かさのうち、原子炉下部キャビティ床面での溶融炉心の拡がりを極端に小さくした場合にコンクリート侵食が発生したが、原子炉下部キャビティ床面のコンクリート厚さと比較して侵食深さは十分小さい。なお、本感度解析では解析条件として極端な設定としており、また、溶融炉心は拡がる過程で先端から冷却が進むことや側面コンクリートのギャップにより溶融物の冷却が促進されると考えられることから、実際の侵食はさらに小さく抑えられると考えられる。以上のことから、原子炉格納容器の構造部材の支持機能には影響はない。</p> <p>その他の解析コード及び解析条件の不確かさについて確認した結果、運転員等操作に与える影響及び評価項目となるパラメータに与える影響は小さい。また、対策の有効性が確認できる範囲内において、操作時間余裕について確認した結果、操作が遅れた場合でも一定の余裕がある。</p>	<p>実績の反映</p> <p>【大飯・高岡】 記載表現の相違（女川） 実績の反映</p>

泊発電所3号炉 有効性評価 比較表

灰色：女川2号炉の記載のうち、BWR固有の設備や対応手段であり、泊3号炉と比較対象とならない記載内容

赤字：設備、運用又は体制の相違（設計方針の相違）
青字：記載箇所又は記載内容の相違（記載方針の相違）
緑字：記載表現、設備名称の相違（実質的な相違なし）

7.2.5 溶融炉心・コンクリート相互作用

大飯発電所3／4号炉	高浜発電所3／4号炉	女川原子力発電所2号炉	泊発電所3号炉	相違理由
<p>重大事故等対策要員は、本格納容器破損モードにおける重大事故等対策の実施に必要な要員を満足している。また、必要な水源、燃料及び電源については、全交流動力電源喪失時においても供給可能である。</p> <p>以上のことから、格納容器破損モード「溶融炉心・コンクリート相互作用」において、恒設代替低圧注水ポンプ及び可搬式代替低圧注水ポンプを用いた代替格納容器スプレイ、並びに格納容器再循環ユニットを用いた格納容器内自然対流冷却による格納容器破損防止対策は、選定した評価事故シーケンスに対して有効であり、格納容器破損モード「溶融炉心・コンクリート相互作用」に対して有効である。</p>	<p>重大事故等対策要員は、本格納容器破損モードにおける重大事故等対策の実施に必要な要員を満足している。また、必要な水源、燃料及び電源については、全交流動力電源喪失時においても供給可能である。</p> <p>以上のことから、格納容器破損モード「溶融炉心・コンクリート相互作用」において、恒設代替低圧注水ポンプ及び可搬式代替低圧注水ポンプを用いた代替格納容器スプレイ、並びに格納容器再循環ユニットを用いた格納容器内自然対流冷却による格納容器破損防止対策は、選定した評価事故シーケンスに対して有効であることが確認でき、格納容器破損モード「溶融炉心・コンクリート相互作用」に対して有効である。</p>	<p>重大事故等対策時に必要な要員は、中央制御室の運転員、発電所対策本部要員及び重大事故等対応要員にて確保可能である。また、必要な水源、燃料及び電源を供給可能である</p> <p>以上のことから、原子炉格納容器代替スプレイ冷却系（常設）及び原子炉格納容器下部注水系（常設）（復水移送ポンプ）による格納容器下部への注水の格納容器破損防止対策は、選定した評価事故シーケンスに対して有効であることが確認でき、格納容器破損モード「溶融炉心・コンクリート相互作用」に対して有効である。</p>	<p>重大事故等対策時に必要な要員は、中央制御室の運転員、災害対策本部要員、災害対策要員及び災害対策要員（支援）にて確保可能である。また、必要な水源、燃料及び電源を供給可能である。</p> <p>以上のことから、代替格納容器スプレイポンプを用いた代替格納容器スプレイ及び格納容器再循環ユニットを用いた格納容器内自然対流冷却の格納容器破損防止対策は、選定した評価事故シーケンスに対して有効であることが確認でき、格納容器破損モード「溶融炉心・コンクリート相互作用」に対して有効である。</p>	<p>【大飯、高浜】記載表現の相違（女川実績の反映）</p> <p>【大飯、高浜】記載方針の相違 ・泊では文章内で重複する表現のため記載してない（伊方と同じ様）</p> <p>【大飯、高浜】設計の相違 ・差異理由は前述のとおり（3ページ参照）</p> <p>【大飯、高浜】記載表現の相違（女川実績の反映）</p>

泊発電所 3号炉 有効性評価 比較表

赤字	設備、運用又は体制の相違（設計方針の相違）
青字	記載箇所又は記載内容の相違（記載方針の相違）
緑字	記載表現、設備名称の相違（実質的な相違なし）

7.2.5 溶融炉心・コンクリート相互作用

泊発電所3号炉 有効性評価 比較表

赤字：設備、運用又は体制の相違（設計方針の相違）
青字：記載箇所又は記載内容の相違（記載方針の相違）
緑字：記載表現、設備名称の相違（実質的な相違なし）

7.2.5 溶融炉心・コンクリート相互作用

(大破壊LOCA時に高圧注入機能、低圧注入機能及び格納容器スプレイ注入機能が喪失する事故) (2／4)

項目	主要解析条件	条件設定の考え方
経因事象	大破壊LOCA、 破裂口後：完全拘束断 裂	原子炉格納容器内へ早期に炉心からの蒸気が漏れられた 場合、事故直後は早く、炉心周囲は周囲の空気温度などとの差 が大きい。また、炉心周囲は周囲の空気温度などとの差 が大きい。また、炉心周囲は周囲の空気温度などとの差 が大きい。
安全機能の喪失 に対する仮定	高圧注入機能、 低圧注入機能 ・外部電源断り、及び 格納容器スプレイ注入機能喪失 ・外部電源喪失、 ・原子炉周囲能動的水素発生装置の運転を考慮。 ・原子炉周囲能動的水素発生装置の運転を考慮。	E.C.S.は格納容器スプレイによる原子炉格納容器内部に噴射され て、所蔵が心より原子炉格納容器自然対流冷却及び格納容器スプレイ注入機能 代替機能装置アレイ及び格納容器自然対流冷却及び格納容器スプレイ注入機能 代替機能装置アレイ及び格納容器自然対流冷却及び格納容器スプレイ注入機能
事故条件	外部電源 水素の発生	「安全機能の喪失に対する仮定」に示すとおり、外置電源なしを想 定。

(大破壊LOCA時に溶融炉心・コンクリート・耐圧容器スプレイ注入機能が喪失する事故) (2／4)

項目	主要解析条件	条件設定の考え方
経因事象	大破壊LOCA、 破裂口後：完全拘束断 裂	原子炉格納容器内へ早期に炉心からの蒸気が漏れられた 場合、事故直後は早く、炉心周囲は周囲の空気温度などとの差 が大きい。
安全機能の喪失 に対する仮定	低圧注入機能、 及び 格納容器スプレイ注入機能喪失 ・外部電源喪失、 ・原子炉周囲能動的水素発生装置の運転を考慮。 ・原子炉周囲能動的水素発生装置の運転を考慮。	E.C.S.は格納容器スプレイによる原子炉格納容器内部に噴射され て、所蔵が心より原子炉格納容器自然対流冷却及び格納容器スプレイ注入機能 代替機能装置アレイ及び格納容器自然対流冷却及び格納容器スプレイ注入機能
事故条件	外部電源 水素の発生	「安全機能の喪失に対する仮定」に示すとおり、外置電源なしを想 定。

(大破壊LOCA時に溶融炉心・コンクリート・耐圧容器スプレイ注入機能が喪失する事故) (2／4)

項目	主要解析条件	条件設定の考え方
経因事象	大破壊LOCA、 破裂口後：完全拘束断 裂	原子炉格納容器内へ早期に炉心からの蒸気が漏れられた 場合、事故直後は早く、炉心周囲は周囲の空気温度などとの差 が大きい。
安全機能の喪失 に対する仮定	低圧注入機能、 格納容器スプレイ注入機能喪失 ・外部電源喪失、 ・原子炉周囲能動的水素発生装置の運転を考慮。 ・原子炉周囲能動的水素発生装置の運転を考慮。	E.C.S.は格納容器スプレイによる原子炉格納容器内部に噴射され て、所蔵が心より原子炉格納容器自然対流冷却及び格納容器スプレイ注入機能 代替機能装置アレイ及び格納容器自然対流冷却及び格納容器スプレイ注入機能
事故条件	外部電源 水素の発生	「安全機能の喪失に対する仮定」に示すとおり、外置電源なしを想 定。

(大破壊LOCA時に溶融炉心・コンクリート・耐圧容器スプレイ注入機能が喪失する事故) (2／4)

項目	主要解析条件	条件設定の考え方
経因事象	大破壊LOCA、 破裂口後：完全拘束断 裂	原子炉格納容器内へ早期に炉心からの蒸気が漏れられた 場合、事故直後は早く、炉心周囲は周囲の空気温度などとの差 が大きい。
安全機能の喪失 に対する仮定	低圧注入機能、 格納容器スプレイ注入機能喪失 ・外部電源喪失、 ・原子炉周囲能動的水素発生装置の運転を考慮。 ・原子炉周囲能動的水素発生装置の運転を考慮。	E.C.S.は格納容器スプレイによる原子炉格納容器内部に噴射され て、所蔵が心より原子炉格納容器自然対流冷却及び格納容器スプレイ注入機能 代替機能装置アレイ及び格納容器自然対流冷却及び格納容器スプレイ注入機能
事故条件	外部電源 水素の発生	「安全機能の喪失に対する仮定」に示すとおり、外置電源なしを想 定。

【大飯、高浜】

設計の相違

- ・泊は個別解析であ
り、設備仕様も異なる
ことから「主要解析条
件」及び「条件設定の
考え方」の記載が一部
異なる

【大飯、高浜】

名称等の相違

泊発電所 3号炉 有効性評価 比較表

赤字	設備、運用又は体制の相違（設計方針の相違）
青字	記載箇所又は記載内容の相違（記載方針の相違）
緑字	記載表現、設備名称の相違（実質的な相違なし）

7.2.5 溶融炉心・コンクリート相互作用

泊発電所 3 号炉 有効性評価 比較表

赤字：設備、運用又は体制の相違（設計方針の相違）
 青字：記載箇所又は記載内容の相違（記載方針の相違）
 緑字：記載表現、設備名称の相違（実質的な相違なし）

7.2.5 溶融炉心・コンクリート相互作用

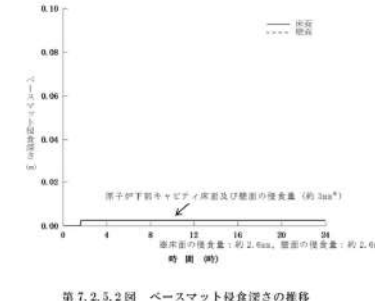
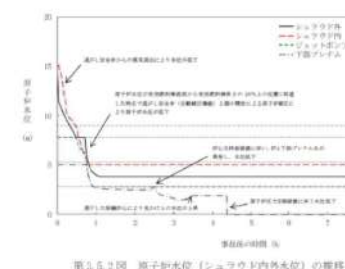
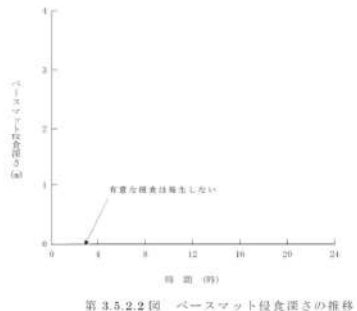
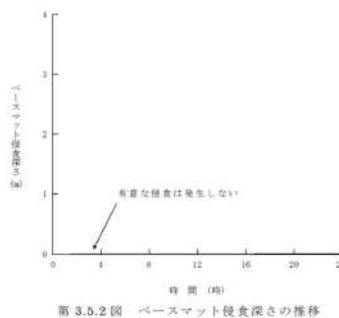
大飯発電所 3 / 4 号炉	高浜発電所 3 / 4 号炉	女川原子力発電所 2 号炉	泊発電所 3 号炉	相違理由																																			
<p>第 3.5.1 表 「溶融炉心・コンクリート相互作用」の主要解析条件 (大破断 LOCA 時に高压注入機能、低圧注入機能及び格納容器スプレイ注入機能が喪失する事故) (4 / 4)</p> <table border="1"> <thead> <tr> <th>項目</th><th>主要解析条件</th><th>条件設定の考え方</th></tr> </thead> <tbody> <tr> <td>代替低圧注入ポンプ作動 操作等による事件</td><td>炉心溶融開始の 30 分後 運転員等操作時間と考慮して設定。</td><td></td></tr> <tr> <td>代替低圧注入ポンプ停止</td><td>事象発生の 24 時間後 格納容器内自然対流冷却開始に伴い停止。</td><td></td></tr> <tr> <td>格納容器再灌漿ユニットによる格納容器内自然対流冷却開始</td><td>事象発生の 24 時間後 運転員等操作時間と考慮して設定。</td><td></td></tr> </tbody> </table>	項目	主要解析条件	条件設定の考え方	代替低圧注入ポンプ作動 操作等による事件	炉心溶融開始の 30 分後 運転員等操作時間と考慮して設定。		代替低圧注入ポンプ停止	事象発生の 24 時間後 格納容器内自然対流冷却開始に伴い停止。		格納容器再灌漿ユニットによる格納容器内自然対流冷却開始	事象発生の 24 時間後 運転員等操作時間と考慮して設定。		<p>第 3.5.2.1 表 「溶融炉心・コンクリート相互作用」の主要解析条件 (大破断 LOCA 時に低圧注入機能、高压注入機能及び格納容器スプレイ注入機能が喪失する事故) (4 / 4)</p> <table border="1"> <thead> <tr> <th>項目</th><th>主要解析条件</th><th>条件設定の考え方</th></tr> </thead> <tbody> <tr> <td>代替低圧注入ポンプ作動 操作等による事件</td><td>炉心溶融開始の 30 分後 運転員等操作時間として設定。</td><td></td></tr> <tr> <td>代替低圧注入ポンプ停止</td><td>事象発生の 24 時間後 格納容器内自然対流冷却開始に伴い停止。</td><td></td></tr> <tr> <td>格納容器再灌漿ユニットによる格納容器内自然対流冷却開始</td><td>事象発生の 24 時間後 要員の召集、運転操作等を考慮して設定。</td><td></td></tr> </tbody> </table>	項目	主要解析条件	条件設定の考え方	代替低圧注入ポンプ作動 操作等による事件	炉心溶融開始の 30 分後 運転員等操作時間として設定。		代替低圧注入ポンプ停止	事象発生の 24 時間後 格納容器内自然対流冷却開始に伴い停止。		格納容器再灌漿ユニットによる格納容器内自然対流冷却開始	事象発生の 24 時間後 要員の召集、運転操作等を考慮して設定。		<p>第 7.2.5.1 表 「溶融炉心・コンクリート相互作用」の主要解析条件 (大破断 LOCA 時に低圧注入機能、高压注入機能及び格納容器スプレイ注入機能が喪失する事故) (4 / 4)</p> <table border="1"> <thead> <tr> <th>項目</th><th>主要解析条件</th><th>条件設定の考え方</th></tr> </thead> <tbody> <tr> <td>代替格納容器スプレイポンプによる代替格納容器スプレイの開始 操作等による事件</td><td>炉心溶融開始の 30 分後 運転員等操作時間と考慮して設定。</td><td></td></tr> <tr> <td>代替格納容器スプレイポンプによる代替格納容器スプレイの停止 操作等による事件</td><td>事象発生の 24 時間後 格納容器内自然対流冷却開始に伴い停止。</td><td></td></tr> <tr> <td>格納容器再灌漿ユニットによる格納容器内自然対流冷却開始</td><td>事象発生の 24 時間後 運転員等操作時間と考慮して設定。</td><td></td></tr> </tbody> </table>	項目	主要解析条件	条件設定の考え方	代替格納容器スプレイポンプによる代替格納容器スプレイの開始 操作等による事件	炉心溶融開始の 30 分後 運転員等操作時間と考慮して設定。		代替格納容器スプレイポンプによる代替格納容器スプレイの停止 操作等による事件	事象発生の 24 時間後 格納容器内自然対流冷却開始に伴い停止。		格納容器再灌漿ユニットによる格納容器内自然対流冷却開始	事象発生の 24 時間後 運転員等操作時間と考慮して設定。		<p>【大飯、高浜】 設計の相違 ・泊は個別解析であり、設備仕様も異なることから「主要解析条件」及び「条件設定の考え方」の記載が一部異なる 【大飯、高浜】 名称等の相違</p>
項目	主要解析条件	条件設定の考え方																																					
代替低圧注入ポンプ作動 操作等による事件	炉心溶融開始の 30 分後 運転員等操作時間と考慮して設定。																																						
代替低圧注入ポンプ停止	事象発生の 24 時間後 格納容器内自然対流冷却開始に伴い停止。																																						
格納容器再灌漿ユニットによる格納容器内自然対流冷却開始	事象発生の 24 時間後 運転員等操作時間と考慮して設定。																																						
項目	主要解析条件	条件設定の考え方																																					
代替低圧注入ポンプ作動 操作等による事件	炉心溶融開始の 30 分後 運転員等操作時間として設定。																																						
代替低圧注入ポンプ停止	事象発生の 24 時間後 格納容器内自然対流冷却開始に伴い停止。																																						
格納容器再灌漿ユニットによる格納容器内自然対流冷却開始	事象発生の 24 時間後 要員の召集、運転操作等を考慮して設定。																																						
項目	主要解析条件	条件設定の考え方																																					
代替格納容器スプレイポンプによる代替格納容器スプレイの開始 操作等による事件	炉心溶融開始の 30 分後 運転員等操作時間と考慮して設定。																																						
代替格納容器スプレイポンプによる代替格納容器スプレイの停止 操作等による事件	事象発生の 24 時間後 格納容器内自然対流冷却開始に伴い停止。																																						
格納容器再灌漿ユニットによる格納容器内自然対流冷却開始	事象発生の 24 時間後 運転員等操作時間と考慮して設定。																																						

泊発電所 3号炉 有効性評価 比較表

赤字：設備、運用又は体制の相違（設計方針の相違）
青字：記載箇所又は記載内容の相違（記載方針の相違）
緑字：記載表現、設備名称の相違（実質的な相違なし）

7.2.5 溶融炉心・コンクリート相互作用

大飯発電所3／4号炉	高浜発電所3／4号炉	女川原子力発電所2号炉	泊発電所3号炉	相違理由
<p>第3.5.1図 原子炉下部キャビティ水量の推移</p>	<p>第3.5.2.1図 原子炉下部キャビティ水量の推移</p>	<p>(事象進展が異なるため、以下、事象進展図は比較のためではなく参考までに記載)</p> <p>第3.5.1.1図 原子炉内圧力の推移</p>	<p>第7.2.5.1図 原子炉下部キャビティ水量の推移</p>	<p>【大飯、高浜】 解説結果の相違 ・泊は原子炉下部キャビティに水が流入しやすい構造のため、事象初期の原子炉下部キャビティ水量が多い</p>

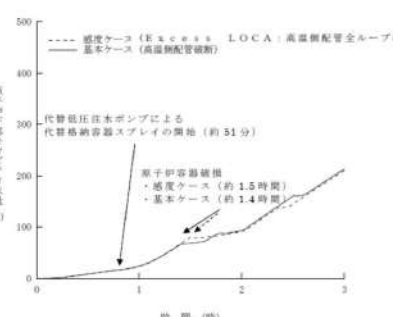
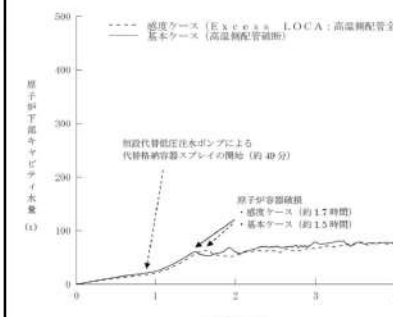
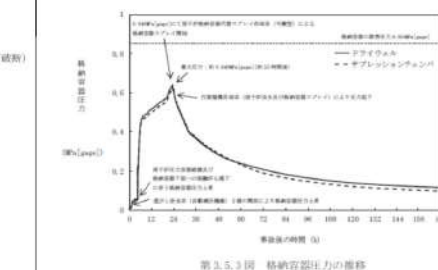
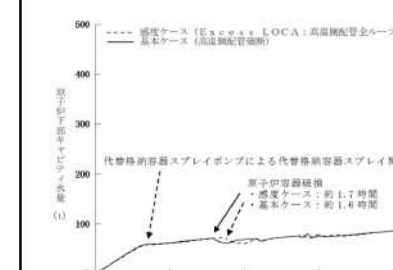
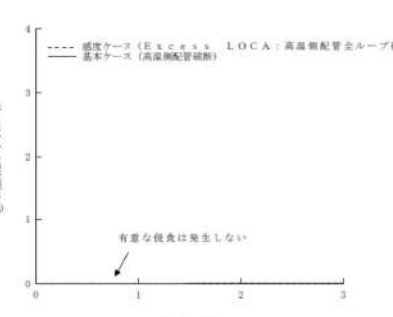
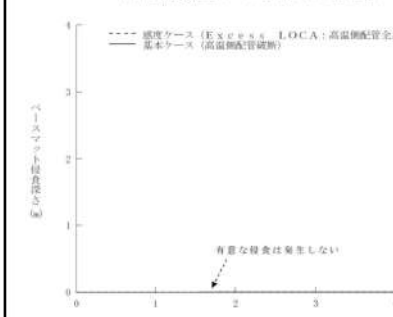
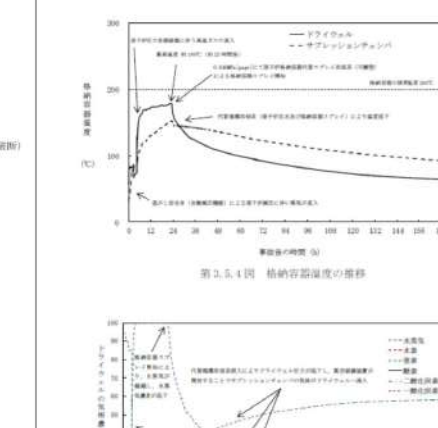
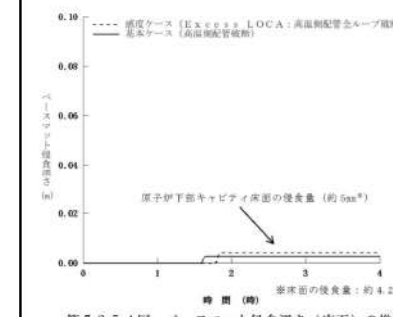
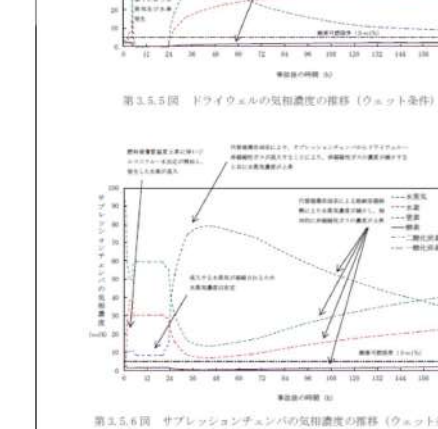
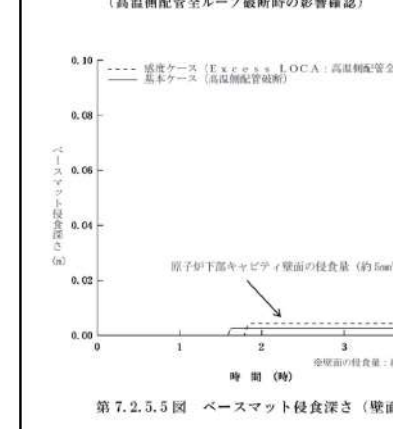


【大飯、高浜】
記載方針の相違
・泊では女川同様に壁面の値も記載

泊発電所 3号炉 有効性評価 比較表

赤字 : 設備、運用又は体制の相違（設計方針の相違）
青字 : 記載箇所又は記載内容の相違（記載方針の相違）
緑字 : 記載表現、設備名称の相違（実質的な相違なし）

7.2.5 溶融炉心・コンクリート相互作用

大飯発電所3／4号炉	高浜発電所3／4号炉	女川原子力発電所2号炉	泊発電所3号炉	相違理由
 <p>第 3.5.3 図 原子炉下部キャビティ水量の推移 (高圧側配管全ループ破断時の影響確認)</p>	 <p>第 3.5.3.1 図 原子炉下部キャビティ水量の推移 (高圧側配管全ループ破断時の影響確認)</p>	 <p>第 3.5.3.2 図 格納容器圧力の推移 (高圧側配管全ループ破断時の影響確認)</p>	 <p>第 7.2.5.3 図 原子炉下部キャビティ水量の推移 (高圧側配管全ループ破断時の影響確認)</p>	【大飯、高浜】 解析結果の相違 ・泊は原子炉下部キャビティに水が流入しやすい構造のため、事象初期の原子炉下部キャビティ水量が多い
 <p>第 3.5.4 図 ベースマット侵食深さの推移 (高圧側配管全ループ破断時の影響確認)</p>	 <p>第 3.5.4.1 図 ベースマット侵食深さの推移 (高圧側配管全ループ破断時の影響確認)</p>	 <p>第 3.5.4.2 図 ドライウェルの気相濃度の推移 (ウェット条件) (高圧側配管全ループ破断時の影響確認)</p>	 <p>第 7.2.5.4 図 ベースマット侵食深さ (床面) の推移 (高圧側配管全ループ破断時の影響確認)</p>	【大飯、高浜】 解析結果の相違 ・泊では女川同様に壁面の値も記載
		 <p>第 3.5.5 図 サプレッションチャンバーの気相濃度の推移 (ウェット条件) (高圧側配管全ループ破断時の影響確認)</p>	 <p>第 7.2.5.5 図 ベースマット侵食深さ (壁面) の推移 (高圧側配管全ループ破断時の影響確認)</p>	【大飯、高浜】 記載方針の相違 ・泊では女川同様に壁面の値も記載

泊発電所 3号炉 有効性評価 比較表

赤字：設備、運用又は体制の相違（設計方針の相違）
青字：記載箇所又は記載内容の相違（記載方針の相違）
緑字：記載表現、設備名称の相違（実質的な相違なし）

7.2.5 溶融炉心・コンクリート相互作用

大飯発電所3／4号炉	高浜発電所3／4号炉	女川原子力発電所2号炉	泊発電所3号炉	相違理由
<p>Figure 3.5.5 shows water level changes in the lower part of the reactor vessel over time (0 to 4 hours) for two cases: Excess LOCA (dashed line) and Basic Case (solid line). The Excess LOCA case shows a sharp peak at approximately 1 hour, reaching about 300 cm, while the Basic Case remains relatively flat around 100 cm. Annotations indicate the start of the spray phase (about 40 minutes) and the end of the spray phase (about 1.4 hours).</p> <p>第3.5.5図 原子炉下部キャビティ水量の推移 (低温側配管全ループ破断時の影響確認)</p> <p>Figure 3.5.6 shows the depth of base mat infiltration over time (0 to 4 hours) for the same two cases. Both curves remain near zero, with a small peak around 1 hour labeled "Infiltration does not occur".</p> <p>第3.5.6図 ベースマット浸食深さの推移 (低温側配管全ループ破断時の影響確認)</p>	<p>Figure 3.5.3.3 shows water level changes in the lower part of the reactor vessel over time (0 to 4 hours) for the same two cases. The Excess LOCA case shows a peak around 1 hour, while the Basic Case remains flat.</p> <p>第3.5.3.3図 原子炉下部キャビティ水量の推移 (低温側配管全ループ破断時の影響確認)</p> <p>Figure 3.5.9 shows the water level in the sub-suppression pool over time (0 to 4 hours) for the same two cases. Both cases show a rapid rise from 0 to about 150 cm between 1 and 2 hours, followed by a gradual decline.</p> <p>第3.5.9図 サブレッショングルール水位の推移</p>	<p>Figure 3.5.7 is a detailed graph of oxygen concentration in the dry well over time (0 to 4 hours) under dry conditions. It compares four cases: Excess LOCA (dashed), Basic Case (solid), Two-phase flow (dotted), and One-phase flow (dash-dot). The Excess LOCA case shows a sharp drop in oxygen concentration starting around 1 hour, reaching near zero by 2 hours.</p> <p>第3.5.7図 ドライウェルの気相濃度の推移（ドライ条件）</p> <p>Figure 3.5.8 shows oxygen concentration in the suppression chamber over time (0 to 4 hours) under dry conditions. The Excess LOCA case shows a sharp drop starting around 1 hour, while the Basic Case remains relatively stable.</p> <p>第3.5.8図 サブリシジョンチャンバの気相濃度の推移（ドライ条件）</p>	<p>Figure 7.2.5.6 shows water level changes in the lower part of the reactor vessel over time (0 to 4 hours) for the same two cases. The Excess LOCA case shows a peak around 1 hour, while the Basic Case remains flat.</p> <p>第7.2.5.6図 原子炉下部キャビティ水量の推移 (低温側配管全ループ破断時の影響確認)</p> <p>Figure 7.2.5.7 shows the depth of base mat infiltration in the bottom over time (0 to 4 hours) for the same two cases. The Excess LOCA case shows a peak around 1 hour, while the Basic Case remains flat.</p> <p>第7.2.5.7図 ベースマット浸食深さ（床面）の推移 (低温側配管全ループ破断時の影響確認)</p>	<p>【大飯、高浜】 解析結果の相違 ・泊は原子炉下部キャビティに水が流入しやすい構造のため、事象初期の原子炉下部キャビティ水量が多い</p>
			<p>Figure 7.2.5.8 shows the depth of base mat infiltration on the wall over time (0 to 4 hours) for the same two cases. The Excess LOCA case shows a peak around 1 hour, while the Basic Case remains flat.</p> <p>第7.2.5.8図 ベースマット浸食深さ（壁面）の推移 (低温側配管全ループ破断時の影響確認)</p>	<p>【大飯、高浜】 記載方針の相違 ・泊では女川同様に壁面の値も記載</p>

泊発電所 3号炉 有効性評価 比較表

赤字 : 設備、運用又は体制の相違（設計方針の相違）
青字 : 記載箇所又は記載内容の相違（記載方針の相違）
緑字 : 記載表現、設備名称の相違（実質的な相違なし）

7.2.5 溶融炉心・コンクリート相互作用

大飯発電所3／4号炉	高浜発電所3／4号炉	女川原子力発電所2号炉	泊発電所3号炉	相違理由
<p>第 3.5.7 図 原子炉下部キャビティ水位の推移 (原子炉容器下端における破損時の影響確認)</p>	<p>第 3.5.8 図 ベースマット侵食深さの推移 (原子炉容器下端における破損時の影響確認)</p>	<p>第 3.5.9 図 原子炉下部キャビティ水位の推移 (原子炉容器下端における破損時の影響確認)</p>	<p>第 3.5.10 図 原子炉下部キャビティ水位の推移 (原子炉容器下端における破損時の影響確認)</p>	【大飯、高浜】 解析結果の相違 ・泊は原子炉下部キャビティに水が流入しやすい構造のため、事象初期の原子炉下部キャビティ水量が多い
<p>第 3.5.11 図 格納容器下部水位の推移 (原子炉容器下端における破損時の影響確認)</p>	<p>第 3.5.12 図 格納容器下部床面及び壁面のコンクリート侵食量の推移 (溶融炉心からプール水への熱流束を保守的に考慮する場合)</p>	<p>第 3.5.13 図 格納容器下部床面及び壁面のコンクリート侵食量の推移 (溶融炉心からプール水への熱流束を保守的に考慮する場合)</p>	<p>第 3.5.14 図 格納容器下部床面及び壁面のコンクリート侵食量の推移 (溶融炉心からプール水への熱流束を保守的に考慮する場合)</p>	【大飯、高浜】 解析結果の相違 ・泊は原子炉下部キャビティに水が流入しやすい構造のため、事象初期の原子炉下部キャビティ水量が多い
		<p>第 3.5.15 図 格納容器下部床面及び壁面のコンクリート侵食量の推移 (溶融炉心からプール水への熱流束を保守的に考慮する場合)</p>	<p>第 3.5.16 図 ベースマット侵食深さ(床面)の推移 (原子炉容器下端における破損時の影響確認)</p>	【大飯、高浜】 記載方針の相違 ・泊では女川同様に壁面の値も記載
		<p>第 3.5.17 図 ベースマット侵食深さ(壁面)の推移 (原子炉容器下端における破損時の影響確認)</p>	<p>第 3.5.18 図 ベースマット侵食深さ(壁面)の推移 (原子炉容器下端における破損時の影響確認)</p>	【大飯、高浜】 記載方針の相違 ・泊では女川同様に壁面の値も記載
		<p>第 3.5.19 図 ベースマット侵食深さ(壁面)の推移 (原子炉容器下端における破損時の影響確認)</p>	<p>第 3.5.20 図 ベースマット侵食深さ(壁面)の推移 (原子炉容器下端における破損時の影響確認)</p>	【大飯、高浜】 記載方針の相違 ・泊では女川同様に壁面の値も記載

泊発電所 3号炉 有効性評価 比較表

赤字：設備、運用又は体制の相違（設計方針の相違）
青字：記載箇所又は記載内容の相違（記載方針の相違）
緑字：記載表現、設備名称の相違（実質的な相違なし）

7.2.5 溶融炉心・コンクリート相互作用

大飯発電所3／4号炉	高浜発電所3／4号炉	女川原子力発電所2号炉	泊発電所3号炉	相違理由
<p>第3.5.9図 原子炉下部キャビティ床面からの水位の推移 (代替格納容器スプレイ操作時間余裕確認)</p>	<p>第3.5.3, 3.7図 原子炉下部キャビティ床面からの水位の推移 (代替格納容器スプレイ操作時間余裕確認)</p>	<p>第3.5.15図 ドレンサンプ床面及び壁面のコンクリート侵食量の推移 (ドレンサンプへの溶融炉心の流入を考慮する場合)</p>	<p>第7.2.5.12図 原子炉下部キャビティ床面からの水位の推移 (代替格納容器スプレイ操作時間余裕確認)</p>	<p>【大飯、高浜】 解析結果の相違 ・泊は原子炉下部キャビティに水が流れやすい構造のため、事象初期の原子炉下部キャビティ室水量が多い</p>
<p>第3.5.10図 ベースマット侵食深さの推移 (代替格納容器スプレイ操作時間余裕確認)</p>	<p>第3.5.3, 3.8図 ベースマット侵食深さの推移 (代替格納容器スプレイ操作時間余裕確認)</p>		<p>第7.2.5.13図 ベースマット侵食深さ（床面）の推移 (代替格納容器スプレイ操作時間余裕確認)</p>	<p>【大飯、高浜】 解析結果の相違 ・泊は原子炉下部キャビティ室水量が多い</p>
			<p>第7.2.5.14図 ベースマット侵食深さ（壁面）の推移 (代替格納容器スプレイ操作時間余裕確認)</p>	<p>【大飯、高浜】 記載方針の相違 ・泊では女川同様に壁面の値も記載</p>

泊発電所 3号炉 有効性評価 比較表

7.2.5 溶融炉心・コンクリート相互作用 (添付資料 7.2.5.1 格納容器破損防止対策の有効性評価における原子炉下部キャビティ水量及び水位について)

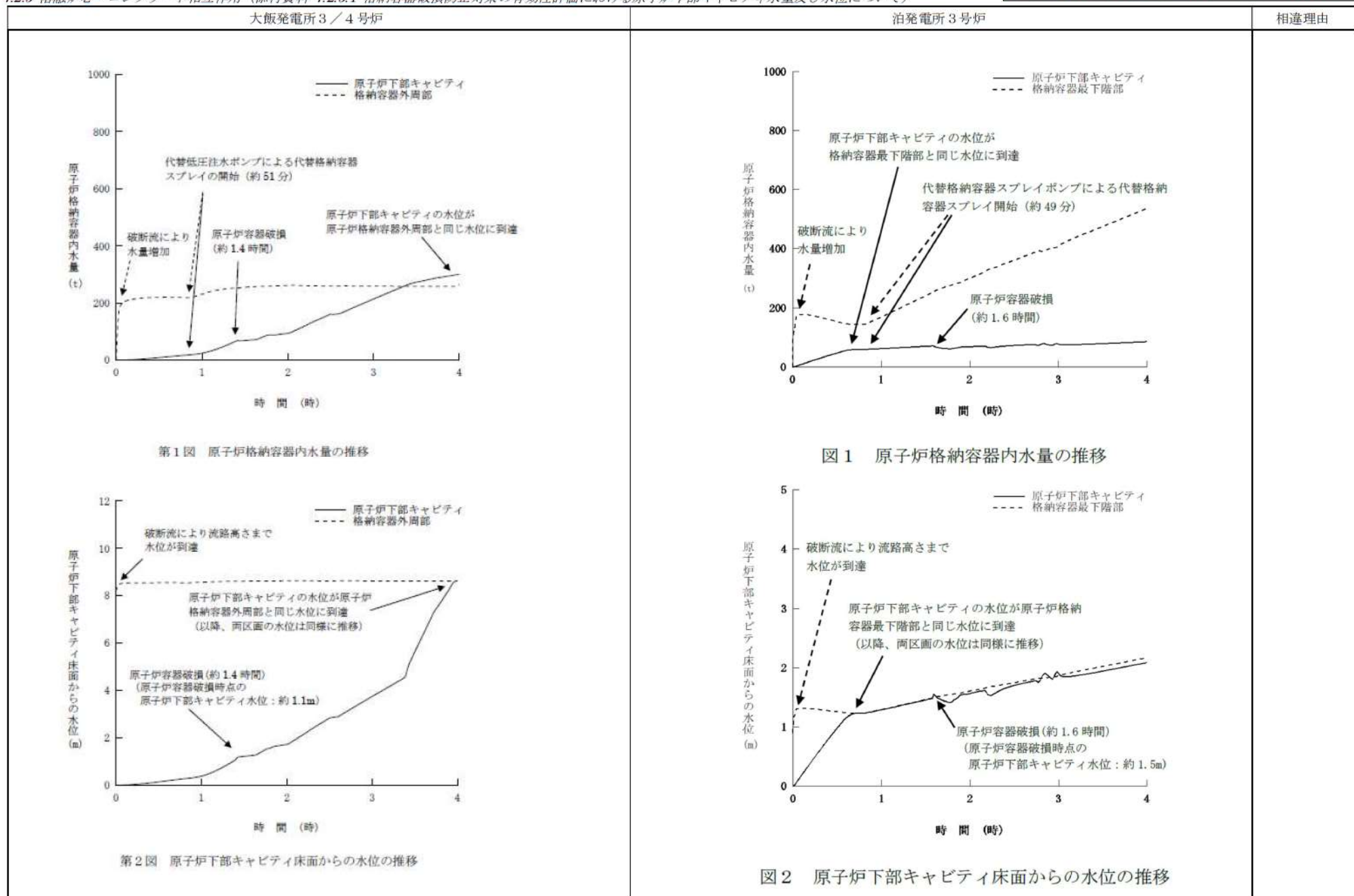
赤字 : 設備、運用又は体制の相違 (設計方針の相違)
 青字 : 記載箇所又は記載内容の相違 (記載方針の相違)
 緑字 : 記載表現、設備名称の相違 (実質的な相違なし)

大飯発電所 3 / 4 号炉	泊発電所 3号炉	相違理由
<p>添付資料 3.5.1</p> <p>格納容器破損防止対策の有効性評価における原子炉下部キャビティ水量及び水位について</p> <p>(1) 大破断 LOCA 時に低圧注入機能、高圧注入機能及び格納容器スプレイ注入機能が喪失する事故 (格納容器過圧破損、原子炉容器外における溶融燃料一冷却材相互作用、溶融炉心・コンクリート相互作用)</p> <p>第 1 図～第 4 図にそれぞれの区画の保有水量、水位、原子炉下部キャビティ内水温及び原子炉下部キャビティ内蒸気質量の推移を示す。原子炉格納容器外周部については、事象発生直後から 1 次冷却材の破断水により水量は増加し、水位も同様に上昇する。一方、原子炉下部キャビティについては、外周部の水が開口部を経由して流入することにより徐々に水量が増加し、それに伴い水位も徐々に上昇する。</p> <p>約 51 分以降は代替低圧注水ポンプによる代替格納容器スプレイ注入により両区画の水量は増加し、開口部を経由して原子炉下部キャビティへ流入するため、スプレイ注入以降は原子炉下部キャビティの水位が上昇し、原子炉容器が破損する約 1.4 時間後における水位は約 1.1m となっている。</p>	<p>添付資料 7.2.5.1</p> <p>格納容器破損防止対策の有効性評価における原子炉下部キャビティ水量及び水位について</p> <p>(1) 大破断 LOCA 時に低圧注入機能、高圧注入機能及び格納容器スプレイ注入機能が喪失する事故 (格納容器過圧破損、原子炉圧力容器外における溶融燃料一冷却材相互作用、溶融炉心・コンクリート相互作用)</p> <p>図 1～図 4 にそれぞれの区画の保有水量、水位、原子炉下部キャビティ内水温及び原子炉下部キャビティ内蒸気質量の推移を示す。原子炉格納容器最下階部 (蒸気発生器下部基礎室及び圧力ヘッダー室) については、事象発生直後から 1 次冷却材の破断水により水量は増加し、水位も同様に上昇する。一方、原子炉下部キャビティについては、最下階部の水が開口部を経由して流入することにより徐々に水量が増加し、それに伴い水位も徐々に上昇する。</p> <p>約 49 分以降は代替格納容器スプレイポンプによる代替格納容器スプレイ注入により両区画の水量は増加し、開口部を経由して原子炉下部キャビティへ流入するため、スプレイ注入以降は原子炉下部キャビティの水位が上昇し、原子炉容器が破損する約 1.6 時間後における水位は約 1.5m となっている。</p>	<p>記載表現の相違</p> <ul style="list-style-type: none"> ・ 3ループと 4ループのモデルの相違 <p>解釈結果の相違</p>

泊発電所 3号炉 有効性評価 比較表

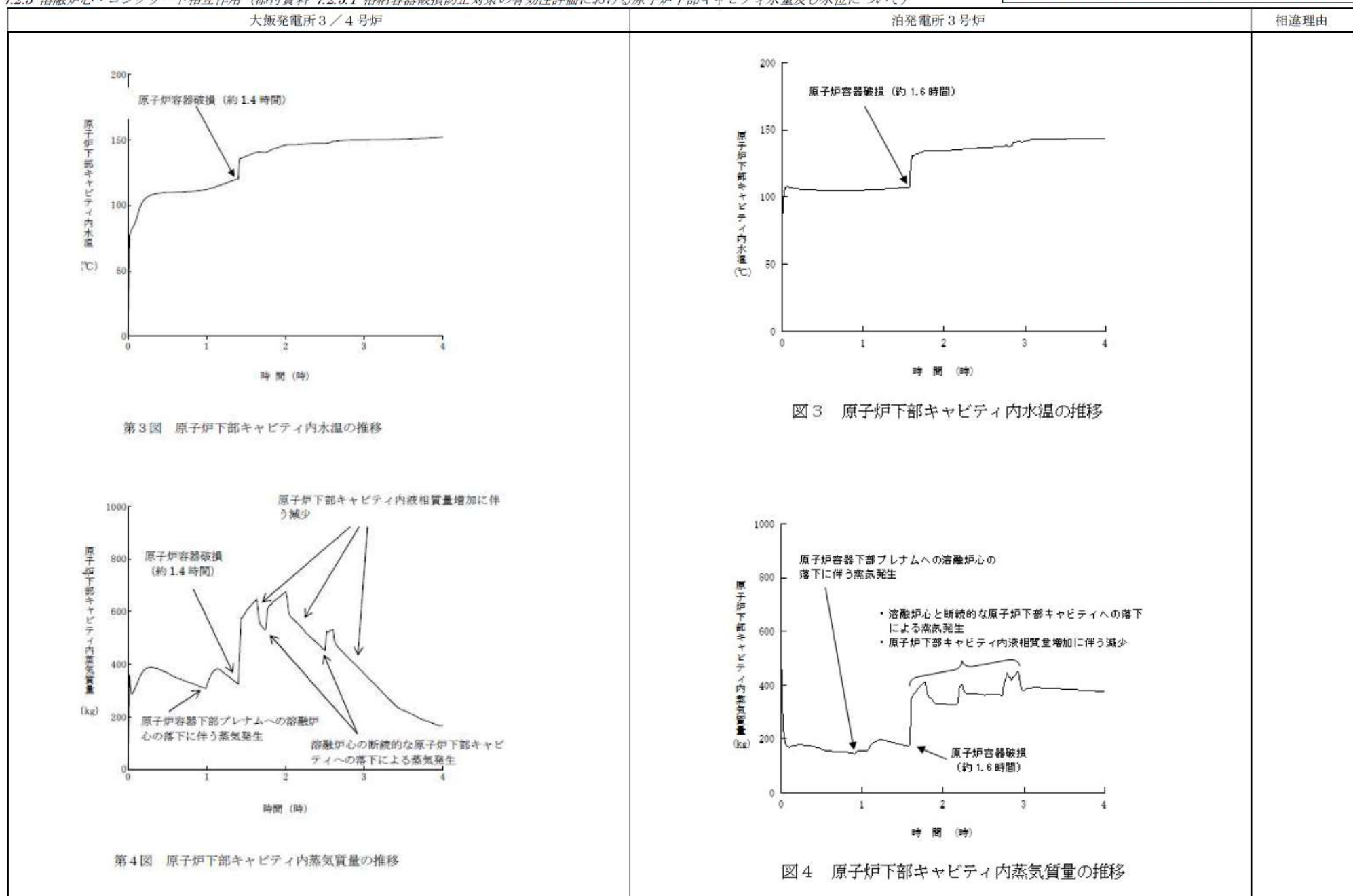
7.2.5 溶融炉心・コンクリート相互作用 (添付資料 7.2.5.1 格納容器破損防止対策の有効性評価における原子炉下部キャビティ水量及び水位について)

赤字 : 設備、運用又は体制の相違 (設計方針の相違)
青字 : 記載箇所又は記載内容の相違 (記載方針の相違)
緑字 : 記載表現、設備名称の相違 (実質的な相違なし)



泊発電所 3号炉 有効性評価 比較表
7.2.5 溶融炉心・コンクリート相互作用 (添付資料 7.2.5.1 格納容器破損防止対策の有効性評価における原子炉下部キャビティ水量及び水位について)

赤字 : 設備、運用又は体制の相違 (設計方針の相違)
青字 : 記載箇所又は記載内容の相違 (記載方針の相違)
緑字 : 記載表現、設備名称の相違 (実質的な相違なし)



泊発電所 3号炉 有効性評価 比較表

7.2.5 溶融炉心・コンクリート相互作用 (添付資料 7.2.5.1 格納容器破損防止対策の有効性評価における原子炉下部キャビティ水量及び水位について)

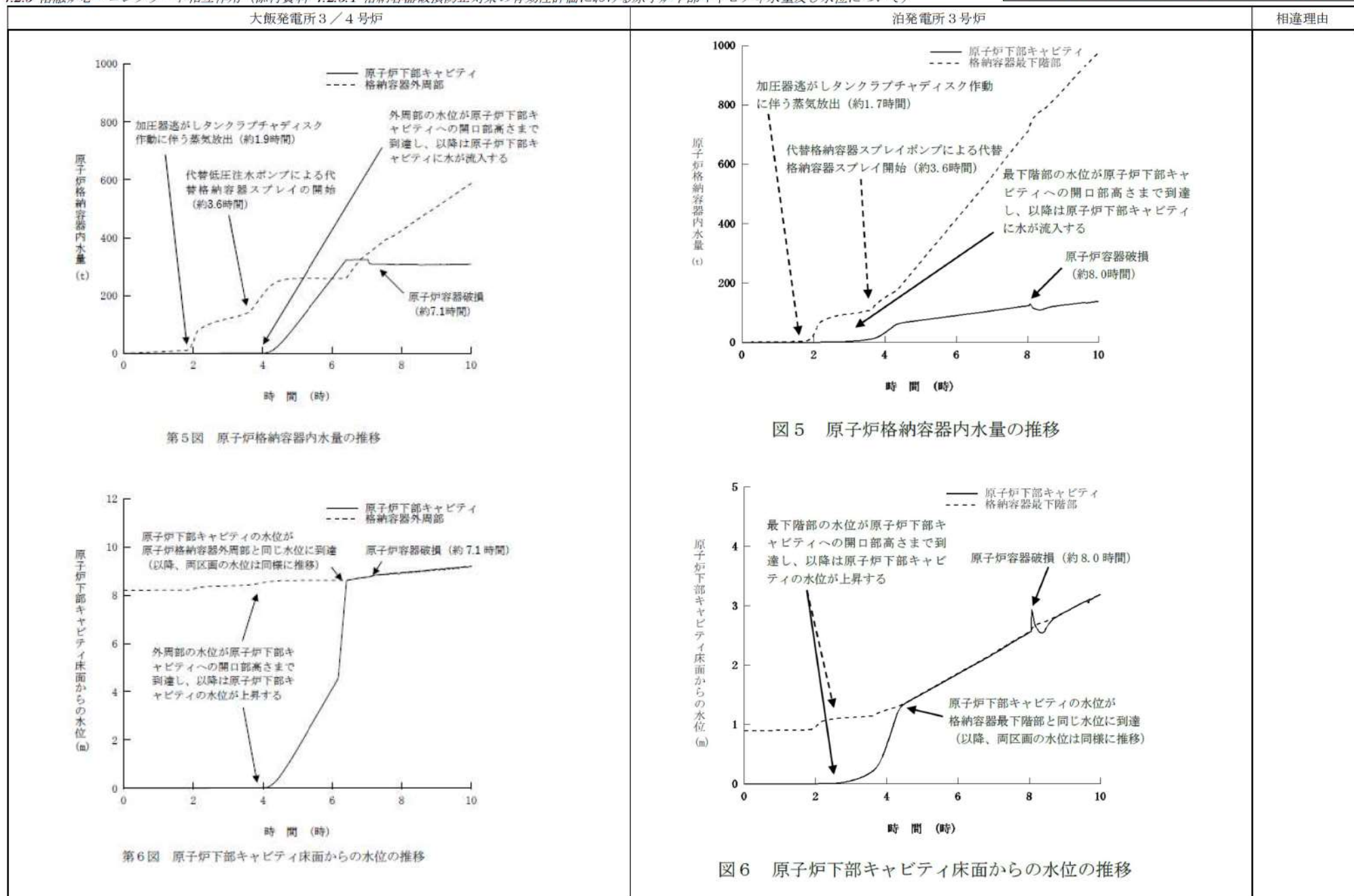
赤字：設備、運用又は体制の相違（設計方針の相違）
 青字：記載箇所又は記載内容の相違（記載方針の相違）
 緑字：記載表現、設備名称の相違（実質的な相違なし）

大飯発電所 3／4号炉	泊発電所 3号炉	相違理由
<p>(2) 外部電源喪失時に非常用所内交流電源が喪失し、補助給水機能が喪失する事故（格納容器過温破損、高圧溶融物放出／格納容器雰囲気直接加熱）</p> <p>第5図にそれぞれの区画の保有水量を、第6図に水位の推移を示す。原子炉格納容器外周部については、約1.9時間後に加圧器逃がしタンクのラブチャディスクが作動することに伴い水量が増加し、約3.6時間以降は代替低圧注水ポンプによる代替格納容器スプレイの効果によりさらに水量が増加する。この間、原子炉下部キャビティへは水の流入はないが、第6図に示すとおり、約4時間後に外周部の水位が原子炉下部キャビティへの開口部に到達することにより、以降は外周部からの水の流入により原子炉下部キャビティの水量が増加する。</p>	<p>(2) 外部電源喪失時に非常用所内交流電源が喪失し、補助給水機能が喪失する事故（格納容器過温破損、高圧溶融物放出／格納容器雰囲気直接加熱）</p> <p>図5にそれぞれの区画の保有水量を、図6に水位の推移を示す。原子炉格納容器最下階部(蒸気発生器下部基礎室及び圧力ヘッダー室)については、約1.7時間後に加圧器逃がしタンクのラブチャディスクが作動することに伴い水量が増加し、約3.6時間以降は代替格納容器スプレイポンプによる代替格納容器スプレイの効果によりさらに水量が増加する。また、図6に示すとおり、約2.5時間後に最下階部の水位が原子炉下部キャビティへの開口部に到達することにより、以降は最下階部からの水の流入により原子炉下部キャビティの水量が増加する。</p>	解説結果の相違

泊発電所 3号炉 有効性評価 比較表

7.2.5 溶融炉心・コンクリート相互作用 (添付資料 7.2.5.1 格納容器破損防止対策の有効性評価における原子炉下部キャビティ水量及び水位について)

赤字 : 設備、運用又は体制の相違 (設計方針の相違)
青字 : 記載箇所又は記載内容の相違 (記載方針の相違)
緑字 : 記載表現、設備名称の相違 (実質的な相違なし)



泊発電所 3 号炉 有効性評価 比較表

7.2.5 溶融炉心・コンクリート相互作用 (添付資料 7.2.5.2 解析コード及び解析条件の不確かさの影響評価について (溶融炉心・コンクリート相互作用))

赤字：設備、運用又は体制の相違（設計方針の相違）
 青字：記載箇所又は記載内容の相違（記載方針の相違）
 緑字：記載表現、設備名称の相違（実質的な相違なし）

大飯発電所 3 / 4 号炉	女川原子力発電所 2 号炉	泊発電所 3 号炉	相違理由
<p>添付資料 3.5.3 解析コード及び解析条件の不確かさの影響評価について (溶融炉心・コンクリート相互作用)</p> <p>「溶融炉心・コンクリート相互作用」における解析コード及び解析条件の不確かさの影響評価を表 1 から表 3 に示す。</p>	<p>添付資料 3.5.2 解析コード及び解析条件の不確かさの影響評価について (溶融炉心・コンクリート相互作用)</p>	<p>添付資料 7.2.5.2 解析コード及び解析条件の不確かさの影響評価について (溶融炉心・コンクリート相互作用)</p> <p>評価事故シーケンス「大破断 LOCA 時に低圧注入機能、高压注入機能及び格納容器スプレイ注入機能が喪失する事故」における解析コード及び解析条件の不確かさの影響評価を表 1 から表 3 に示す。</p>	

泊発電所3号炉 有効性評価 比較表

7.2.5 溶融炉心・コンクリート相互作用 (添付資料 7.2.5.2 解析コード及び解析条件の不確かさの影響評価について (溶融炉心・コンクリート相互作用))

赤字:設備、運用又は体制の相違 (設計方針の相違)
青字:記載箇所又は記載内容の相違 (記載方針の相違)
緑字:記載表現、設備名称の相違 (実質的な相違なし)

大飯発電所3／4号炉

女川原子力発電所2号炉

泊発電所3号炉

相違理由

表1 解析コードにおける重要現象の不確かさが運転員等操作時間及び評価項目となるパラメータに与える影響 (1 / 3)

分類	重要現象	解説モデル (炉心モード)	不確かさ	運転員等操作時間に与える影響	評価項目となるパラメータに与える影響
燃料構内温度変化	燃焼熱	○TMI事象解析において炉心ヒートアーチによる発生熱を、炉心外での過熱損失状態について定義する。	入力項目に含まれる	評価項目となるパラメータに与える影響	評価項目となるパラメータに与える影響
燃料構外熱伝達	○炉心外熱伝達モデルは、TMI事象についての解析結果と一致する。解析コードは、炉心ヒートアーチによる過熱損失を考慮した場合と、炉心ヒートアーチによる過熱損失を考慮しない場合との二種類である。ジルコニア保護管破裂時の炉心ヒートアーチによる過熱損失は、下部プレートへの熱移動量が約300kWで、炉心ヒートアーチによる過熱損失を考慮しない場合は、炉心ヒートアーチによる過熱損失が約100kWである。	不確かさ	評価項目となるパラメータに与える影響	評価項目となるパラメータに与える影響	評価項目となるパラメータに与える影響
燃料構造強度変化	○炉心外熱伝達モデルは、TMI事象についての解析結果と一致する。解析コードは、炉心ヒートアーチによる過熱損失を考慮した場合と、炉心ヒートアーチによる過熱損失を考慮しない場合との二種類である。ジルコニア保護管破裂時の炉心ヒートアーチによる過熱損失は、下部プレートへの熱移動量が約300kWで、炉心ヒートアーチによる過熱損失を考慮しない場合は、炉心ヒートアーチによる過熱損失が約100kWである。	不確かさ	評価項目となるパラメータに与える影響	評価項目となるパラメータに与える影響	評価項目となるパラメータに与える影響
炉心	○炉心外熱伝達モデルは、TMI事象についての解析結果と一致する。解析コードは、炉心ヒートアーチによる過熱損失を考慮した場合と、炉心ヒートアーチによる過熱損失を考慮しない場合との二種類である。ジルコニア保護管破裂時の炉心ヒートアーチによる過熱損失は、下部プレートへの熱移動量が約300kWで、炉心ヒートアーチによる過熱損失を考慮しない場合は、炉心ヒートアーチによる過熱損失が約100kWである。	不確かさ	評価項目となるパラメータに与える影響	評価項目となるパラメータに与える影響	評価項目となるパラメータに与える影響
燃料搬送装置変化	○運転員等操作時間に与える影響	評価項目となるパラメータに与える影響	評価項目となるパラメータに与える影響	評価項目となるパラメータに与える影響	評価項目となるパラメータに与える影響

表1 解析コードにおける重要現象の不確かさが運転員等操作時間及び評価項目となるパラメータに与える影響 (2 / 3)

分類	重要現象	解説モデル (炉心モード)	不確かさ	運転員等操作時間に与える影響	評価項目となるパラメータに与える影響
燃料構内温度変化	○運転員等操作時間に与える影響	評価項目となるパラメータに与える影響	評価項目となるパラメータに与える影響	評価項目となるパラメータに与える影響	評価項目となるパラメータに与える影響
燃料構外熱伝達	○運転員等操作時間に与える影響	評価項目となるパラメータに与える影響	評価項目となるパラメータに与える影響	評価項目となるパラメータに与える影響	評価項目となるパラメータに与える影響
燃料構造強度変化	○運転員等操作時間に与える影響	評価項目となるパラメータに与える影響	評価項目となるパラメータに与える影響	評価項目となるパラメータに与える影響	評価項目となるパラメータに与える影響
炉心	○運転員等操作時間に与える影響	評価項目となるパラメータに与える影響	評価項目となるパラメータに与える影響	評価項目となるパラメータに与える影響	評価項目となるパラメータに与える影響
燃料搬送装置変化	○運転員等操作時間に与える影響	評価項目となるパラメータに与える影響	評価項目となるパラメータに与える影響	評価項目となるパラメータに与える影響	評価項目となるパラメータに与える影響

表1 解析コードにおける重要現象の不確かさが運転員等操作時間及び評価項目となるパラメータに与える影響 (1 / 3)

分類	重要現象	解説モデル (炉心モード)	不確かさ	運転員等操作時間に与える影響	評価項目となるパラメータに与える影響
燃料構内温度変化	○運転員等操作時間に与える影響	評価項目となるパラメータに与える影響	評価項目となるパラメータに与える影響	評価項目となるパラメータに与える影響	評価項目となるパラメータに与える影響
燃料構外熱伝達	○運転員等操作時間に与える影響	評価項目となるパラメータに与える影響	評価項目となるパラメータに与える影響	評価項目となるパラメータに与える影響	評価項目となるパラメータに与える影響
燃料構造強度変化	○運転員等操作時間に与える影響	評価項目となるパラメータに与える影響	評価項目となるパラメータに与える影響	評価項目となるパラメータに与える影響	評価項目となるパラメータに与える影響
炉心	○運転員等操作時間に与える影響	評価項目となるパラメータに与える影響	評価項目となるパラメータに与える影響	評価項目となるパラメータに与える影響	評価項目となるパラメータに与える影響
燃料搬送装置変化	○運転員等操作時間に与える影響	評価項目となるパラメータに与える影響	評価項目となるパラメータに与える影響	評価項目となるパラメータに与える影響	評価項目となるパラメータに与える影響

自發電所 3 号炉 有効性評価 比較表

7.2.5 溶融炉心・コンクリート相互作用 (添付資料 7.2.5.2 解析コード及び解析条件の不確かさの影響評価について (溶融炉心・コンクリート相互作用))

表1 勝利コードにおける重要な要素の不鮮明さを、連続員擇択順位別に与える影響（2／3）

表 1 組合カードにおける重要場所の正確さが選定具実操作時間と評価項目となるパラメータに与える影響 (前輪重心・コンタラー) (2/2)

表1 解析コードにおける重要現象の不確かさが運転局等解析時間及び詳細項目となるパラメータに与える影響(2/3)

赤字：設備、運用又は体制の相違（設計方針の相違）
青字：記載箇所又は記載内容の相違（記載方針の相違）
緑字：記載表現、設備名称の相違（実質的な相違なし）

大飯発電所 3／4号炉

女川原子力発電所 2号炉

泊発電所3号炉

相違理由

泊発電所3号炉 有効性評価 比較表

7.2.5 溶融炉心・コンクリート相互作用 (添付資料 7.2.5.2 解析コード及び解析条件の不確かさの影響評価について (溶融炉心・コンクリート相互作用))

赤字: 設備、運用又は体制の相違 (設計方針の相違)
青字: 記載箇所又は記載内容の相違 (記載方針の相違)
緑字: 記載表現、設備名称の相違 (実質的な相違なし)

大飯発電所3／4号炉

女川原子力発電所2号炉

泊発電所3号炉

相違理由

表1 解析コードにおける重要現象の不確かさが運転員等操作時間及び評価項目となるパラメータに与える影響 (3／3)

分類	重要現象	解説モデル	評価項目となるパラメータに与える影響
原子炉防護隔壁内壁 （床板）	原子炉防護隔壁内壁 （床板）の溶融炉心 の影響	原子炉防護隔壁内壁 （床板）の溶融炉心 の影響	原子炉防護隔壁内壁 （床板）の溶融炉心 の影響
原子炉防護隔壁内壁 （床板）	原子炉防護隔壁内壁 （床板）の溶融炉心 の影響	原子炉防護隔壁内壁 （床板）の溶融炉心 の影響	原子炉防護隔壁内壁 （床板）の溶融炉心 の影響
原子炉防護隔壁内壁 （床板）	原子炉防護隔壁内壁 （床板）の溶融炉心 の影響	原子炉防護隔壁内壁 （床板）の溶融炉心 の影響	原子炉防護隔壁内壁 （床板）の溶融炉心 の影響
溶融炉心とコンクリー トとの接触	溶融炉心とコンクリー トとの接触	溶融炉心とコンクリー トとの接触	溶融炉心とコンクリー トとの接触
溶融炉心とコンクリー トとの接触	溶融炉心とコンクリー トとの接触	溶融炉心とコンクリー トとの接触	溶融炉心とコンクリー トとの接触
溶融炉心とコンクリー トとの接触	溶融炉心とコンクリー トとの接触	溶融炉心とコンクリー トとの接触	溶融炉心とコンクリー トとの接触

表1 解析コードにおける重要現象の不確かさが運転員等操作時間及び評価項目となるパラメータに与える影響 (3／3)

分類	重要現象	解説モデル	評価項目となるパラメータに与える影響
原子炉容積外RC （溶融炉心の溶融化、テ フロ・炉子底板）	溶融炉心の溶融化、テ フロ・炉子底板	溶融炉心の溶融化、テ フロ・炉子底板	溶融炉心の溶融化、テ フロ・炉子底板
原子炉下部キャラビテ リ体積での溶融炉心 の溶融化	溶融炉心と炉子下部 キャラビティ水の伝 熱	溶融炉心と炉子下部 キャラビティ水の伝 熱	溶融炉心と炉子下部 キャラビティ水の伝 熱
溶融炉心とコンクリ ートの伝熱	溶融炉心とコンクリ ートの伝熱	溶融炉心とコンクリ ートの伝熱	溶融炉心とコンクリ ートの伝熱
原子炉容積外FP （炉子底板）	原子炉容積外FP （炉子底板）	原子炉容積外FP （炉子底板）	原子炉容積外FP （炉子底板）
溶融炉心の溶融化	溶融炉心の溶融化	溶融炉心の溶融化	溶融炉心の溶融化
溶融炉心の溶融化	溶融炉心の溶融化	溶融炉心の溶融化	溶融炉心の溶融化
溶融炉心の溶融化	溶融炉心の溶融化	溶融炉心の溶融化	溶融炉心の溶融化

7.2.5 溶融炉心・コンクリート相互作用 (添付資料 7.2.5.2 解析コード及び解析条件の不確かさの影響評価について (溶融炉心・コンクリート相互作用))

項目	解析条件		運転条件	運転条件の考え方	運転条件に対する影響	評価項目となるパラメータに与える影響
	解析条件	運転条件				
炉心開口部	100% (3.41MW) × 1.02	100% (3.41MW)			運転条件に応じて運転条件が異なる場合、運転条件による影響	各運転日となるパラメータに与える影響
大飯発電所3／4号炉	15.0 (1.02 MW) ^{log}	15.4 (MF _{log}) ^{log}			運転条件に応じて運転条件が異なる場合、運転条件による影響	各運転日となるパラメータに与える影響
運転条件	PP: 日本原子力研究開発機構 アーラニティ: ORNL/CN2 「アラカルト」方式による運転	3971±24°C	107°C	運転条件に応じて運転条件が異なる場合、運転条件による影響	運転条件に応じて運転条件が異なる場合、運転条件による影響	運転条件に応じて運転条件が異なる場合、運転条件による影響
発電率	50% (1基あたり)	50% (1基あたり)			運転条件に応じて運転条件が異なる場合、運転条件による影響	運転条件に応じて運転条件が異なる場合、運転条件による影響
炉内水位	72.900m ³	71.700m ³			運転条件に応じて運転条件が異なる場合、運転条件による影響	運転条件に応じて運転条件が異なる場合、運転条件による影響
ヒートシングル	運転条件による運転率と定常運転率を比較する運転条件	運転率	運転率による運転率と定常運転率を比較する運転条件		運転条件に応じて運転条件が異なる場合、運転条件による影響	運転条件に応じて運転条件が異なる場合、運転条件による影響
表2 解析条件を最弱点とした場合の運転員操作時間及び評価項目となるパラメータに与える影響 (1 / 4)						
項目	解析条件	運転条件	運転条件	運転条件	運転条件	運転条件
大飯発電所3／4号炉	運転条件	運転条件	運転条件	運転条件	運転条件	運転条件
女川原子力発電所2号炉	運転条件	運転条件	運転条件	運転条件	運転条件	運転条件
泊発電所3号炉	運転条件	運転条件	運転条件	運転条件	運転条件	運転条件
						相違理由

表2 解析条件を最弱点とした場合の運転員操作時間及び評価項目となるパラメータに与える影響 (1 / 4)

赤字: 設備、運用又は体制の相違 (設計方針の相違)
青字: 記載箇所又は記載内容の相違 (記載方針の相違)
緑字: 記載表現、設備名称の相違 (実質的な相違なし)

泊発電所3号炉 有効性評価 比較表

7.2.5 溶融炉心・コンクリート相互作用 (添付資料 7.2.5.2 解析コード及び解析条件の不確かさの影響評価について (溶融炉心・コンクリート相互作用))

赤字: 設備、運用又は体制の相違 (設計方針の相違)
青字: 記載箇所又は記載内容の相違 (記載方針の相違)
緑字: 記載表現、設備名称の相違 (実質的な相違なし)

大飯発電所3／4号炉

女川原子力発電所2号炉

泊発電所3号炉

相違理由

表2 解析条件を最悪条件とした場合の運転員等操作時間及び評価項目となるパラメータに与える影響 (2/4)

項目	解説条件 (参考条件) の正確度	差異要件	差異要件	運転員等操作時間に与える影響	運転員等操作時間に与える影響
入出力LOCA 熱供給管の 安全装置	—	原子炉本体 内に設置する 外筒遮蔽器スイッチ	—	原子炉本体 内に設置する 外筒遮蔽器スイッチ	原子炉本体 内に設置する 外筒遮蔽器スイッチ
起因事象	—	外筒遮蔽器 外筒遮蔽器 外筒遮蔽器	外筒遮蔽器 外筒遮蔽器 外筒遮蔽器	原子炉本体 内に設置する 外筒遮蔽器スイッチ	原子炉本体 内に設置する 外筒遮蔽器スイッチ
事故条件	—	原子炉本体 内に設置する 外筒遮蔽器 外筒遮蔽器 外筒遮蔽器	原子炉本体 内に設置する 外筒遮蔽器 外筒遮蔽器 外筒遮蔽器	原子炉本体 内に設置する 外筒遮蔽器スイッチ	原子炉本体 内に設置する 外筒遮蔽器スイッチ

表2 解析条件を最悪条件とした場合の運転員等操作時間及び評価項目となるパラメータに与える影響 (3/4)

項目	解説条件 (参考条件) の正確度	差異要件	差異要件	運転員等操作時間に与える影響	運転員等操作時間に与える影響
起因事象	—	外筒遮蔽器 外筒遮蔽器 外筒遮蔽器	外筒遮蔽器 外筒遮蔽器 外筒遮蔽器	外筒遮蔽器 外筒遮蔽器 外筒遮蔽器	外筒遮蔽器 外筒遮蔽器 外筒遮蔽器
事故条件	—	外筒遮蔽器 外筒遮蔽器 外筒遮蔽器	外筒遮蔽器 外筒遮蔽器 外筒遮蔽器	外筒遮蔽器 外筒遮蔽器 外筒遮蔽器	外筒遮蔽器 外筒遮蔽器 外筒遮蔽器
解説条件	—	—	—	—	—

表2 解析条件を最悪条件とした場合の運転員等操作時間及び評価項目となるパラメータに与える影響 (4/4)

項目	解説条件 (参考条件) の正確度	差異要件	差異要件	運転員等操作時間に与える影響	運転員等操作時間に与える影響
起因事象	—	外筒遮蔽器 外筒遮蔽器 外筒遮蔽器	外筒遮蔽器 外筒遮蔽器 外筒遮蔽器	外筒遮蔽器 外筒遮蔽器 外筒遮蔽器	外筒遮蔽器 外筒遮蔽器 外筒遮蔽器
事故条件	—	外筒遮蔽器 外筒遮蔽器 外筒遮蔽器	外筒遮蔽器 外筒遮蔽器 外筒遮蔽器	外筒遮蔽器 外筒遮蔽器 外筒遮蔽器	外筒遮蔽器 外筒遮蔽器 外筒遮蔽器
解説条件	—	—	—	—	—

泊発電所 3号炉 有効性評価 比較表

7.2.5 溶融炉心・コンクリート相互作用 (添付資料 7.2.5.2 解析コード及び解析条件の不確かさの影響評価について (溶融炉心・コンクリート相互作用))

赤字: 設備、運用又は体制の相違（設計方針の相違）
青字: 記載箇所又は記載内容の相違（記載方針の相違）
緑字: 記載表現、設備名称の相違（実質的な相違なし）

式2 解析条件を最適条件とした場合の運転員等操作時間及び評価項目となるパラメータに与える影響 (3/4)

女川原子力発電所 2号炉

表2 解析条件を最適条件とした場合の運転員等操作時間及び評価項目となるパラメータに与える影響(3/4)

添 7.2.5.2-7

泊発電所 3号炉 有効性評価 比較表

7.2.5 溶融炉心・コンクリート相互作用 (添付資料 7.2.5.2 解析コード及び解析条件の不確かさの影響評価について (溶融炉心・コンクリート相互作用))

赤字：設備、運用又は体制の相違（設計方針の相違）
青字：記載箇所又は記載内容の相違（記載方針の相違）
緑字：記載表現、設備名称の相違（実質的な相違なし）

表2 解析条件を最確条件とした場合の運転員等操作時間及び評価項目となるパラメータに与える影響 (4 / 4)

項目	解析条件 (機器条件) の不確からしさ		運転員等操作時間に与える影響
	解析条件	操作条件	
溶融炉心の原子炉下部キャビティは燃焼のための燃焼室であることを考慮する	溶融炉心の原子炉下部キャビティは燃焼のための燃焼室であることを考慮する	米国の新規炉に対する規格ガイドラインで規定された範囲に於いては、溶融炉心の原子炉下部キャビティは燃焼のための燃焼室であることを考慮する	運転員等操作時間に与える影響
溶融炉心から水噴射装置の水槽への供給	0.8MW/m ² 相当 (大気正圧条件)	水による冷却を行った結果熱交換器が回路で冷却されることが確認される。	運転員等操作時間に与える影響
溶融炉心とコンクリートの伝熱条件	溶融炉心とコンクリートの伝熱条件	溶融炉心とコンクリートの伝熱条件による熱交換器の冷却効率が低下する結果熱交換器の冷却効率が低下する。	運転員等操作時間に与える影響

大飯発電所 3 / 4 号炉

女川原子力発電所 2号炉

泊発電所 3号炉

相違理由

表2 解析条件を最確条件とした場合の運転員等操作時間及び評価項目となるパラメータに与える影響 (4 / 4)

項目	解析条件 (機器条件) の不確からしさ		運転員等操作時間に与える影響
	解析条件	操作条件	
溶融炉心の原子炉下部キャビティは燃焼のための燃焼室であることを考慮する	溶融炉心の原子炉下部キャビティは燃焼のための燃焼室であることを考慮する	米国の新規炉に対する規格ガイドラインでは、溶融炉心の原子炉下部キャビティは燃焼室であることを考慮する	運転員等操作時間に与える影響
溶融炉心から水噴射装置の水槽への供給	0.8MW/m ² 相当 (大気正圧条件)	水による冷却を行った結果熱交換器が回路で冷却されることが確認される。	運転員等操作時間に与える影響
溶融炉心とコンクリートの伝熱条件	溶融炉心とコンクリートの伝熱条件	溶融炉心とコンクリートの伝熱条件による熱交換器の冷却効率が低下する結果熱交換器の冷却効率が低下する。	運転員等操作時間に与える影響

泊発電所 3号炉 有効性評価 比較表

7.2.5 溶融炉心・コンクリート相互作用 (添付資料 7.2.5.2 解析コード及び解析条件の不確かさの影響評価について (溶融炉心・コンクリート相互作用))

赤字: 設備、運用又は体制の相違 (設計方針の相違)
青字: 記載箇所又は記載内容の相違 (記載方針の相違)
緑字: 記載表現、設備名称の相違 (実質的な相違なし)

表3 操作条件が要員の配置による他の操作に与える影響、評価項目となるパラメータに与える影響及び操作時間余裕

項目	無効化作成（操作実行中の）の手順担当			操作実行全般
	操作上の操作実行時間帯と並列に 実行される操作実行の発生箇所	解析コードによる影響	解析コードによる影響	
操作実行時間帯	操作上に操作実行時間帯と並列に 実行される操作実行の発生箇所	解析コードによる影響	解析コードによる影響	操作実行による 他の操作に与える影響
操作実行時間帯	操作上に操作実行時間帯と並列に 実行される操作実行の発生箇所	操作設定の方針より 操作設定の方針	操作設定の方針より 操作設定の方針	評議項目となる ルーメンによる影響

Table 1. The effect of the number of clusters on the performance of the proposed model.

表3 運転員等操作時耳聴音に与える影響、評価項目となるパラメータ

相違理由

泊発電所 3号炉 有効性評価 比較表

7.2.5 溶融炉心・コンクリート相互作用（添付資料 7.2.5.2 解析コード及び解析条件の不確かさの影響評価について（溶融炉心・コンクリート相互作用））

赤字: 設備、運用又は体制の相違（設計方針の相違）
青字: 記載箇所又は記載内容の相違（記載方針の相違）
緑字: 記載表現、設備名称の相違（実質的な相違なし）

泊発電所 3号炉 有効性評価 比較表

7.2.5 溶融炉心・コンクリート相互作用 (添付資料 7.2.5.2 解析コード及び解析条件の不確かさの影響評価について (溶融炉心・コンクリート相互作用))

赤字：設備、運用又は体制の相違（設計方針の相違）
青字：記載箇所又は記載内容の相違（記載方針の相違）
緑字：記載表現、設備名称の相違（実質的な相違なし）

大飯発電所 3／4号炉	女川原子力発電所 2号炉	泊発電所 3号炉	相違理由
		<p>(別紙) ベースマットについて</p> <p>ベースマット（基礎版）の範囲は、以下のとおり。原子炉下部キャビティ室の底面及び壁面（高さ約2.6m）はベースマットで構成されている。</p> <p>（別紙） ベースマットについて ベースマット（基礎版）の範囲は、以下のとおり。原子炉下部キャビティ室の底面及び壁面（高さ約2.6m）はベースマットで構成されている。</p> <p>（別紙） ベースマットについて ベースマット（基礎版）の範囲は、以下のとおり。原子炉下部キャビティ室の底面及び壁面（高さ約2.6m）はベースマットで構成されている。</p>	<p>記載方針の相違 ・泊ではベースマットについて記載</p>

図 ベースマットの範囲

泊発電所3号炉 有効性評価 比較表

7.2.5 溶融炉心・コンクリート相互作用 (添付資料 7.2.5.3 コンクリート侵食の侵食異方性について)

赤字 : 設備、運用又は体制の相違 (設計方針の相違)
 青字 : 記載箇所又は記載内容の相違 (記載方針の相違)
 緑字 : 記載表現、設備名称の相違 (実質的な相違なし)

大飯発電所3／4号炉	泊発電所3号炉	相違理由
<p>添付資料 3.5.4 コンクリート侵食の侵食異方性について</p> <p>OECD/MCCI プログラムにおいて実施された CCI 実験の中で、2次元のコンクリート侵食挙動が模擬された。CCI 実験では、コンクリート侵食が発生した後にキャビティ注水が行われ、その後、溶融物の冷却、溶融物の加熱停止に至り、最終的なコンクリート侵食形状が測定されている。最終的なコンクリート侵食形状については、石灰岩系コンクリートを使用した CCI-2 実験では床面方向と側面方向が等方に侵食されているのに対して、玄武岩系コンクリートを使用した CCI-1 実験、CCI-3 実験では床面方向に比べて側面方向の侵食が大きくなる結果となっている。測定された侵食速度から評価すると、側面方向の熱流束は、床面方向の熱流束の 4 倍程度とされている^[1]。石灰岩系コンクリートと玄武岩系コンクリートの侵食の傾向の相違は、化学物質組成の相違、コンクリートのガス含有量の相違、溶融物とコンクリートの境界の状態の相違によって説明できるとされている^[1]が、その詳細については明らかではない。</p> <p>実機解析条件では、溶融炉心は冠水したキャビティに落下し、キャビティの水中を拡がって、キャビティ内に堆積することを想定しており、CCI 実験条件と実機解析条件は異なる。したがって、実機においてもコンクリートの侵食異方性が現れるか明確ではない。ここでは、実機条件において、コンクリートの侵食異方性があると想定して、その影響がどの程度になるかを検討する。</p> <p>前述のとおり、溶融炉心は冠水したキャビティの水中を拡がり、キャビティ床全面に到達すると考えられる。このとき、大飯 3/4 号機に対する MAAP 解析では床面方向の侵食深さは約 5mm、側面方向の侵食深さは約 5mm である。側面方向の侵食速度が 4 倍大きいと仮定すると、側面方向の侵食深さは約 2cm になるが、これは、大飯 3/4 号機に対する MCCI 事象における溶融炉心冷却モデルの不確かさを考慮した解析結果（側面方向の侵食深さ：約 17cm）で包絡される。</p> <p>次に熱流束の観点で考えると、MAAP 解析では側面方向の熱流束の積算値は $7.2 \times 10^4 \text{ kJ/m}^2$ であり、CCI 実験同様に側面方向の熱流束の積算値が床面方向の熱流束の積算値の 4 倍と仮定した場合でも、MCCI 事象における溶融炉心冷却モデルの不確かさを考慮した解析結果 ($8.6 \times 10^5 \text{ kJ/m}^2$) に包絡される。</p> <p>以上のことから、仮に侵食異方性が現れたとしても問題ないと考えられる。</p>	<p>添付資料 7.2.5.3 コンクリート侵食の侵食異方性について</p> <p>OECD/MCCI プログラムにおいて実施された CCI 実験の中で、2次元のコンクリート侵食挙動が模擬された。CCI 実験では、コンクリート侵食が発生した後にキャビティ注水が行われ、その後、溶融物の冷却、溶融物の加熱停止に至り、最終的なコンクリート侵食形状が測定されている。最終的なコンクリート侵食形状については、石灰岩系コンクリートを使用した CCI-2 実験では床面方向と壁面方向が等方に侵食されているのに対して、玄武岩系コンクリートを使用した CCI-1 実験、CCI-3 実験では床面方向に比べて壁面方向の侵食が大きくなる結果となっている。測定された侵食速度から評価すると、壁面方向の熱流束は、床面方向の熱流束の 4 倍程度とされている。石灰岩系コンクリートと玄武岩系コンクリートの侵食の傾向の相違は、化学物質組成の相違、コンクリートのガス含有量の相違、溶融物とコンクリートの境界の状態の相違によって説明できるとされている^[1]が、その詳細については明らかではない。</p> <p>実機解析条件では、溶融炉心は冠水した原子炉下部キャビティに落下し、キャビティの水中を拡がって、キャビティ内に堆積することを想定しており、CCI 実験条件と実機解析条件は異なる。したがって、実機においてもコンクリートの侵食異方性が現れるか明確ではない。ここでは、実機条件[*]において、コンクリートの侵食異方性があると想定して、その影響がどの程度になるかを検討する。</p> <p>前述のとおり、溶融炉心は冠水したキャビティの水中を拡がり、キャビティ床全面に到達すると考えられる。このとき、泊 3 号炉に対する MAAP 解析では床面方向の侵食深さは約 3mm、壁面方向の侵食深さは約 3mm である。壁面方向の侵食速度が 4 倍大きいと仮定すると、壁面方向の侵食深さは約 1.2cm になるが、これは、泊 3 号炉に対する MCCI 事象における溶融炉心冷却モデルの不確かさを考慮した解析結果（壁面方向の侵食深さ：約 18cm）で包絡される。</p> <p>次に熱流束の観点で考えると、MAAP 解析では壁面方向の熱流束の積算値は $5.4 \times 10^4 \text{ kJ/m}^2$ であり、CCI 実験同様に壁面方向の熱流束の積算値が床面方向の熱流束の積算値の 4 倍と仮定した場合でも、MCCI 事象における溶融炉心冷却モデルの不確かさを考慮した解析結果 ($9.2 \times 10^5 \text{ kJ/m}^2$) に包絡される。</p> <p>以上から、仮にコンクリートの侵食異方性があると想定しても評価項目となるパラメータに与える影響は小さいことを確認した。また、泊 3 号炉の原子炉下部キャビティ室の壁面は厚さ□程度のコンクリートで覆われているため、仮に侵食異方性が現れたとしても問題ないと考えられる。</p> <p>* 泊 3 号炉の原子炉下部キャビティ室の床面は厚さ□程度、壁面は厚さ□程度（原子炉容器周りでは□以上、一番薄い箇所で□以上）のコンクリートで覆われている。 □枠囲みの内容は機密情報に属しますので公開できません。</p>	<p>解析結果の相違</p> <p>記載方針の相違</p>

[1] "OECD MCCI Project Final Report", OECD/MCCI-2005-TR06, February 28, 2006.

<参考資料>

なし

泊発電所 3号炉 有効性評価 比較表

7.2.5 溶融炉心・コンクリート相互作用 (添付資料 7.2.5.4 溶融炉心・コンクリート相互作用に対する格納容器サンプの影響について)

泊発電所 3号炉	泊発電所 3号炉	相違理由	
女川原子力発電所 2号炉	添付資料 7.2.5.4 溶融炉心・コンクリート相互作用に対する格納容器サンプの影響について	設備名称の相違	
<p>20. 溶融炉心・コンクリート相互作用に対するドライウェル床ドレンサンプの影響について</p> <p>1.はじめに</p> <p>女川2号炉において、ドライウェル内で発生した水を集水し、ポンプによって格納容器外へ移送するためにドライウェル床ドレンサンプ(以下「ドレンサンプ」という。)が図1及び図2のとおり配置されている。また、格納容器下部とドレンサンプはドレン配管にて接続されている。</p> <p>溶融炉心が格納容器下部に落下する場合には、格納容器下部注水により水位が形成されており、溶融炉心の冷却が促進し粘性が増加すること及びドレン配管は約10mの長さがあることから、格納容器下部に落下した溶融炉心がドレンサンプに流入する可能性は低いと考えられる。そのため、溶融炉心・コンクリート相互作用(以下「MCCI」という。)のベースケースにおいては、原子炉圧力容器破損によって格納容器下部へ落下した溶融炉心がドレンサンプへ流入することを考慮していないが、溶融炉心がドレンサンプに流入することを考慮すると、ドレンサンプ底面から原子炉格納容器バウンダリまでの距離及びドレンサンプ壁面から外側鋼板までの距離が小さいことから、コンクリートの侵食により原子炉格納容器のバウンダリ機能及び原子炉圧力容器の支持機能が損なわれるおそれがある。</p> <p>ここでは、溶融炉心の凝固評価により溶融炉心がドレン配管内で凝固することを確認する。また、仮に溶融炉心がドレンサンプに流入した場合を考慮し、MCCIによる侵食量及び原子炉格納容器バウンダリへの到達の有無を確認する。</p> <p>2.溶融炉心の凝固評価</p> <p>(1) EPRI/FAI試験の概要^[1]</p> <p>EPRI(Electric Power Research Institute)及びFAI(FAUSKE & ASSOCIATES, LLC)が、下部ブレナムを模擬した試験体に模擬溶融炉心(Al_2O_3)を流入させる試験を行っている。同試験の試験体系が、比較的、女川2号炉のドレン配管(80A)に近い体系となっていることから、その試験結果に基づき、ドレン配管内での溶融炉心の凝固距離について評価を行う。</p> <p>図3に試験装置概要を示す。Fe_2O_3とAlによるテルミット反応により、模擬溶融炉心である溶融したAl_2O_3が生成される。模擬溶融炉心はテルミットトレシーバーに流入し、密度差によりFeとAl_2O_3とで成層化が起こる。密度差からAl_2O_3はFeより上層にあることにより、Al_2O_3によりセメント製のキャップが溶融し、Al_2O_3のみLower Chamberに移行する。このとき、Lower Chamber及びドレン配管は水で満たされており、溶融炉心が格納容器下部へと落下してくる際の実機の条件と類似している。試験の結果、模擬溶融炉心の流動距離(凝固距離)は0.79mであった。</p>	<p>20. 溶融炉心・コンクリート相互作用に対するドライウェル床ドレンサンプの影響について</p> <p>1.はじめに</p> <p>泊3号炉において、原子炉格納容器内で発生した水を集水し、ポンプによって原子炉格納容器外へ移送するために格納容器サンプが図1及び図2のとおり配置されている。また、原子炉下部キャビティと格納容器サンプはドレン配管にて接続されている。</p> <p>溶融炉心が原子炉下部キャビティに落下する際には、代替格納容器スプレイにより水位が形成されており、溶融炉心の冷却が促進し粘性が増加すること、ドレン配管は約8mの長さがあること及び評価上期待するものではないが原子炉下部キャビティのドレン配管入口部に設置されている目皿は固化した溶融炉心がドレン配管に流入することを阻害することから、原子炉下部キャビティに落下した溶融炉心が格納容器サンプに流入する可能性は低いと考えられる。そのため、溶融炉心・コンクリート相互作用(以下「MCCI」という。)のベースケースにおいては、原子炉容器破損によって原子炉下部キャビティへ落下した溶融炉心が格納容器サンプへ流入することは考慮していない。</p> <p>また、格納容器サンプ底面から原子炉格納容器バウンダリまでの距離及び格納容器サンプ壁面から原子炉下部キャビティ壁面までの距離が十分に確保されていることから、コンクリートの侵食により原子炉格納容器のバウンダリ機能及び原子炉容器の支持機能が損なわれるおそれは低いと考えられる。</p> <p>ここでは、原子炉下部キャビティのドレン配管入口部に設置されている目皿がない条件下で溶融炉心の凝固評価を実施することにより、溶融炉心がドレン配管内で凝固することを確認する。</p> <p>2.溶融炉心の凝固評価</p> <p>(1) EPRI/FAI試験の概要^[1]</p> <p>EPRI(Electric Power Research Institute)及びFAI(FAUSKE & ASSOCIATES, LLC)が、下部ブレナムを模擬した試験体に模擬溶融炉心(Al_2O_3)を流入させる試験を行っている。同試験の試験体系が、比較的、泊3号炉のドレン配管に近い体系となっていることから、その試験結果に基づき、ドレン配管内での溶融炉心の凝固距離について評価を行う。</p> <p>図3に試験装置概要を示す。Fe_2O_3とAlによるテルミット反応により、模擬溶融炉心である溶融したAl_2O_3が生成される。模擬溶融炉心はテルミットトレシーバーに流入し、密度差によりFeとAl_2O_3とで成層化が起こる。密度差からAl_2O_3はFeより上層にあることにより、Al_2O_3によりセメント製のキャップが溶融し、Al_2O_3のみLower Chamberに移行する。このとき、Lower Chamber及びドレン配管は水で満たされており、溶融炉心が格納容器下部へと落下してくる際の実機の条件と類似している。試験の結果、模擬溶融炉心の流動距離(凝固距離)は0.79mであった。</p>	<p>添付資料 7.2.5.4 溶融炉心・コンクリート相互作用に対する格納容器サンプの影響について</p> <p>1.はじめに</p> <p>泊3号炉において、原子炉格納容器内で発生した水を集水し、ポンプによって原子炉格納容器外へ移送するために格納容器サンプが図1及び図2のとおり配置されている。また、原子炉下部キャビティと格納容器サンプはドレン配管にて接続されている。</p> <p>溶融炉心が原子炉下部キャビティに落下する際には、代替格納容器スプレイにより水位が形成されており、溶融炉心の冷却が促進し粘性が増加すること、ドレン配管は約8mの長さがあること及び評価上期待するものではないが原子炉下部キャビティのドレン配管入口部に設置されている目皿は固化した溶融炉心がドレン配管に流入することを阻害することから、原子炉下部キャビティに落下した溶融炉心が格納容器サンプに流入する可能性は低いと考えられる。そのため、溶融炉心・コンクリート相互作用(以下「MCCI」という。)のベースケースにおいては、原子炉容器破損によって原子炉下部キャビティへ落下した溶融炉心が格納容器サンプへ流入することは考慮していない。</p> <p>また、格納容器サンプ底面から原子炉格納容器バウンダリまでの距離及び格納容器サンプ壁面から原子炉下部キャビティ壁面までの距離が十分に確保されていることから、コンクリートの侵食により原子炉格納容器のバウンダリ機能及び原子炉容器の支持機能が損なわれるおそれは低いと考えられる。</p> <p>ここでは、原子炉下部キャビティのドレン配管入口部に設置されている目皿がない条件下で溶融炉心の凝固評価を実施することにより、溶融炉心がドレン配管内で凝固することを確認する。</p> <p>2.溶融炉心の凝固評価</p> <p>(1) EPRI/FAI試験の概要^[1]</p> <p>EPRI(Electric Power Research Institute)及びFAI(FAUSKE & ASSOCIATES, LLC)が、下部ブレナムを模擬した試験体に模擬溶融炉心(Al_2O_3)を流入させる試験を行っている。同試験の試験体系が、比較的、泊3号炉のドレン配管に近い体系となっていることから、その試験結果に基づき、ドレン配管内での溶融炉心の凝固距離について評価を行う。</p> <p>図3に試験装置概要を示す。Fe_2O_3とAlによるテルミット反応により、模擬溶融炉心である溶融したAl_2O_3が生成される。模擬溶融炉心はテルミットトレシーバーに流入し、密度差によりFeとAl_2O_3とで成層化が起こる。密度差からAl_2O_3はFeより上層にあることにより、Al_2O_3によりセメント製のキャップが溶融し、Al_2O_3のみLower Chamberに移行する。このとき、Lower Chamber及びドレン配管は水で満たされており、溶融炉心が格納容器下部へと落下してくる際の実機の条件と類似している。試験の結果、模擬溶融炉心の流動距離(凝固距離)は0.79mであった。</p>	<p>設備名称の相違</p> <p>手順の相違 設計の相違 記載方針の相違 ・泊の下部キャビティには目皿が設置されているため、目皿の効果により溶融炉心がドレン配管に流入しにくくことを追記</p> <p>設計の相違 ・泊は格納容器サンプからCVバウンダリまでの距離が約1.4mであり、RVを支える1次遮蔽コンクリートの厚さもそれ以上あることから仮に格納容器サンプに溶融炉心が流入した場合でもバウンダリ機能及びRVの支持機能が喪失する可能性は極めて低い</p>

泊発電所3号炉 有効性評価 比較表

7.2.5 溶融炉心・コンクリート相互作用（添付資料7.2.5.4 溶融炉心・コンクリート相互作用に対する格納容器サンプの影響について）

女川原子力発電所2号炉	泊発電所3号炉	相違理由
<p>(2) ドレン配管内の溶融炉心の凝固距離について</p> <p>ドレン配管内の溶融炉心の溶融凝固特性は流入する溶融炉心の保有熱量と、配管外部への放熱量に依存するものと考えられる。そこで、ドレン配管体系について、溶融炉心の物性の違いも考慮して、溶融炉心の保有熱量及び配管外への放熱量（配管径に依存）の比率に基づき流動距離を推定する。</p> <p>表1に評価に使用する溶融炉心の物性値を示す。Al₂O₃の溶融潜熱（h_{fs}=1.16×10⁶J/kg）に密度（ρ=3800kg/m³）を乗じると、流動停止までの保有熱量は4408MJ/m³となる。一方、溶融炉心の流動停止までの保有熱量は顯熱と溶融潜熱の和として次式で表される。</p> $h_{ab} = \{ (T_{sh} + T_{liq} - T_{sol}) C_p + h_{fs} \}$ <p>ここで、h_{ab}：溶融炉心の流動停止までの顯熱と溶融潜熱の和（J/kg）、T_{sh}：溶融炉心過熱度（K）、T_{liq}：溶融炉心液相線温度（K）、T_{sol}：溶融炉心固相線温度（K）、C_p：溶融炉心比熱（J/kgK）、h_{fs}：溶融炉心溶融潜熱（J/kg）である。</p> <p>このとき、h_{ab}は約□J/kgとなり、密度を乗じ、流動停止までの保有熱量とすると約□J/m³となり、Al₂O₃の約□倍となる。</p> <p>また、ドレン配管（80A）の配管直径（d_f）を約8cmと仮定すると、EPRI/FAI試験のドレンラインの配管直径（d_{tes}）は5cmのため、配管直径の比は約1.56倍である。配管直径の比、保有熱量比を用いて、ドレン配管内の溶融炉心流動距離（凝固距離）を次の様に評価する。</p> $L = L_{tes} \times d_f/d_{tes} \times (h_{ab} \rho_{db}) / (h_{al} \rho_{al})$ <p>ここで、L：ドレン配管内の溶融炉心流動距離（凝固距離）、L_{tes}：EPRI/FAI試験の流動距離、d_f/d_{tes}：配管直径比、(h_{ab} ρ_{db}) / (h_{al} ρ_{al})：流動停止までの保有熱量比である。</p> <p>EPRI/FAI試験の流動距離0.79mを基に、上記式によってドレン配管内の溶融炉心の凝固距離を評価すると、凝固距離は約□mとなる。</p> <p>格納容器下部からドレンサンプまでのドレン配管長は、約10mであることから、溶融炉心はドレン配管内で凝固するため、ドレンサンプ内に到達することはないと考えられる。</p> <p>なお、コリウムシールド設置後の凝固距離を評価した場合、コリウムシールド設置後の配管直径（d_{f'}）を約□cmと仮定すると、EPRI/FAI試験との配管直径の比は約□倍となり、凝固距離は約□mとなる。</p> <p>枠囲みの内容は商機密の観点から公開できません。</p>	<p>(2) ドレン配管内の溶融炉心の凝固距離について</p> <p>ドレン配管内の溶融炉心の溶融凝固特性は、流入する溶融炉心の保有熱量と、配管外部への放熱量に依存するものと考えられる。そこで、ドレン配管体系について、溶融炉心の物性の違いを考慮して、溶融炉心の保有熱量及び配管外への放熱量（配管径に依存）の比率に基づき流動距離を推定する。</p> <p>表1に評価に使用する溶融炉心の物性値を示す。EPRI/FAI試験の模擬溶融炉心であるAl₂O₃の溶融潜熱（h_{fs}=1.16×10⁶J/kg）に密度（ρ=3,800kg/m³）を乗じると、流動停止までの保有熱量は4,408MJ/m³となる。一方、溶融炉心の流動停止までの保有熱量は顯熱と溶融潜熱の和として次式で表される。</p> $h_{ab} = \{ (T_{sh} + T_{liq} - T_{sol}) C_p + h_{fs} \}$ <p>ここで、h_{ab}：溶融炉心の流動停止までの顯熱と溶融潜熱の和（J/kg）、T_{sh}：溶融炉心過熱度（K）、T_{liq}：溶融炉心液相線温度（K）、T_{sol}：溶融炉心固相線温度（K）、C_p：溶融炉心比熱（J/kgK）、h_{fs}：溶融炉心溶融潜熱（J/kg）である。</p> <p>このとき、h_{ab}は約□J/kgとなり、密度を乗じ、流動停止までの保有熱量とすると約□MJ/m³となり、Al₂O₃の約□倍となる。</p> <p>また、ドレン配管の配管直径（d_f）は□m、EPRI/FAI試験のドレンラインの配管直径（d_{tes}）は5cmのため、配管直径の比は□倍である。配管直径の比、保有熱量比を用いて、ドレン配管内の溶融炉心流動距離（凝固距離）を次式のように評価する。</p> $L = L_{tes} \times d_f/d_{tes} \times (h_{ab} \rho_{db}) / (h_{al} \rho_{al})$ <p>ここで、L：ドレン配管内の溶融炉心流動距離（凝固距離）、L_{tes}：EPRI/FAI試験の流動距離、d_f/d_{tes}：配管直径比、(h_{ab} ρ_{db}) / (h_{al} ρ_{al})：流動停止までの保有熱量比である。</p> <p>EPRI/FAI試験の流動距離0.79mを基に、上記式によってドレン配管内の溶融炉心の凝固距離を評価すると、凝固距離は約□となる。</p> <p>原子炉下部キャビティから格納容器サンプまでのドレン配管長は、約8mであることから、溶融炉心はドレン配管内で凝固するため、格納容器サンプ内に到達することはないと考えられる。</p> <p>□：枠囲みの内容は機密情報に属しますので公開できません。</p>	<p>記載表現の相違</p> <p>設計の相違</p> <p>評価結果の相違 ・泊での評価結果と女川のコリウムシールド設置後の評価結果は同等</p> <p>設計の相違</p>

泊発電所 3号炉 有効性評価 比較表

7.2.5 溶融炉心・コンクリート相互作用（添付資料 7.2.5.4 溶融炉心・コンクリート相互作用に対する格納容器サンプの影響について）

女川原子力発電所 2号炉	泊発電所 3号炉	相違理由
<p>3. ドレンサンプに溶融炉心が流入した場合の評価</p> <p>2. に示すとおり、格納容器下部へ落した溶融炉心はドレン配管内で凝固することを確認した。しかし、ドレンサンプ底面から原子炉格納容器バウンダリまでの距離が小さいことから、サンプ底面コンクリートの侵食により原子炉格納容器のバウンダリ機能が損なわれるおそれがあることを考慮し、仮にドレンサンプに溶融炉心が流入した場合の評価を実施した。</p> <p>(1) 解析条件</p> <ul style="list-style-type: none"> ・溶融炉心の堆積厚さは、格納容器下部と水頭圧が釣り合うところまで溶融炉心がドレンサンプに流入した場合を想定して設定する。 ・溶融炉心からプール水への熱流束は、圧力依存ありとした Kutateladze の式から算出された値（約 1,500kW/m²）とする。 ・溶融炉心の崩壊熱を保守的に設定するため、溶融炉心の崩壊熱を事象発生から約 3.0 時間後[*]の値とした。 ・上記以外は、有効性評価（MCCI 評価）の条件と同じとする。 <p>*事故シーケンスを「大破断 LOCA+HPCS 失敗+低圧 ECCS 失敗+全交流動力電源喪失」とし、重大事故等対処設備による原子炉注水機能についても使用できないものと仮定する場合、溶融炉心が格納容器下部に全量落下するまでの時間が事象発生約 3.0 時間後となることから設定。</p> <p>(2) 解析体系</p> <ul style="list-style-type: none"> ・MAAP コードでは、サンプのような直方体の形状を模擬できないため、床面積を実際の大きさに合わせた円柱で模擬した。ドレンサンプ侵食量の解析体系を図 4 に示す。 ・溶融炉心の堆積厚さは、ドレンサンプ床から約 1.8m とした。 <p>(3) 解析結果</p> <p>ドレンサンプにおけるコンクリート侵食量の推移を図 5 に示す。コンクリート侵食量は、壁面約 0.16m、床面約 0.20m となった。ドレンサンプと格納容器バウンダリまでの距離は約 0.8m であり、格納容器バウンダリまで侵食は到達しない。また、ドレンサンプ壁面のコンクリート侵食に対しては、コンクリート侵食が厚さ約 <input type="text"/> m のコンクリート部を貫通して外側鋼板まで到達しない限り、原子炉圧力容器の支持機能を維持できる。評価の結果、ドレンサンプ壁面のコンクリート侵食量は約 16cm に抑えられ、原子炉圧力容器の支持機能を維持できる。</p> <p>4. 結論</p> <p>2. に示すとおり、格納容器下部へ落した溶融炉心はドレン配管内で凝固することを確認した。また、仮にドレンサンプに溶融炉心が流入した場合においても、ドレンサンプにおけるコンクリート侵食により格納容器バウンダリまで侵食は到達しないこと及び原子炉圧力容器の支持機能を維持できることを確認した。なお、女 2 号炉においては、ドレン配管にコリウム流入防止対策として、コリウムシールドを自主設備として設置することから、ドレンサンプへ溶融炉心が流入する可能性はさらに低減できるものと考える。コリウム流入防止対策の設備概要を参考に示す。</p> <p>[1] EPRI, Experiments to Address Lower Plenum Response Under Severe Accident Conditions, Volume 1, EPRI Technical Report TR-103389, 1994</p> <div style="border: 1px solid black; padding: 5px; margin-top: 10px;"> <p>枠囲みの内容は商業機密の観点から公開できません。</p> </div>	<p>3. 格納容器サンプに溶融炉心が流入した場合の影響</p> <p>2. に示すとおり、原子炉下部キャビティへ落した溶融炉心はドレン配管内で凝固することを確認した。また、格納容器サンプ底面から原子炉格納容器バウンダリまでの距離が大きく、原子炉格納容器破損時点では格納容器サンプに十分な水量が確保されていることから、原子炉格納容器バウンダリの機能が損なわれるおそれはないと考えられる。</p>	<p>評価結果の相違 ・相違理由は P1 に記載のとおり</p>
	<p>4. 結論</p> <p>2. に示すとおり、原子炉下部キャビティへ落した溶融炉心はドレン配管内で凝固することを確認した。また、仮に格納容器サンプに溶融炉心が流入した場合においても、格納容器サンプから原子炉格納容器バウンダリ及び格納容器サンプ壁面から原子炉下部キャビティ壁面まで十分な距離があることから、コンクリート侵食により原子炉格納容器バウンダリまで侵食は到達せず、原子炉格納容器の支持機能を維持できると考えられる。</p> <p>[1] EPRI, Experiments to Address Lower Plenum Response Under Severe Accident Conditions, Volume 1, EPRI Technical Report TR-103389, 1994</p>	<p>評価結果の相違 ・相違理由は P1 に記載のとおり</p>

赤字：設備、運用又は体制の相違（設計方針の相違）
 青字：記載箇所又は記載内容の相違（記載方針の相違）
 緑字：記載表現、設備名称の相違（実質的な相違なし）

泊発電所 3号炉 有効性評価 比較表

7.2.5 溶融炉心・コンクリート相互作用（添付資料 7.2.5.4 溶融炉心・コンクリート相互作用に対する格納容器サンプの影響について）

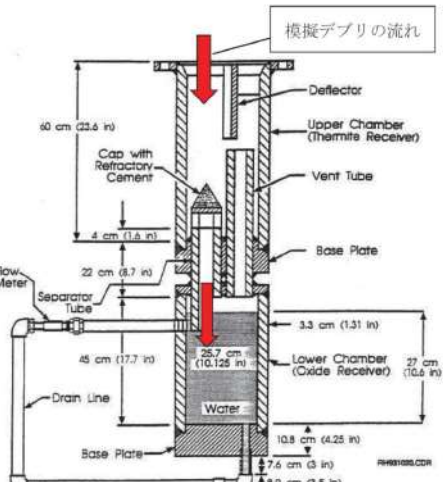
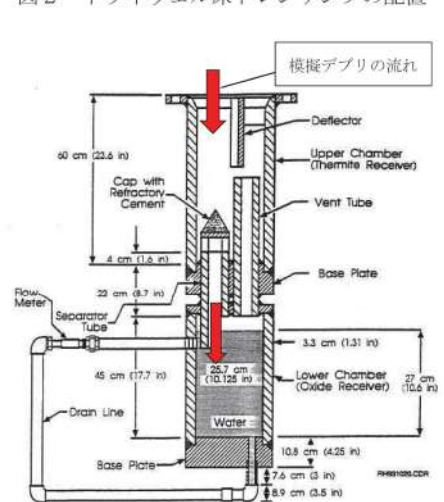
女川原子力発電所 2号炉	泊発電所 3号炉	相違理由
 図 1 格納容器の構造図 <p>枠囲みの内容は商業機密の観点から公開できません。</p>	 図 1 原子炉格納容器の構造図	

泊発電所3号炉 有効性評価 比較表

赤字：設備、運用又は体制の相違（設計方針の相違）
青字：記載箇所又は記載内容の相違（記載方針の相違）
緑字：記載表現、設備名称の相違（実質的な相違なし）

7.2.5 溶融炉心・コンクリート相互作用（添付資料7.2.5.4 溶融炉心・コンクリート相互作用に対する格納容器サンプの影響について）

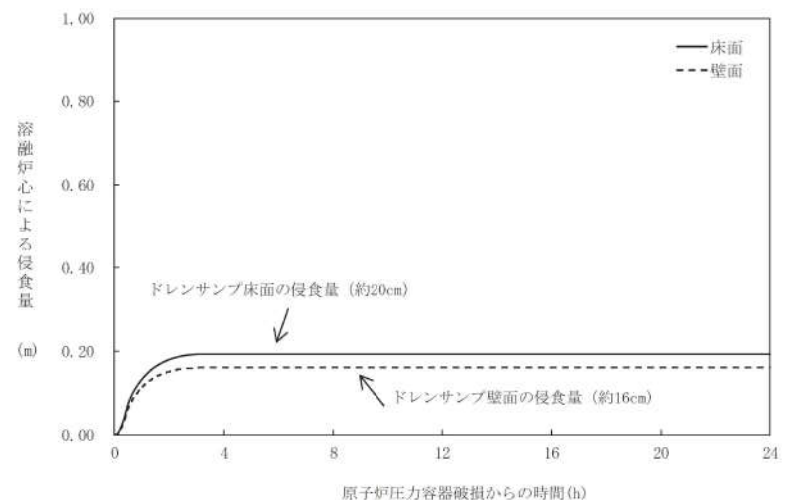
女川原子力発電所2号炉	泊発電所3号炉	相違理由
<p>図2 ドライウェル床ドレンサンプの配置</p>	<p>図2 格納容器サンプの配置及びドレン配管形状</p>	



泊発電所 3号炉 有効性評価 比較表

7.2.5 溶融炉心・コンクリート相互作用（添付資料 7.2.5.4 溶融炉心・コンクリート相互作用に対する格納容器サンプの影響について）

女川原子力発電所 2号炉	泊発電所 3号炉	相違理由
<p>図 4 ドレンサンプ侵食量の解析体系</p>		評価内容の相違



泊発電所3号炉 有効性評価 比較表

7.2.5 溶融炉心・コンクリート相互作用 (添付資料7.2.5.4 溶融炉心・コンクリート相互作用に対する格納容器サンプの影響について)

赤字：設備、運用又は体制の相違（設計方針の相違）
 青字：記載箇所又は記載内容の相違（記載方針の相違）
 緑字：記載表現、設備名称の相違（実質的な相違なし）

女川原子力発電所2号炉	泊発電所3号炉	相違理由																										
<p>表1 評価に使用する溶融炉心物性値*</p> <table border="1"> <tr><td>溶融炉心過熱度</td><td></td></tr> <tr><td>溶融炉心液相線温度</td><td></td></tr> <tr><td>溶融炉心固相線温度</td><td></td></tr> <tr><td>溶融炉心比熱</td><td></td></tr> <tr><td>溶融炉心密度</td><td></td></tr> <tr><td>溶融炉心溶融潜熱</td><td></td></tr> </table> <p>*溶融炉心物性値については、MAAP解析における、原子炉圧力容器破損直前の下部プレナム内の物性値を使用した。</p> <p>枠囲みの内容は商業機密の観点から公開できません。</p>	溶融炉心過熱度		溶融炉心液相線温度		溶融炉心固相線温度		溶融炉心比熱		溶融炉心密度		溶融炉心溶融潜熱		<p>表1 評価に使用する溶融炉心物性値*</p> <table border="1"> <tr><td>項目</td><td>物性値</td></tr> <tr><td>溶融炉心過熱度</td><td></td></tr> <tr><td>溶融炉心液相線温度</td><td></td></tr> <tr><td>溶融炉心固相線温度</td><td></td></tr> <tr><td>溶融炉心比熱</td><td></td></tr> <tr><td>溶融炉心密度</td><td></td></tr> <tr><td>溶融炉心溶融潜熱</td><td></td></tr> </table> <p>*溶融炉心物性値については、MAAP解析（格納容器過圧破損/FCI/MCCI）における原子炉容器破損直前の下部プレナム内溶融炉心の物性値を使用した。</p> <p>□：枠囲みの内容は機密情報に属しますので公開できません。</p>	項目	物性値	溶融炉心過熱度		溶融炉心液相線温度		溶融炉心固相線温度		溶融炉心比熱		溶融炉心密度		溶融炉心溶融潜熱		設計の相違
溶融炉心過熱度																												
溶融炉心液相線温度																												
溶融炉心固相線温度																												
溶融炉心比熱																												
溶融炉心密度																												
溶融炉心溶融潜熱																												
項目	物性値																											
溶融炉心過熱度																												
溶融炉心液相線温度																												
溶融炉心固相線温度																												
溶融炉心比熱																												
溶融炉心密度																												
溶融炉心溶融潜熱																												

泊発電所 3号炉 有効性評価 比較表

7.2.5 溶融炉心・コンクリート相互作用（添付資料 7.2.5.4 溶融炉心・コンクリート相互作用に対する格納容器サンプの影響について）

女川原子力発電所 2号炉	泊発電所 3号炉	相違理由
<p>別紙1</p> <p>ドレン配管内の凝固評価に関する EPRI/FAI 試験の適用性について</p> <p>1. EPRI/FAI 試験と実機のドレン配管の体系の比較 EPRI/FAI 試験の適用性を検討するにあたり、女川2号炉のドレン配管と体系を比較するため、溶融物条件を表1に、流路構造を表2に比較する。 表1の通り、EPRI/FAI 試験で用いたアルミナと、MAAP 解析結果に基づく溶融デブリの物性を比較すると、密度・熱伝導率が異なるものの、配管内での溶融物凝固・流動特性に影響する凝固までの蓄熱量、動粘度は近い値になっている。</p> <p>表2に流路構造を比較する。EPRI/FAI 試験の配管径 50mm に対し、女川2号炉のドレン配管の口径は 78mm (80A) であり、配管断面積比は女川2号炉のドレン配管の方が約 2.44 倍大きい。そのため、単位長さ当たりの凝固までの蓄熱量比は、限界固相率 1 のとき約 0.92 倍、限界固相率 0.64 のとき約 0.55 倍となる。一方で、配管径が大きくなると単位長さ当たりの円管への伝熱面積(表面積)も増加するため、単位長さ当たりの伝熱面積は女川2号炉の方が約 1.56 倍大きい。また、コリウムシールド設置後の配管で評価した場合、コリウムシールド設置後の配管の口径は約□mm であり、配管断面積比は約□倍となり、単位長さ当たりの凝固までの蓄熱量比は、限界固相率 1 のとき約□倍、限界固相率 0.64 のとき約□倍となる。単位長さ当たりの伝熱面積は約□倍となる。</p> <p>デブリの堆積高さは、EPRI/FAI 試験で約 0.18m (試験後の観察結果) であり、女川2号炉では約 1.2m (MAAP 結果) である。また EPRI/FAI 試験においてベースプレートから配管水平部までの長さは約 0.27m である。従って配管水平部までの堆積高さは EPRI/FAI 試験で約 0.45m、女川2号炉で約 1.2m である。このヘッドに基づき、ベルヌーイの式で配管入口流速を評価すると、EPRI/FAI 試験で約 3.0m/s、女川2号炉で約 4.9m/s となる。</p> <p>2. EPRI/FAI 試験の適用性 EPRI/FAI 試験を女川2号炉のドレン配管の体系に適用するにあたり、Flemings モデルの式を参考に、両者の体系の違いから流動距離を評価する。 Flemings モデルではデブリの流動距離はデブリの保有熱量、デブリからの除熱量、デブリの流速の関係から計算されている。このため、これらの要素について EPRI/FAI の試験条件と女川2号炉での評価条件の比をとり、EPRI/FAI の試験結果を女川2号炉のドレン配管に適用した場合の評価を行う。 この場合、女川2号炉のドレン配管でのデブリの流動距離 (L_{O2}) は次の式で表現できると考えられる。</p> $L_{O2} = L_{FAI} \times \frac{d_{O2}}{d_{FAI}} \times \frac{h_{O2}\rho_{O2}}{h_{FAI}\rho_{FAI}} \times \frac{v_{O2}}{v_{FAI}}$ <p>ここで、</p> <p>$\frac{d_{O2}}{d_{FAI}}$: 配管直径比</p> <p>$\frac{h_{O2}\rho_{O2}}{h_{FAI}\rho_{FAI}}$: 凝固までの蓄熱量比</p> <p>$\frac{v_{O2}}{v_{FAI}}$: デブリの速度比</p> <p>枠囲みの内容は商業機密の観点から公開できません。</p>	<p>別紙1</p> <p>ドレン配管内の凝固評価に関する EPRI/FAI 試験の適用性について</p> <p>1. EPRI/FAI 試験と実機のドレン配管の体系の比較 EPRI/FAI 試験の適用性を検討するにあたり、泊3号炉のドレン配管と体系を比較するため、溶融物条件を表1に、流路構造を表2に比較する。 表1の通り、EPRI/FAI 試験で用いたアルミナと、MAAP 解析結果に基づく溶融デブリの物性を比較すると、密度及び動粘度が異なるものの、熱伝導率、配管内での溶融物凝固及び流動特性に影響する凝固までの蓄熱量は近い値になっている。なお、密度は、凝固までの蓄熱量及び動粘性係数の計算に用いており、動粘性係数については、EPRI 試験値よりも泊3号炉の値の方が大きいのため、泊3号炉の方が大きい摩擦応力が伝わりやすいと考えられる。</p> <p>表2に流路構造を比較する。EPRI/FAI 試験の配管径 50mm に対し、泊3号炉のドレン配管の口径は 108mm であり、配管断面積比は泊3号炉のドレン配管の方が約 4.67 倍大きい。そのため、単位長さ当たりの凝固までの蓄熱量比は、限界固相率 1 のとき約 0.75 倍、限界固相率 0.70 のとき約 0.46 倍となる。一方で、配管径が大きくなると単位長さ当たりの円管への伝熱面積(表面積)も増加するため、単位長さ当たりの伝熱面積は泊3号炉の方が約 2.16 倍大きい。</p> <p>デブリの堆積高さは、EPRI/FAI 試験で約 0.18m(試験後の観察結果) であり、泊3号炉では約 0.25m(MAAP 結果)である。また EPRI/FAI 試験においてベースプレートから配管水平部までの長さは約 0.27m である。従って配管水平部までの堆積高さは EPRI/FAI 試験で約 0.45m、泊3号炉で約 1.1m である。このヘッドに基づき、ベルヌーイの式で配管入口流速を評価すると、EPRI/FAI 試験で約 3.0m/s、泊3号炉で約 4.6m/s となる。</p> <p>2. EPRI/FAI 試験の適用性 EPRI/FAI 試験を泊3号炉のドレン配管の体系に適用するにあたり、Flemings モデルの式を参考に、両者の体系の違いから流動距離を評価する。 Flemings モデルではデブリの流動距離はデブリの保有熱量、デブリからの除熱量、デブリの流速の関係から計算されている。このため、これらの要素について EPRI/FAI の試験条件と泊3号炉での評価条件の比をとり、EPRI/FAI の試験結果を泊3号炉のドレン配管に適用した場合の評価を行う。</p> <p>この場合、泊3号炉のドレン配管でのデブリの流動距離 (L_{t3}) は次の式で表現できると考えられる。</p> $L_{t3} = L_{FAI} \times \frac{d_{t3}}{d_{FAI}} \times \frac{h_{t3}\rho_{t3}}{h_{FAI}\rho_{FAI}} \times \frac{v_{t3}}{v_{FAI}}$ <p>ここで、</p> <p>$\frac{d_{t3}}{d_{FAI}}$: 配管直径比</p> <p>$\frac{h_{t3}\rho_{t3}}{h_{FAI}\rho_{FAI}}$: 凝固までの蓄熱量比</p> <p>$\frac{v_{t3}}{v_{FAI}}$: デブリの速度比</p>	<p>記載内容の相違 ・泊におけるデブリ物性値等による相違</p> <p>設計の相違 ・泊ではコリウムシールドは設置しない</p> <p>評価結果の相違</p>

泊発電所3号炉 有効性評価 比較表

7.2.5 溶融炉心・コンクリート相互作用（添付資料7.2.5.4 溶融炉心・コンクリート相互作用に対する格納容器サンプの影響について）

女川原子力発電所2号炉	泊発電所3号炉	相違理由
<p>であり、上式に基づいてデブリの流動距離 (L_{d2}) を求めると、</p> $L_{d2} = 0.79 \times 1.56 \times 0.92 \times 2 \\ = 2.3 \text{ (m)}$ <p>となる。また、コリウムシールド設置後の配管で評価した場合、凝固距離は約□mとなる。</p> <p>ファンネル流入から停止までの時間が短いことから、本評価では流入中の崩壊熱は無視できるものとした。なお、この流動距離は流動限界固相率を1として評価している。固相率の上昇に伴い、粘性係数はある点で急激に上昇する傾向があり、固相率 0.64 程度で粘性係数が初期値の 1×10^6 倍になる等、流動限界固相率を考慮することで流動距離は更に低下するものと考えられる。</p> <p>EPRI/FAI 試験と女川2号炉で考慮した溶融物の条件では、溶融物の組成が EPRI/FAI 試験では単相、女川2号炉では混合物であり、条件が異なっている。凝固様式の違いとして、単相では凝固点まで温度が低下し、溶融潜熱が奪われた段階で凝固し、混合組成の場合には固相の割合が徐々に増加し、流動限界固相率が1の場合は固相線温度まで温度が低下した時点で凝固する。なお、現実には流動限界固相率は1よりも小さな値と考えられるが、上記の評価では保守的に1としている。水中を流動する場合は、単相では溶融潜熱が奪われるまでは凝固しないが、混合組成は固相割合が増加し流動限界固相率で凝固するため、保有熱量（凝固までの蓄熱量比）が同程度の場合、単相の方が流動距離は長くなる。よって、EPRI/FAI 試験での単層試験の結果得られた流動距離を女川2号炉のスケールに適用する評価は、流動距離を長く見積もる保守的な扱いとなると考える。</p> <p>以上より、本評価はEPRI/FAI 試験からデブリの保有熱量、デブリからの除熱量、デブリの流速を基に流動距離を求める際の最大値と考える。</p> <p style="text-align: right;">以上</p> <div style="border: 1px solid black; padding: 2px; display: inline-block;">枠囲みの内容は商業機密の観点から公開できません。</div>	<p>であり、上式に基づいてデブリの流動距離 (L_{d3}) を求めると、</p> $L_{d3} = 0.79 \times 2.16 \times 0.75 \times 2 \\ = 2.6 \text{ (m)}$ <p>となる。</p> <p>ドレン配管流入から停止までの時間が短いことから、本評価では流入中の崩壊熱は無視できるものとした。なお、この流動距離は流動限界固相率を1として評価している。固相率の上昇に伴い、粘性係数はある点で急激に上昇する傾向があり、固相率 0.70 程度で拡がりが停止するという知見がある等^[2]、流動限界固相率を考慮することで流動距離は更に低下するものと考えられる。</p> <p>EPRI/FAI 試験と泊3号炉で考慮した溶融物の条件では、溶融物の組成が EPRI/FAI 試験では単相、泊3号炉では混合物であり、条件が異なっている。凝固様式の違いとして、単相では凝固点まで温度が低下し、溶融潜熱が奪われた段階で凝固し、混合組成の場合には固相の割合が徐々に増加し、流動限界固相率が1の場合は固相線温度まで温度が低下した時点で凝固する。なお、現実には流動限界固相率は1よりも小さな値と考えられるが、上記の評価では保守的に1としている。水中を流動する場合は、単相では溶融潜熱が奪われるまでは凝固しないが、混合組成は固相割合が増加し流動限界固相率で凝固するため、保有熱量（凝固までの蓄熱量比）が同程度の場合、単相の方が流動距離は長くなる。よって、EPRI/FAI 試験での単層試験の結果得られた流動距離を泊3号炉のスケールに適用する評価は、流動距離を長く見積もる保守的な扱いとなると考える。</p> <p>以上より、本評価はEPRI/FAI 試験からデブリの保有熱量、デブリからの除熱量、デブリの流速を基に流動距離を求める際の最大値と考える。</p> <p style="text-align: right;">以上</p> <div style="border: 1px solid black; padding: 2px; display: inline-block;">[2] Ex-vessel corium spreading: results from the VULCANO spreading tests, Nuclear Engineering and Design 223 (2003) 75-102</div>	<p>評価結果の相違</p> <p>設計の相違</p> <p>記載内容の相違 ・泊では流動距離に関する知見に関して参考文献を元に記載</p> <p>記載内容の相違 ・同上</p>

泊発電所3号炉 有効性評価 比較表

赤字：設備、運用又は体制の相違（設計方針の相違）
青字：記載箇所又は記載内容の相違（記載方針の相違）
緑字：記載表現、設備名称の相違（実質的な相違なし）

7.2.5 溶融炉心・コンクリート相互作用（添付資料7.2.5.4 溶融炉心・コンクリート相互作用に対する格納容器サンプの影響について）

女川原子力発電所2号炉			泊発電所3号炉			相違理由																																																																																												
表1 溶融物条件の比較																																																																																																		
<table border="1" style="width: 100%; border-collapse: collapse;"> <thead> <tr> <th>項目</th><th>EPRI/FAI 試験</th><th colspan="4">女川2号炉</th></tr> </thead> <tbody> <tr> <td>溶融物</td><td>アルミナ</td><td colspan="4">溶融デブリ</td></tr> <tr> <td>過熱度(K)</td><td>100</td><td colspan="4">-123</td></tr> <tr> <td rowspan="2">融点(℃)</td><td rowspan="2">2047</td><td>液相線</td><td>2198</td><td colspan="2"></td></tr> <tr> <td>固相線</td><td>1548</td><td colspan="2" rowspan="13"></td></tr> <tr> <td>密度(kg/m³)</td><td>3800</td><td colspan="4">8141</td></tr> <tr> <td>比熱(kJ/kgK)</td><td>1.3</td><td colspan="4">0.505</td></tr> <tr> <td>溶融潜熱(kJ/kg)</td><td>1160</td><td colspan="4">285</td></tr> <tr> <td>熱伝導率(W/mK)</td><td>7.5</td><td colspan="4">15</td></tr> <tr> <td>粘性係数(Pa·s)</td><td>0.003</td><td colspan="4">0.4</td></tr> <tr> <td>動粘性係数(m²/s)</td><td>7.89×10^{-7}</td><td colspan="4">4.91×10^{-5}</td></tr> <tr> <td>凝固までの蓄熱量(MJ/m³) (限界固相率=1.0)</td><td>4902</td><td colspan="4">4487</td></tr> <tr> <td>凝固までの蓄熱量(MJ/m³) (限界固相率=0.64)</td><td>-</td><td colspan="4">2690</td></tr> <tr> <td>凝固までの蓄熱量比1 (限界固相率=1.0)</td><td>1</td><td colspan="4">0.92</td></tr> <tr> <td>凝固までの蓄熱量比2 (限界固相率=0.64)</td><td>-</td><td colspan="4" rowspan="3">0.55</td></tr> </tbody> </table>						項目	EPRI/FAI 試験	女川2号炉				溶融物	アルミナ	溶融デブリ				過熱度(K)	100	-123				融点(℃)	2047	液相線	2198			固相線	1548			密度(kg/m³)	3800	8141				比熱(kJ/kgK)	1.3	0.505				溶融潜熱(kJ/kg)	1160	285				熱伝導率(W/mK)	7.5	15				粘性係数(Pa·s)	0.003	0.4				動粘性係数(m²/s)	7.89×10^{-7}	4.91×10^{-5}				凝固までの蓄熱量(MJ/m³) (限界固相率=1.0)	4902	4487				凝固までの蓄熱量(MJ/m³) (限界固相率=0.64)	-	2690				凝固までの蓄熱量比1 (限界固相率=1.0)	1	0.92				凝固までの蓄熱量比2 (限界固相率=0.64)	-	0.55								
項目	EPRI/FAI 試験	女川2号炉																																																																																																
溶融物	アルミナ	溶融デブリ																																																																																																
過熱度(K)	100	-123																																																																																																
融点(℃)	2047	液相線	2198																																																																																															
		固相線	1548																																																																																															
密度(kg/m³)	3800	8141																																																																																																
比熱(kJ/kgK)	1.3	0.505																																																																																																
溶融潜熱(kJ/kg)	1160	285																																																																																																
熱伝導率(W/mK)	7.5	15																																																																																																
粘性係数(Pa·s)	0.003	0.4																																																																																																
動粘性係数(m²/s)	7.89×10^{-7}	4.91×10^{-5}																																																																																																
凝固までの蓄熱量(MJ/m³) (限界固相率=1.0)	4902	4487																																																																																																
凝固までの蓄熱量(MJ/m³) (限界固相率=0.64)	-	2690																																																																																																
凝固までの蓄熱量比1 (限界固相率=1.0)	1	0.92																																																																																																
凝固までの蓄熱量比2 (限界固相率=0.64)	-	0.55																																																																																																
表2 流路構造の比較																																																																																																		
<table border="1" style="width: 100%; border-collapse: collapse;"> <thead> <tr> <th rowspan="2">項目</th><th rowspan="2">EPRI/FAI 試験</th><th colspan="2">女川2号炉</th><th colspan="2"></th></tr> <tr> <th>コリウムシールド 設置前</th><th>コリウムシールド 設置後</th><th>溶融デブリ</th><th>溶融デブリ</th></tr> </thead> <tbody> <tr> <td>溶融物</td><td>アルミナ</td><td colspan="4">溶融デブリ</td></tr> <tr> <td>流路構造比較</td><td></td><td colspan="4">円管</td></tr> <tr> <td>流路内径(m)</td><td>0.05(50A)</td><td>0.078(80A)</td><td colspan="2" style="background-color: black;"></td><td colspan="2" style="background-color: black;"></td></tr> <tr> <td>断面積比</td><td>1</td><td>2.44</td><td colspan="2" style="background-color: black;"></td><td colspan="2" style="background-color: black;"></td></tr> <tr> <td>単位長さ当たりの凝固までの蓄熱量比1 (限界固相率=1)</td><td>1</td><td>2.23</td><td colspan="2" style="background-color: black;"></td><td colspan="2" style="background-color: black;"></td></tr> <tr> <td>単位長さ当たりの凝固までの蓄熱量比2 (限界固相率=0.64)</td><td>1</td><td>1.34</td><td colspan="2" style="background-color: black;"></td><td colspan="2" style="background-color: black;"></td></tr> <tr> <td>単位長さ当たりの伝熱面積比</td><td>1</td><td>1.56</td><td colspan="2" rowspan="5" style="background-color: black;"></td><td colspan="2" style="background-color: black;"></td></tr> <tr> <td>床面から配管水平部までの深さ(m)</td><td>0.273</td><td colspan="4">0</td><td></td></tr> <tr> <td>デブリ堆積高さ(m)</td><td>0.18</td><td colspan="4">1.2</td><td></td></tr> <tr> <td>ヘッドから計算される流速(m/s)</td><td>2.99</td><td colspan="4">4.9</td><td></td></tr> <tr> <td>流速の実測値(m/s)</td><td>0.03(平均) ~0.19(最大)</td><td colspan="4">-</td><td></td></tr> <tr> <td>デブリの流動距離(m)</td><td>~0.79</td><td>2.3</td><td colspan="2" rowspan="3" style="background-color: black;"></td><td colspan="2" style="background-color: black;"></td></tr> </tbody> </table>							項目	EPRI/FAI 試験	女川2号炉				コリウムシールド 設置前	コリウムシールド 設置後	溶融デブリ	溶融デブリ	溶融物	アルミナ	溶融デブリ				流路構造比較		円管				流路内径(m)	0.05(50A)	0.078(80A)					断面積比	1	2.44					単位長さ当たりの凝固までの蓄熱量比1 (限界固相率=1)	1	2.23					単位長さ当たりの凝固までの蓄熱量比2 (限界固相率=0.64)	1	1.34					単位長さ当たりの伝熱面積比	1	1.56					床面から配管水平部までの深さ(m)	0.273	0					デブリ堆積高さ(m)	0.18	1.2					ヘッドから計算される流速(m/s)	2.99	4.9					流速の実測値(m/s)	0.03(平均) ~0.19(最大)	-					デブリの流動距離(m)	~0.79	2.3				
項目	EPRI/FAI 試験	女川2号炉																																																																																																
		コリウムシールド 設置前	コリウムシールド 設置後	溶融デブリ	溶融デブリ																																																																																													
溶融物	アルミナ	溶融デブリ																																																																																																
流路構造比較		円管																																																																																																
流路内径(m)	0.05(50A)	0.078(80A)																																																																																																
断面積比	1	2.44																																																																																																
単位長さ当たりの凝固までの蓄熱量比1 (限界固相率=1)	1	2.23																																																																																																
単位長さ当たりの凝固までの蓄熱量比2 (限界固相率=0.64)	1	1.34																																																																																																
単位長さ当たりの伝熱面積比	1	1.56																																																																																																
床面から配管水平部までの深さ(m)	0.273	0																																																																																																
デブリ堆積高さ(m)	0.18	1.2																																																																																																
ヘッドから計算される流速(m/s)	2.99	4.9																																																																																																
流速の実測値(m/s)	0.03(平均) ~0.19(最大)	-																																																																																																
デブリの流動距離(m)	~0.79	2.3																																																																																																
枠囲みの内容は商業機密の観点から公開できません。																																																																																																		
<table border="1" style="width: 100%; border-collapse: collapse;"> <thead> <tr> <th>項目</th><th>EPRI/FAI試験</th><th colspan="2">泊3号炉</th></tr> </thead> <tbody> <tr> <td>溶融物</td><td>アルミナ</td><td colspan="2">溶融デブリ</td></tr> <tr> <td>流路構造比較</td><td></td><td colspan="2">円管</td></tr> <tr> <td>流路内径(m)</td><td>0.05(50A)</td><td colspan="2">0.108</td></tr> <tr> <td>断面積比</td><td>1</td><td colspan="2">4.67</td></tr> <tr> <td>単位長さ当たりの凝固までの蓄熱量比1 (限界固相率=1)</td><td>1</td><td colspan="2">3.49</td></tr> <tr> <td>単位長さ当たりの凝固までの蓄熱量比2 (限界固相率=0.70)</td><td>1</td><td colspan="2">2.15</td></tr> <tr> <td>単位長さ当たりの伝熱面積比</td><td>1</td><td colspan="2">2.16</td></tr> <tr> <td>床面から配管水平部までの深さ(m)</td><td>0.273</td><td colspan="2">0.8</td></tr> <tr> <td>デブリ堆積高さ(m)</td><td>0.18</td><td colspan="2">0.25</td></tr> <tr> <td>ヘッドから計算される流速(m/s)</td><td>2.99</td><td colspan="2">4.6</td></tr> <tr> <td>流速の実測値(m/s)</td><td>0.03(平均) ~0.19(最大)</td><td colspan="2">-</td></tr> <tr> <td>デブリの流動距離(m)</td><td>~0.79</td><td colspan="2" rowspan="2">2.6</td></tr> </tbody> </table>							項目	EPRI/FAI試験	泊3号炉		溶融物	アルミナ	溶融デブリ		流路構造比較		円管		流路内径(m)	0.05(50A)	0.108		断面積比	1	4.67		単位長さ当たりの凝固までの蓄熱量比1 (限界固相率=1)	1	3.49		単位長さ当たりの凝固までの蓄熱量比2 (限界固相率=0.70)	1	2.15		単位長さ当たりの伝熱面積比	1	2.16		床面から配管水平部までの深さ(m)	0.273	0.8		デブリ堆積高さ(m)	0.18	0.25		ヘッドから計算される流速(m/s)	2.99	4.6		流速の実測値(m/s)	0.03(平均) ~0.19(最大)	-		デブリの流動距離(m)	~0.79	2.6																																									
項目	EPRI/FAI試験	泊3号炉																																																																																																
溶融物	アルミナ	溶融デブリ																																																																																																
流路構造比較		円管																																																																																																
流路内径(m)	0.05(50A)	0.108																																																																																																
断面積比	1	4.67																																																																																																
単位長さ当たりの凝固までの蓄熱量比1 (限界固相率=1)	1	3.49																																																																																																
単位長さ当たりの凝固までの蓄熱量比2 (限界固相率=0.70)	1	2.15																																																																																																
単位長さ当たりの伝熱面積比	1	2.16																																																																																																
床面から配管水平部までの深さ(m)	0.273	0.8																																																																																																
デブリ堆積高さ(m)	0.18	0.25																																																																																																
ヘッドから計算される流速(m/s)	2.99	4.6																																																																																																
流速の実測値(m/s)	0.03(平均) ~0.19(最大)	-																																																																																																
デブリの流動距離(m)	~0.79	2.6																																																																																																
枠囲みの内容は機密情報に属しますので公開できません。																																																																																																		

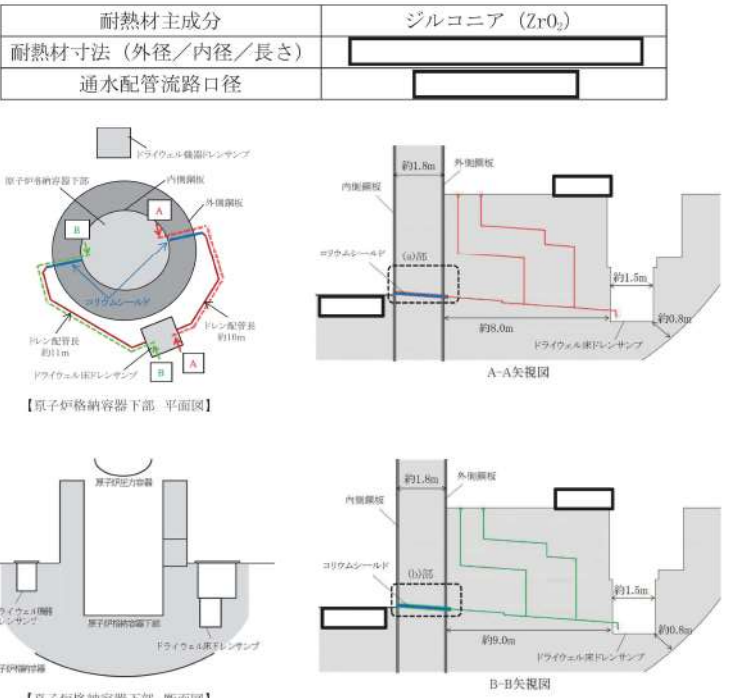
泊発電所 3号炉 有効性評価 比較表

7.2.5 溶融炉心・コンクリート相互作用（添付資料 7.2.5.4 溶融炉心・コンクリート相互作用に対する格納容器サンプの影響について）

女川原子力発電所 2号炉 (参考) コリウム流入防止対策の設備概要	泊発電所 3号炉 【該当する資料無し】	相違理由
<p>1. 設備概要</p> <p>炉心損傷後に原子炉圧力容器底部が破損し、原子炉格納容器下部への溶融炉心の落下に至り、落下してきた溶融炉心がドライウェル床ドレンサンプ内に流入する場合、ドライウェル床ドレンサンプ底面から原子炉格納容器バウンダリまでの距離が短いことから、サンプ底面コンクリートの侵食により原子炉格納容器のバウンダリ機能が損なわれるおそれがある。溶融炉心は原子炉格納容器下部注水系による注水によって、原子炉格納容器下部からドライウェル床ドレンサンプに通じるドレン配管内で止まる事を確認しているが、更なる安全性向上のため、自主対策設備としてコリウムシールドを設置する。</p> <p>コリウムシールドは、原子炉格納容器下部注水系と合わせて、ドライウェル床ドレンサンプへの溶融炉心の流入を防ぐことで、底面のコンクリートの侵食を抑制し、溶融炉心が原子炉格納容器バウンダリに接触することを防止することを目的に設置する。コリウムシールドは、原子炉格納容器下部からドライウェル床ドレンサンプに通じるドレン配管内に設置し、実効的な流路径を小さくすることで冷却を促進し、溶融炉心を早期に固化・停止させるものである。</p> <p>表 1 にコリウムシールド仕様を、図 1 にコリウムシールド概要図を示す。なお、コリウムシールドの耐熱材には、高い融点(約 2,700°C) を有するジルコニアを用いる設計とする。</p>		

泊発電所 3号炉 有効性評価 比較表

7.2.5 溶融炉心・コンクリート相互作用（添付資料 7.2.5.4 溶融炉心・コンクリート相互作用に対する格納容器サンプの影響について）

女川原子力発電所 2号炉	泊発電所 3号炉	相違理由						
<p>表1 コリウムシールド仕様</p> <table border="1"> <tr> <td>耐熱材主成分</td><td>ジルコニア (ZrO_2)</td></tr> <tr> <td>耐熱材寸法（外径／内径／長さ）</td><td></td></tr> <tr> <td>通水配管流路口徑</td><td></td></tr> </table>  <p>【原子炉格納容器下部 平面図】</p> <p>【原子炉格納容器下部 断面図】</p> <p>図1 コリウムシールド概要図</p> <div style="border: 1px solid black; padding: 5px; width: fit-content;"> 枠囲みの内容は商業機密の観点から公開できません。 </div>	耐熱材主成分	ジルコニア (ZrO_2)	耐熱材寸法（外径／内径／長さ）		通水配管流路口徑			
耐熱材主成分	ジルコニア (ZrO_2)							
耐熱材寸法（外径／内径／長さ）								
通水配管流路口徑								

泊発電所 3号炉 有効性評価 比較表

7.2.5 溶融炉心・コンクリート相互作用 (添付資料 7.2.5.4 溶融炉心・コンクリート相互作用に対する格納容器サンプの影響について)

泊川原子力発電所 2号炉	泊発電所 3号炉	相違理由
<p>2. コリウムシールドの周辺設備への悪影響の有無</p> <p>コリウムシールドの設置により設計基準事故対処設備及び重大事故等対処設備に対し悪影響を及ぼす可能性があることから、コリウムシールドの設置による悪影響の有無について確認を行った。</p> <p>(1) 原子炉格納容器への悪影響の有無について</p> <p>原子炉格納容器への影響評価として、閉じ込め機能、原子炉格納容器下部注水機能の2つの観点から影響の有無について確認を行った。</p> <p>確認の結果、閉じ込め機能については、原子炉格納容器の構造強度を要する箇所に設置するものではなく、コンクリート侵食及び非凝縮性ガスの発生を抑制することから、原子炉格納容器の機能である閉じ込め機能への悪影響はないと判断した。</p> <p>原子炉格納容器下部注水機能については、原子炉格納容器下部注水設備とは独立しており、原子炉格納容器下部の空間に設置するものではないことから、原子炉格納容器下部注水機能への悪影響はないことを確認した。</p> <p>(2) 原子炉冷却材漏えい検出機能への悪影響の有無について</p> <p>原子炉冷却材漏えい検出機能として、ドライウェル床ドレンサンプへの不明確な箇所からの漏えい率が $0.23\text{m}^3/\text{h}$ 以上となった場合に原子炉冷却材の漏えいを検出できる設計とする必要がある。</p> <p>コリウムシールドは、原子炉格納容器下部に2箇所あるドライウェル床ドレンサンプに通じるドレン配管内に設置し、コリウムシールド内を通過する漏えい水の流量が1箇所当たりで $0.23\text{m}^3/\text{h}$ 以上となるよう、コリウムシールドの開口面積を設定しており、コリウムシールドを設置した場合でもドライウェル床ドレンサンプまでの流路体積を増加させるものではなく、ドレン配管の勾配は維持されることから、不明確な箇所からの漏えい率の検出に対する機能に悪影響はない。</p> <p>また、ドライウェル床ドレンサンプ及びドライウェル機器ドレンサンプの総漏えい率が $5.93\text{m}^3/\text{h}$ (1日平均) 以上となった場合に原子炉冷却材の漏えいを検出できる設計とする必要があるが、ドライウェル機器ドレンサンプについては設備変更を実施しないことから、総漏えい率の検出に対する悪影響はない。</p> <p>以上より、コリウムシールドは、原子炉格納容器下部に漏えいした原子炉冷却材をドライウェル床ドレンサンプへ導くために必要な開口面積を確保する設計となっていることから、原子炉冷却材漏えい検出機能に悪影響を与えるものではないことを確認した。</p>		

泊発電所 3 号炉 有効性評価 比較表

7.2.5 溶融炉心・コンクリート相互作用 (添付資料 3.5.2 原子炉下部キャビティ室への溶融炉心落下後における格納容器の閉じ込め機能について)

赤字	設備、運用又は体制の相違（設計方針の相違）
青字	記載箇所又は記載内容の相違（記載方針の相違）
緑字	記載表現、設備名称の相違（実質的な相違なし）

大飯発電所 3 / 4 号炉	泊発電所 3 号炉	相違理由
<p>添付資料 3.5.2</p> <p>大飯 3, 4 号炉 原子炉下部キャビティ室への溶融炉心落下後における 格納容器の閉じ込め機能について</p> <p>目次</p> <ul style="list-style-type: none"> 1. はじめに 2. 溶融炉心落下による格納容器閉じ込め機能への影響 <ul style="list-style-type: none"> 2.1 プレストレスコンクリート製格納容器の構造 2.2 溶融炉心落下により想定される格納容器ライナの破損 2.3 格納容器ライナ破損時の閉じ込め機能への影響 3. リークパスを仮定した場合の閉じ込め機能への影響 <ul style="list-style-type: none"> 3.1 貫通リークパスを想定した場合の漏えい量試算 3.2 有効性評価における Cs-137 放出量評価への影響検討 4. さらなる安全性向上対策としての防護壁設置 <ul style="list-style-type: none"> 4.1 溶融炉心の拡がり挙動 4.2 防護壁仕様に対する検討 4.3 防護壁の構造及び機能・性能 4.4 防護壁設置工事の環境 5. まとめ 6. 参考文献 <p>(以降、省略)</p>	<p>【該当資料無し】</p>	<p>※大飯の CV 型式は PCCV であり、鋼製 CV である泊、高浜とは MCCI による影響、対策が異なるため大飯は添付資料にて CV 閉じ込め機能及び防護壁に関して記載している。泊は不確かさを考慮しても CV 閉じ込め機能が維持されるため、本資料は作成していない（伊方と同様）</p>